

FERNANDO FISCHER

**EFICIÊNCIA DOS MODELOS POLINOMIAIS E DAS RAZÕES DE VOLUME NA
ESTIMATIVA VOLUMÉTRICA DOS SORTIMENTOS E DO PERFIL DO FUSTE DE**
Pinus taeda

Dissertação apresentada à Universidade Federal de Lavras - UFLA, como parte das exigências do curso de Mestrado em Engenharia Florestal, área de concentração em Produção Florestal, para obtenção do título de “Mestre”.

Orientador
Prof. JOSÉ ROBERTO S. SCOLFORO

**LAVRAS
MINAS GERAIS - BRASIL
1997**

FERNANDO FISCHER

**EFICIÊNCIA DOS MODELOS POLINOMIAIS E DAS RAZÕES DE VOLUME NA
ESTIMATIVA VOLUMÉTRICA DOS SORTIMENTOS E DO PERFIL DO FUSTE DE**

Pinus taeda

Dissertação apresentada à Universidade Federal de Lavras - UFLA, como parte das exigências do curso de Mestrado em Engenharia Florestal, área de concentração em Produção Florestal, para obtenção do título de “Mestre”.

APROVADA em 05 de setembro de 1997

Prof. Sebastião do Amaral Machado

Prof. Antônio Donizette de Oliveira

**Prof José Roberto Soares Scolforo
(Orientador)**

A Deus, presente em todos os momentos da minha vida.

Ao meus pais, Edgard Fischer e Maria Helena Fischer,
pelos exemplos, esforços, dedicação e sacrifício para
formação de seus filhos.

DEDICO

Ao meu irmão:

Edward Fischer e Esposa
a minha namorada
Váleria H. Nakamura

OFEREÇO

AGRADECIMENTOS

À Universidade Federal de Lavras, em particular ao Departamento de Ciências Florestais, pela oportunidade de realização do curso de Mestrado.

A CAPES, pela concessão da bolsa de estudos.

Ao Professor José Roberto Scolforo, pelos ensinamentos, dedicação e, principalmente, pelo exemplo de profissionalismo, que possibilitaram a realização deste trabalho.

Aos Professores Daniel Furtado, José Marcio de Mello e Sebastião do Amaral Machado, pela co-orientação, suporte e conselhos, para o desenvolvimento deste trabalho.

A Empresa Papel Impresa S/A (PISA), pelos concessão dos dados.

Aos colegas do curso de Pós-Graduação, em especial, ao Eugênio, Akira, Alexandre, Fred, Sebastião, Beto, Fausto, Múcio, Aguinaldo, Jorge, Fábio, Marcos, Arimura, pela amizade e convívio durante o decorrer deste curso.

Aos graduandos Rykio Kawai, Daniel Soares, Henrique Candido, pela amizade e convívio, e ao Rubens e Thais Cunha, bolsistas de iniciação científica do CNPq, pela prestimosa ajuda na execução deste trabalho.

Aos funcionários da Secretaria de Pós Graduação e Biblioteca, em especial a Liliam, Terezinha, Paulo e Vânia.

A Maria Aparecida Rossi pela ajuda e, principalmente, pela amizade.

A todos que de uma forma ou outra, contribuíram para realização deste trabalho.

BIOGRAFIA

FERNANDO FISCHER, filho de Edgard Fischer e Maria Helena Fischer, nasceu em 22 de outubro de 1970, no município de São Paulo, estado de São Paulo.

Em 1989, iniciou o curso de Engenharia Florestal na Escola Superior de Agricultura de Lavras, Minas Gerais, graduando-se em 1994.

Em março de 1995, iniciou o curso de Mestrado em Engenharia Florestal, na Universidade Federal de Lavras, defendendo a dissertação em setembro de 1997.

**Ficha Catalográfica preparada pela Seção de Classificação e Catalogação da Biblioteca
Central da UFLA**

Fischer, Fernando

Eficiência dos modelos polinomiais e das razões de volume na estimativa volumétrica dos sortimentos e do perfil do fuste de *Pinus taeda* / Fernando Fischer. -
- Lavras : UFLA, 1997

167 p. : il.

Orientador: José Roberto Soares Scolforo.

Dissertação (Mestrado) - UFLA.

Bibliografia.

1. *Pinus taeda*
 2. Modelos não segmentados.
 3. Multiplos produtos
 4. Sortimentos.
 5. Dendrometria.
 6. Razão de volume.
 7. Fuste - Perfil.
- I. Universidade Federal de Lavras. II. Título.

CDD- 634.9751285

1 INTRODUÇÃO

O estudo de sortimentos de povoamentos de florestas de produção é uma das ferramentas importantes no planejamento da utilização dos recursos florestais e na avaliação do manejo empregado, permitindo quantificar a matéria-prima, classificando-a de acordo com as dimensões e qualidade, para os múltiplos usos da madeira.

As florestas de *Pinus* sp têm sido manejadas para a produção de celulose, madeira serrada, madeira laminada e madeira livre de nós, implicando numa maior remuneração da floresta, devido ao melhor aproveitamento de cada árvore.

A obtenção dos múltiplos produtos pode ser viabilizada através das equações de afilamento que, por integração, resultam na estimativa do seu volume total, sendo este o caso dos polinômios segmentados e os não segmentados. Outra opção é fazer uso das razões de volume compatíveis com as funções de forma. O uso direto das funções de afilamento permite ainda descrever o perfil do tronco ao longo da árvore.

Um problema ainda não equacionado em estudos sobre a forma da árvore diz respeito aos estratos em que se deve amostrar para proceder ao posterior ajuste das funções de afilamento ou razões de volume. Ainda não há estudos que indiquem se os ajustes têm que ser realizados por sítio ou região, e qual o efeito deste ajuste na precisão das estimativas dos diferentes sortimentos.

Assim, este trabalho teve como objetivos, testar diferentes opções para expressar o perfil do tronco e quantificar os diferentes produtos para *Pinus taeda* na região nordeste do estado do Paraná e verificar o efeito da classe diamétrica, do sítio e das diferentes regiões, no desempenho das equações de afilamento.

2 REVISÃO DE LITERATURA

Larson (1963) e Finger et al. (1995), dentre outros, afirmam que as variações na forma de um fuste são decorrentes do tamanho da copa, hereditariedade, espaçamento, tratos culturais, posição sociológica, idade, sítio, e poda. De maneira geral, as árvores não apresentam uma forma homogênea, mas assumem diversas formas geométricas.

Ao estudar a importância dos fatores ambientais na forma do fuste das árvores em *Pinus banksiana*, Moris e Forslund (1992) identificaram três categorias (competição, microsítio e clima), determinantes na obtenção da forma do fuste. Observaram ainda que a idade teve importância relevante na forma do fuste. Na mesma linha, Muhairwe (1994) estudou a influência do sítio, densidade e idade, na forma das árvores de *Pinus contorta* var. *latifolia* e, para isso, utilizou os expoentes de forma apresentados em Husch, Miller e Beers (1982). Em sua conclusão afirma que as variáveis estudadas têm influência significativa na forma do fuste.

Os estudos sobre a forma do tronco, com espécies e procedências de *Pinus* e *Eucalyptus* realizados por Guimarães (1982), mostram que a forma do fuste de uma espécie é afetada pelo espaçamento utilizado enquanto que o local causa pouca ou nenhuma influência.

Do ponto de vista geométrico, a forma da árvore não se identifica com um sólido geométrico específico, mas com vários, considerados uma seqüência como sendo: cilindro, tronco de neilóide, tronco de parabolóide e cone, no sentido base-topo, sendo que os limites entre estes diferentes sólidos geométricos ao longo da árvore são de difícil determinação (Loetsch, Zoher, Haller, 1973).

Entre as alternativas existentes para representar a forma da árvore, a mais difundida é a equação de afilamento. Segundo Ahrens e Holbert (1981), uma função de

afilamento ou “taper” é uma descrição matemática do perfil longitudinal de um tronco. Assumindo-se que a seção transversal seja circular em qualquer ponto ao longo do tronco, o seu volume pode ser obtido por integração daquela função e assim, em termos geométricos, o tronco é tratado como um sólido de revolução. Uma vez definido um modelo matemático para forma, pode-se determinar o volume de madeira entre quaisquer pontos ao longo do tronco. Desta maneira, a natureza do algoritmo viabiliza a obtenção das estimativas de volumes necessárias à multiplicidade de usos da madeira.

Os primeiros trabalhos com equações de afilamento foram os de Höjer (1903); Jonson (1911); Behre (1923); L. Tirén (1922); W. Hohenald (1924); H. Petterson (1926); C.E. Behre (1927); I. Heijbel (1928); H.E. Wolff V. Wulting (1930, 1933); V.Edgren e P.Nylinder (1949); Prodan (1965); Kozak, Munro e Smith (1969), citados em Loestch, Zoher e Haller (1973).

Na década de 70 e 80 foram desenvolvidos os modelos de afilamento baseados em razões de volume como os de Demaerschalk (1972); Cao, Burkhart e Max (1980), Clutter (1980), Amateis e Burkhart (1987), dentre outros.

Demaerchalk (1973) definiu que um sistema forma-volume é compatível quando o volume total obtido pela integração da função é idêntico àquele obtido pela equação de volume ou então quando volumes parciais de n seções obtidas pela equação de forma, somados, resultam no volume estimado pela equação de volume. Ainda segundo o mesmo autor, a vantagem principal de um sistema compatível é que o volume quantificado, quando somado, resulta em um valor idêntico ao volume normalmente analisado na amostragem.

Uma terceira modalidade de modelos são os polinomiais segmentados como descrito por Max e Burkhart (1976) e Liu (1980), dentre outros.

2.1 Modelos polinomiais (não segmentados)

Segundo Silva (1982), a maioria dos esforços desenvolvidos para definir a forma do tronco das árvores procura demonstrar como obter diâmetros a partir das alturas relativas. O autor estudou a eficiência das funções de forma para povoamentos de *Pinus taeda*, *Picea excelsa*, *Abies alba* e *Pinus silvestris*, tendo como variáveis o diâmetro à altura do peito (D), a altura total (H) e o diâmetro (d_i), tomados ao longo do tronco nas alturas relativas (h_i), proporcionaram resultados precisos com a equação $(d_i/D)^2 = a_0 + a_1 (h_i/H) + a_2 (h_i/H)^2$, exceto para a espécie *Pinus taeda* que foi melhor ajustada pelo modelo $\ln(h_i-1,3)/(H-1,3) = b_1 \ln(D-d_i)/D + b_2 [\ln(D-d_i)/D]^2$.

Gordon (1983), estudando a representação da forma de *Larix decidua* e *Pinus radiata*, propôs a utilização do seguinte modelo para estimar diâmetros a qualquer altura:

$$d_i^2 = V/KH (b_1 Z + b_2 Z^2 + b_3 Z^3 + b_4 Z^4 + b_5 Z^5 + b_6 Z^P)$$

onde:

d_i = diâmetro sem casca a qualquer altura;

V = volume total estimado sem casca;

$K = \pi / 40,000$

$Z = (Ht-h)/Ht$

H = altura total;

h_i = altura comercial;

Na verdade, este é o polinômio de 5º grau utilizado por Goulding e Murray (1975), apenas acrescido de um termo de potência mais alta, onde o expoente P assume valores inteiros de 8 a 40. Este modelo foi testado com 2, 3, 4, 5 e 6 termos. Depois de analisados quanto ao ajuste e precisão, foram selecionados os modelos que envolviam os seguintes expoentes:

- 1, 2, 3, 4 e 20 para *Larix decidua*;
- 1, 2, 5 e 16 para *Pinus radiata*.

Quando comparados ao polinômio do 5º grau original, pode-se concluir que os últimos modelos elaborados forneciam melhores estimativas, tanto do diâmetro a uma altura qualquer como dos volumes comerciais e de toras, apesar de apresentarem ainda uma ligeira tendenciosidade na estimativa dos diâmetros que variava com altura relativa.

Schneider (1986), estudando a representação matemática da forma de *Pinus elliotti*, testou seis modelos matemáticos, dentre os quais o polinômio do 5º grau apresentou melhores medidas de precisão e estimativas mais precisas, tanto para os sortimentos como para o perfil do fuste. Com isso, este modelo foi ajustado por estrato e classe de diâmetro, em intervalo de 10 cm. Observou-se um aumento na precisão desta equação.

Hradetzky (1976) afirma que a equação de uso mais corrente para descrever a forma do fuste é a função polinomial. O polinômio de quinto grau aproxima-se relativamente bem da forma do fuste, excetuando-se a forma das porções inferiores de certas espécies, conforme constatado por Schoepfer e Prodan (1971) citados em Rosot (1989). Essa deficiência foi atribuída ao fato de haver mais irregularidades e sinuosidades nesta parte do tronco do que nas porções superiores. Para eliminá-las, foi sugerida a utilização de potências fracionárias em conjunto com potências inteiras, gerando equações cujos estimadores de ajuste e precisão foram bastante superiores aos obtidos por modelos que empregam apenas expoentes inteiros.

No Brasil, Rosot (1989) estudou a metodologia de Hradetzky, obtendo resultados satisfatórios e confirmando que os polinômios de potências fracionárias explicavam melhor a base da árvore que os polinômios de potências inteiras.

Thomas, Parresol e Lê (1995) usaram equações trigonométricas originárias de equações de afilamento, para descrever o perfil de *Pinus palustris*, tendo, a obtenção do volume, ocorrido por integração destas equações trigonométricas. Verificaram, ainda, que os resultados não foram satisfatórios, sendo necessário realizar algumas modificações no manejamento dos dados.

Gál e Bella (1994) estudaram, para oito espécies, o desempenho das funções de afilamento propostas por Demaerschalk e Kozak (1977), Kozak (1988) e Hilt (1980), para estimativa dos sortimentos. Como resultados, observaram que a equação de afilamento mais eficiente foi a de Kozak (1988) citado em Gál e Bella (1994), através da análise do erro padrão médio e do desvio dos volumes estimados.

Trincado, Gadow e Tewari (1996) estudaram o desempenho das funções de afilamento propostas por Kozak, Munro e Smith (1969), Demaerschalk (1973) e a função modificada de Brink (1995), para estimar o perfil do tronco de **Quercus robur**, constatando que os diâmetros foram ligeiramente superestimados até menos de 40% da altura e ligeiramente subestimados acima de 40% da altura. Similares observações foram encontradas em Kozak, Munro e Smith (1969), Max e Burkhart (1976) e Biging (1984), os quais observaram, ainda, que o modelo modificado de Brink (1995), citado por Trincado, Gadow e Tewari (1996), obteve um desempenho superior aos demais, suficientemente flexível para descrever o perfil das árvores.

Guimarães e Leite (1992) apresentaram um modelo não linear com o propósito de estimar as variações de diâmetro ao longo do perfil do tronco cuja integral fornece o volume para *Eucalyptus* sp. O modelo fornece estimativas precisas, tanto para os diâmetros como para os volumes. Segundo os autores, os modelos não lineares constituem uma técnica eficiente para descrever o perfil das árvores, empregando um número reduzido de coeficientes.

Mctague, Batista e Steiner (1989) trabalharam com três espécies de *Eucalyptus*: *E. grandis*, *E. saligna*, *E. urophylla*, obtendo, como resultado, a constatação de que os modelos modificados de Omerod são muito superiores para estimar a forma do tronco e altura comercial do que a razão de volume de Amateis e Burkhart (1987). Porém, estes modelos não são recomendados para estimar alturas abaixo de 1,30 metros.

Schneider et al. (1996) testaram seis polinômios, nos quais os diâmetros relativos (d_i/D) foram a variável dependente e as variáveis independentes foram as alturas relativas (h_i/H), estas elevadas a diversas potências inteiras. A conclusão foi de que o polinômio do 5º grau foi o modelo que apresentou os melhores parâmetros estatísticos e propiciou as melhores estimativas dos sortimentos de *Eucalyptus grandis*.

Matney (1992) desenvolveu um trabalho com oito espécies, construindo equações de afilamento para estimar os diâmetros com e sem casca ao longo do fuste e a sua compatibilidade na obtenção dos volumes. O resultado foi que as equações de afilamento desenvolvidas tiveram pequenos erros padrões e estimativas precisas do perfil.

Finger et al. (1995) estudaram seis modelos pré-estabelecidos, nos quais a variável dependente era (d_i/D) e as variáveis independentes (h_i/H). Posteriormente, realizou estudos de modelagem através do procedimento “Stepwise”, visando obter novas funções para descrever o perfil do tronco para cada árvore-amostra. Através da análise, os autores observaram que os melhores modelos foram $d_i/D = b_0 + b_1 (h_i/(H-1,3))$ e $d_i/D = b_0 + b_1 (h_i/H) + b_2 (h_i/H)^2 + b_3 (h_i/H)^3$. Entretanto, a estimativa dos novos coeficientes para os dois modelos não foram consistentes, impossibilitando o seu emprego. Não foi possível descrever a associação dos coeficientes de regressão gerados para cada uma das árvores cubadas com variáveis

dendrométricas de fácil medição como o DAP e a altura total da árvore, sendo necessário o uso dos coeficientes médios de regressão para descrever a sua forma.

Kahler (1993) estudou três espécies, *Pinus elliotti* Engelm, *Quercus phellus* L., *Liquidambar styraciflua* L., testando 27 equações de afilamento para descrever o perfil do fuste e a estimativa do volume dos sortimentos. Através dos parâmetros estatísticos, determinou que o modelo que melhor se ajustava ao conjunto de dados foi o de Thomas e Parresol (1991), onde $(d_i/D)^2 = a((h_i/H)-1) + b \sin(2\pi(h_i/H)) + c \cot(\pi(h_i/H)/2)$.

2.2 Modelos segmentados

Um dos primeiros trabalhos realizados nos Estados Unidos utilizando modelos segmentados para representar o perfil do fuste das árvores foi realizado por Max e Burkhart (1976). Eles utilizaram a técnica da regressão segmentada, ou seja, cada parte do tronco foi representada por uma função polinomial. Nessa técnica, a curva de cada segmento é gerada pelo método dos mínimos quadrados e os pontos de cada ligação entre cada segmento são necessariamente sem ruptura ou harmonizados.

Muitos outros modelos segmentados foram desenvolvidos ou testados, como em Goulding, (1977); Clark, Souter e Schlaegel, (1991); Lahtinen (1988, 1993); Flewelling (1993); Kozak e Smith (1993), entre outros. Liu (1980) afirma que a mais racional aproximação para expressar o perfil do tronco é produzida pela técnica numérica capaz de assumir várias formas funcionais, dependendo da distribuição dos pontos medidos. E acrescenta que tal técnica pode ser desenvolvida pelo uso da aproximação spline cúbica.

O mesmo autor utilizou funções cúbicas para representar o perfil do tronco das árvores. As curvas neste caso são geradas por aproximação numérica que garante a passagem da curva por todos os pontos utilizados.

O mesmo autor enfatizou que os procedimentos numéricos tradicionais na análise de tronco com freqüência falham na estimativa do comportamento do crescimento em altura. Ele utilizou a spline cúbica natural para estudar o incremento em altura. Em 26 árvores de *Liriodendron tulipifera* L., medindo para cada árvore, os raios em 14 posições ao longo do tronco. A spline cúbica natural também foi utilizada para retratar os perfis dos troncos, obtendo-se estimativas acuradas, tanto para o volume total como para os volumes parciais, com erros médios em torno de 1,5%.

Saborowski, Sloboda e Junge (1981), citados por Kichener et al. (1989), utilizaram spline cúbica para expressar o perfil de árvores e tentaram a redução do número de pontos a serem medidos ao longo do tronco, como forma de obter um número mínimo de medições que torne viável a aplicação dessa técnica em árvores em pé.

Smaltschinski (1983) citado por Kichener et al.(1989) também utilizou a interpolação spline cúbica para expressar a forma do tronco de árvores, estabelecendo que para uma boa representatividade de todo perfil, seriam necessárias medições em seis pontos ao longo do tronco. Escolheu o DAP, o $d_{0,1h}$ e a altura total como pontos básicos e procedeu testes, a fim de identificar as demais posições realizando várias combinações. A melhor delas foi aquela em que usou as medições a 0,2h; 0,5h e 0,74h, com erros inferiores a 1,5% no volume e 3% na estimativa dos diâmetros ao longo do fuste.

Maguire e Batista (1996) trabalharam com Douglas-fir com o objetivo de representar o perfil do alburno. Os modelos testados foram: Bennett-Swindell (1972), o

polinomial segmentado quadrático Walters-Hann(1986) e Max-Burkhart (1976), o polinomial segmentado cúbico Walters-Hann(1986) e Max-Burkhart (1976), o de expoente variável Kozak (1988) e o modelo trigonométrico de Thomas-Parresol (1991). Todos os modelos são apresentados no trabalho destes autores e apresentaram boa performance, com destaque para o modelo de Kozak (1988).

Flewelling e Raynes (1993), estudando a representação matemática do perfil do tronco de *Tsuga heterophylla*, dividiram o tronco das árvores em três segmentos. Cada segmento teve uma única equação de afilamento e um ajuste para cada intervalo, com resultados próximos do real.

Modelos segmentados não têm sido muito usados para representar os perfis das árvores e estimar os seus volumes comerciais e totais, no Brasil. Contudo, Kirchner et al. (1989), Figueiredo-Filho et al. (1992) e Figueiredo Filho, Borders e Hitch (1996b) têm usado spline cúbica para modelar a forma do tronco. Kirchner et al. (1989) aplicaram a função spline cúbica para representar o perfil do fuste e estimar volume de *Pinus elliotti*, procedimento que apresentou-se eficiente na descrição do perfil do fuste e nos volumes obtidos por integração, parciais ou totais.

Figueiredo-Filho, Borders e Hitch (1996b) estudaram a aplicação da spline cúbica para representar o perfil do tronco de *Pinus taeda*. Foram utilizadas várias combinações e números de pontos interpolados para verificar o número de pontos ideais ao longo do fuste. Neste caso, o fuste é dividido em subintervalos e cada um deles é representado por uma função linear cúbica. A união destes polinômios se dá por aproximação numérica, transformando-os numa função contínua. Verificou que mais ou menos 10 pontos foram ideais para estimar o perfil do fuste e o volume comercial.

Figueiredo Filho, Borders e Hitch (1996a) utilizaram cinco modelos para estudar a forma da árvore de *Pinus taeda*, dois deles não segmentados que são: a) Kozak, Munro e Smith (1969) citado pelos autores b) o Polinômio do 5º grau e três modelos segmentados, respectivamente de Max e Burkhart (1976), Parresol, Hotvedt e Cao (1987), Clark, Souter e Schlaegel (1991), que podem ser verificados no trabalho. O modelo de Max e Burkhart (1976) propiciou resultados eficientes enquanto os modelos de Parresol, Hotvedt e Cao (1987) e Clark, Souter e Schlaegel (1991) mostraram-se muito promissores. Através de análises verificou-se que o modelo de Clark, Souter e Schlaegel (1991) apresentou melhor performance para descrever o perfil da árvore e estimar o seu volume, enquanto que os demais apresentaram bom desempenho, excetuando o modelo de Kozak, Muro e Smith (1969), na porção inferior do tronco, abaixo de 30% da altura da árvore.

Segundo Pellico Neto (1994), um novo conceito sobre curvas de forma foi introduzido por Preussner em 1974, cujo processo constitui em subdividir a curva de forma em quatro partes distintas, sendo cada uma delas equacionada com uma parábola.

Segundo o mesmo autor, o método de Preussner é muito preciso e mantém esta precisão de mais ou menos 1% ao longo de todo o fuste. Além disso, devido a sua simplicidade, torna-se fácil obter “x” em função de “y” ou $x = f(y)$ como $y = f(x)$, complicador em outros métodos ou modelos.

2.3 Razão de volume

Existem vários estudos utilizando razão de volume para estimar o perfil da árvore e o volume comercial, como os trabalhos de Munro e Demaerschalk (1974), Demaerschalk (1972), Cao, Burkhart, Max (1980), Clutter (1980), Amateis e Burkhart (1987), Bailey (1994), Broad e Wake (1995), dentre outros.

Demaerschalk (1972) considera que estimativas compatíveis de volume são obtidas ao se converter uma equação de volume numa função que represente o perfil do fuste. Dessa forma, a exatidão das estimativas volumétricas obtidas da equação de taper depende do grau de exatidão proporcionado pela equação de volume. Clutter (1980) utilizou uma equação de volume pressupondo que qualquer equação de volume comercial de topo variável implicitamente define uma associada função de forma.

Amateis e Burkhart (1987) apresentaram dois modelos para estimar volume total e comercial: um em função da altura total e comercial e outro em função do diâmetro à altura do peito e comercial. Os modelos podem ser usados para derivar indiretamente duas funções implícitas de forma de tronco que propiciam estimativas do diâmetro a qualquer altura e vice-versa. As vantagens desses modelos é que a mesma equação pode ser utilizada para determinar o volume disponível para qualquer diâmetro superior desejado.

Bailey (1994) examinou o modelo de Schumacher e Hall (1933) e derivou equações de afilamento para *Pinus elliottii*, tendo observado resultados eficientes na estimativa dos volumes e diâmetros na parte superior do tronco, quando comparou-o com o trabalho de McTague e Bailey (1987) citado por Bailey (1994).

Leite, Guimarães e Campos (1995), estudando a forma de *Pinus oocarpa*, desenvolveram um modelo volumétrico a partir da transformação do modelo de Schumacher e

Hall, gerando um modelo único para estimar volume total e comercial, com e sem casca, mantendo a propriedade de compatibilidade entre volume total e as demais partes componentes do mesmo. O resultado deste modelo único foi comparado com o obtido pela razão volumétrica desenvolvida por Honner (1967) citado pelos autores, concluindo que o modelo estima com precisão os volumes totais e comerciais para diferentes diâmetros comerciais, de maneira simples e compatível.

Campos e Ribeiro (1982) ajustaram a equação de afilamento de Kozak (1968) e a de Demaerschalk (1972) para estimar os sortimentos de *Pinus patula*. Como resultados, eles obtiveram que o modelo de Demaerschalk (1972) propiciou estimativas dos sortimentos mais próximas do real, além de uma estimativa precisa do perfil do fuste, exceto na porção inferior do tronco.

Figueiredo Filho et al. (1993) utilizaram a metodologia desenvolvida por Demaerschalk (1973), que é sistema compatível volume-forma a partir da equação de volume de Spurr e da equação de volume de Schumacher para *Pinus elliotti*. Os resultados mostraram-se eficientes e compatíveis para as estimativas dos sortimentos e do perfil do fuste das árvores.

CAPÍTULO 1

**AVALIAÇÃO DAS EQUAÇÕES DE AFILAMENTO PARA ESTIMAR VOLUMES DE
MÚLTIPLOS PRODUTOS DA MADEIRA DE *Pinus taeda***

RESUMO

FISCHER, Fernando. **Avaliação das equações de afilamento para estimar volumes de múltiplos produtos da madeira de *Pinus taeda*. In: - Eficiência dos modelos polinomiais e das razões de volume na estimativa volumétrica dos sortimentos e do perfil do fuste de *Pinus taeda*.** Lavras: UFLA, 1997. Cap.1. 167p. (Dissertação - Mestrado em Engenharia Florestal)

O presente trabalho surgiu da constatação da necessidade de analisar novas metodologias e também de melhor conhecer o impacto de alguns fatores que podem influir no ajuste das funções de afilamento. Teve como objetivos: construir o modelo de potência fracionária, ou seja, obter as potências inteiras e fracionárias que definem o melhor modelo para diferentes regiões e sítios em cada classe diamétrica; testar e analisar a eficiência das razões de volume e dos modelos do 5º grau e de potências fracionárias para estimar o volume comercial com toras de 2,4 metros e bitolas até o mínimo de 7, 18, 25 cm de diâmetro com casca; analisar o efeito das regiões, dos sítios e das classes diamétricas na eficiência dos ajustes e das estimativas volumétricas dos modelos para *Pinus taeda* na região nordeste do Paraná. Os dados são provenientes da Empresa Pisa Papel Imprensa S.A, situada no município paranaense de Jaguariaíva, Paraná. Foram cubadas 304 árvores, das quais foram medidos diâmetros às alturas relativas, através do penta-prisma sobre tripé com base regulável e com suunto acoplado. Nas proximidades de cada árvore cubada foi lançada uma parcela e medida a altura das árvores dominantes, podendo-se, assim, efetuar a classificação de sítio no local de cada Cubagem rigorosa. Para a classificação de sítio foi utilizada a equação desenvolvida por Scolforo (1997a), posteriormente os dados foram agrupados em classes de diâmetro com intervalo de 5 cm. A análise dos dados foi realizada pelo Sistema de Análise de Variância dos Dados Balanceados - SISVAR, desenvolvido por Furtado (1997). Verificou-se que o ajuste das equações de afilamento, devem ser preferidas por sítio e classe diâmetro, além da utilização do modelo de Amateis e Burkhart ou polinômio de potência fracionária para as estimativas dos sortimentos.

Palavras-chave: Polinômios não segmentados, sortimentos, *Pinus taeda*

ABSTRACT

EVALUATION OF TAPER FUNCTIONS FOR MULTIPRODUCTS VOLUME ESTIMATION OF *Pinus taeda* WOOD. IN: EFFICIENCY OF POLYNOMIAL MODELS AND VOLUME RATIO FOR VOLUMETRIC ESTIMATE OF ASSORTMENTS AND FOR STEM PROFILE DESCRIPTION OF *Pinus taeda*

The present research work came forth from the necessity of analysing new methodologies, and also to know better the impact of some factors which can affect the fitting of taper functions. The objectives were: to build a fractional power model, that is, to obtain entire and fractional power which define the best model by diameter class for different regions and sites; to test and analyse the efficiency of volume ratios, 5° degree polynomials and fractional powers to estimate commercial volume for 2,4 meters logs, for top minimum diameter outside bark of 7, 18, 25 cm; to analyse the effect of regions, sites and diameter classes on the efficiency of fittings and on volumetric models estimates for *Pinus taeda* in the Paraná northeastern region. The data came from the “Pisa Papel Imprensa S.A.” enterprise, located in the country of Jaguariaíva, State of Paraná. Diameters at relative heights along the stems of 304 trees were measured by using a pentaprism caliper on tripod with regulated base and with a coupled suunto hypsometer. In the vicinity of every one cubed tree, a sampling plot was laid down in the forest, from which dominant tree heights were measured in order to allow site classification of the local. The equation developed by Scolforo (1997a) was used for site classification. Then the data were grouped in diameter classes with 5 cm intervals. The data analysis was performed by using a computer program developed by Furtado (1997) name: “Sistema de análise de variância dos dados balanceados”-SISVAR. It was observed that the taper equations fitting, by site and by diameter class should be preferred for assortment estimates. The Amateis and Burkhart or the fractional power polynomial can also be used for such purpose.

Key words: No segmented polynomial, assortment, *Pinus taeda*

1.1 INTRODUÇÃO

Normalmente se obtém as estimativas do volume total através das equações de volume, contudo, hoje há a necessidade de se estimar com precisão não só o volume total, mas também o sortimento das árvores. Vários pesquisadores têm envidado esforços para alcançar este objetivo, construindo e/ou aprimorando diferentes equações de afilamento para estimar os sortimentos da árvore e seu volume.

As equações de afilamento podem ser polinômios segmentados e não segmentados, ou ainda derivadas das razões de volume, entre outros. Por integração de polinômios obtém-se expressões que possibilitam estimar o volume de qualquer porção da árvore, inclusive volume total. As razões de volume resultam, após diferentes formas de manuseio, de equações volumétricas em funções de afilamento a partir das quais pode-se obter diâmetros e alturas ao longo do fuste.

A partir de meados da década de 70, na tentativa de melhorar a eficiência dessas funções, foram testados modelos para representar partes do tronco, tais como as equações segmentadas de Max e Burkhart (1976) e as funções spline cubica de Liu (1980). Vários trabalhos nessa linha já foram desenvolvidos em outros países, porém, no Brasil ainda há poucos estudos, destacando-se entre eles Leite (1992), Figueiredo-Filho, Oliveira, Moura (1993), Figueiredo Filho, Borders, Hitch (1996a, 1996b), Soares (1993), entre outros.

Estes estudos têm concentrado-se em testar e avaliar o desempenho das funções de afilamento ou razão de volume, na estimativa dos múltiplos produtos da madeira, sem, no entanto, contemplar os fatores ambientais que influenciam na forma da árvore e, consequentemente, no ajuste das funções de afilamento.

Por outro lado, é comum em escala comercial ou em empresas, proceder-se ao ajuste destas funções por região administrativa, sem que haja um estudo mais detalhado do desempenho dos modelos existentes. Basicamente, o polinômio do 5º grau e, mais recentemente, o modelo de Amateis e Burkhart têm sido utilizados para estimativa dos múltiplos produtos da madeira no Brasil.

Este estudo surgiu após constatar-se a necessidade de analisar novas metodologias e também melhor conhecer o impacto de alguns fatores que podem influir no desempenho dos ajustes, tendo como objetivos: construir o modelo de potência fracionária, ou seja, obter as potências inteiras e fracionárias que determinem o melhor modelo, para diferentes regiões e sítios em cada classe diamétrica; testar e analisar a eficiência das razões de volume e dos modelos do 5º grau e de potências fracionárias para estimar o volume comercial com toras de 2,4 metros e bitolas até o mínimo de 7, 18, 25 cm de diâmetro com casca; analisar o efeito das regiões, dos sítios e das classes diamétricas na eficiência dos ajustes e das estimativas volumétricas dos modelos.

1.2 MATERIAL E MÉTODOS

1.2.1 Localização e características da área

A área em estudo, de propriedade da Empresa Pisa Papel Imprensa S.A., está situada no município de Jaguariaíva, Estado do Paraná, entre os paralelos 24º e 24º 30' de latitude sul e os meridianos 49º 30' e 50º de longitude oeste de Greenwich, com altitude variando entre 700 e 1100 m.

Segundo a classificação de Koeppen, o clima da região é do tipo Cfb, ou seja, subtropical quente-temperado, caracterizado por apresentar temperatura média inferior a 22⁰C no mês mais quente do ano. O mês mais chuvoso é janeiro cuja precipitação média é de 225,4 mm e não há estação seca definida. Segundo os dados da Estação Meteorológica de Jaguariaíva, a temperatura média anual da região é de 17,7⁰C, sendo a do mês mais quente em torno de 21,3⁰C e a do mês mais frio, 13,4⁰C. Ocorrem algumas geadas por ano (Maack, 1981).

A vegetação original é denominada campo cerrado (estope arbustiva de gramínea baixa), mas a região hoje concentra inúmeras áreas reflorestadas que se baseiam principalmente em *Pinus taeda*, *Pinus elliotti* e *Araucaria angustifolia*.

O solo predominante na região é arenoso com afloramentos de rocha e relevo variando de ondulado a fortemente ondulado (Instituto Agronômico do Paraná, 1994; Golfari, Caser, Moura, 1978).

1.2.2 Cubagem rigorosa

Foram cubadas 304 árvores de *Pinus taeda* distribuídas em 5 regiões da empresa, nas quais foram medidos os diâmetros nas alturas relativas de 1%, 2%, 3%, 4%, 5%, 1,3 metros do solo, 10%, 15%, 25%, 35%, ..., 95% da altura total da árvore. Para as alturas relativas de 1%, 2%, ..., 5%, bem como a 1.3 m do solo, os diâmetros foram medidos com fita métrica. Nas demais alturas utilizou-se o penta-prisma sobre tripé com base regulável e com sunto acoplado, sem que a árvore tivesse que ser abatida.

1.2.3 Classificação de sítio

Na proximidade de cada árvore cubada foi instalada uma parcela de 15x20 metros, com o objetivo de identificar sua altura dominante. Foram mensuradas as alturas das três árvores de maior diâmetro na parcela, que resultou na altura média das árvores dominantes. De posse de cada par formado por altura dominante e idade, foi possível identificar o índice de sítio do local onde foi cubada cada árvore. A equação de sítio utilizada foi desenvolvida por Scolforo (1997a) e apresentou coeficiente de determinação (R^2) igual a 97,48% e erro padrão residual (syx) igual a 1,187 metros. A equação é:

$$Hd = 52.3735174 \cdot \left(\frac{S}{52.3735174} \right)^{\frac{\ln(1-\exp(-0.0275482I))}{\ln(1-\exp(-0.0275482I_{ref}))}}$$

Na Tabela 1.1 está apresentada a distribuição das árvores cubadas por classe e índice de sítio.

TABELA 1.1. Distribuição das árvores por classe diamétrica nos sítios.

Classe diamétrica	I	II	III	IV	V	VI
10 - 15	0	0	3	1	0	0
15 - 20	0	3	12	8	5	2
20 - 25	0	2	23	18	12	16
25 - 30	0	1	14	16	12	15
30 - 35	0	1	8	16	12	14
35 - 40	0	1	11	17	12	8
40 - 45	0	2	4	16	7	2
45 - 50	0	0	1	3	1	1
50 - 55	0	0	1	2	0	0
55 - 60	0	0	1	0	0	0
TOTAL	0	10	78	97	61	58

Devido ao pequeno número de repetições nas classes de sítio I e II, estas foram eliminadas neste estudo.

1.2.4 Distribuição diamétrica

Na Tabela 1.2 apresenta-se a frequência das árvores cubadas rigorosamente, por classe diamétrica e por região de estudo.

TABELA 1.2. Distribuição das árvores por classe diamétrica e região.

Classe diamétrica	Mocambo	Ouro Verde	Jaguaraiá	Pouso Alto	Moquém
10 15	0	0	2	0	2
15 20	3	5	8	2	12
20 25	15	13	13	12	18
25 30	13	14	15	11	5
30 35	12	10	12	12	5
35 40	13	9	8	13	6
40 45	6	7	4	9	5
45 50	0	2	2	1	1
50 55	0	2	1	0	0
55 60	0	1	0	0	0
TOTAL	62	63	65	60	54

1.2.5 Obtenção dos volumes

Foram estruturados dois arquivos de dados: um que possibilitou os ajustes por classes de diâmetro do polinômio do 5º grau e do polinômio de potência fracionária; outro arquivo foi elaborado após a obtenção dos volumes totais e comerciais até um diâmetro mínimo de 7; 18; 25 e 35cm com casca, assim como das respectivas alturas. A partir desse arquivo, pôde-se obter as funções que expressam a razão entre volumes, através das quais também chega-se às funções de afilamento.

1.2.6 Funções utilizadas

Para os modelos testados, trabalhou-se com as funções de formas tradicionais, entre elas os modelos de Schopfer (1966) e Hradetzky (1976). Optou-se também por utilizar os modelos que expressam a razão entre os volumes e que, por sua vez, geram função de afilamento, como é o caso do modelo desenvolvido por Clutter (1980) e Amateis e Burkhart (1987).

A seguir, encontram-se listadas as funções que serão utilizadas neste trabalho, bem como a forma de trabalho das mesmas.

Modelo de Schopfer ou polinômio do 5º grau

Este modelo será ajustado por classe diamétrica, para cada região e sítio, sendo apresentado a seguir:

$$\frac{d_i}{D} = \beta_0 + \beta_1 \left(\frac{h_i}{H} \right) + \beta_2 \left(\frac{h_i^2}{H^2} \right) + \beta_3 \left(\frac{h_i^3}{H^3} \right) + \beta_4 \left(\frac{h_i^4}{H^4} \right) + \beta_5 \left(\frac{h_i^5}{H^5} \right)$$

onde:

d_i = diâmetro à várias alturas ao longo do fuste da árvore

D = diâmetro à altura do peito (1,30 metros do solo)

h_i = altura ao longo do fuste

H = altura total

β_i = parâmetros a serem estimados

e_i = erro de estimativa

A seguir, o desenvolvimento do polinômio de quinto grau, para estimativa dos volumes.

Simplificando o polinômio por

$$C_0 = \beta_0 \quad \text{e} \quad C_i = (\beta_i / H^i) , \quad i = 1, 2, \dots, 5$$

e multiplicando ambos os lados da equação por D, a expressão fica:

$$di = D \left(C_0 + C_1 \cdot h_i + C_2 \cdot h_i^2 + C_3 \cdot h_i^3 + C_4 \cdot h_i^4 + C_5 \cdot h_i^5 \right) + ei \quad (4)$$

O volume da árvore é obtido pela integral do polinômio (4):

$$V = K \int_{h_1}^{h_2} d_i^2 \delta h \quad (5)$$

Substituindo a expressão (4) em (5), fica:

$$V = K D^2 \int_{h_1}^{h_2} \left(C_0 + C_1 h_i + C_2 h_i^2 + C_3 h_i^3 + C_4 h_i^4 + C_5 h_i^5 \right)^2 \delta h \quad (6)$$

onde,

$$K = \pi / 40.000$$

Portanto, antes de proceder à integração, torna-se necessário elevar ao quadrado a expressão entre parênteses, definindo uma função de volume na seguinte forma:

$$\begin{aligned} V = K \cdot D^2 & \left[C_0^2 \cdot h_i + (C_0 \cdot C_1) h_i^2 + \left(\frac{2}{3} C_0 \cdot C_2 + \frac{1}{3} C_1^2 \right) h_i^3 + \right. \\ & \left(\frac{1}{2} C_0 \cdot C_3 + \frac{1}{2} C_1 \cdot C_2 \right) h_i^4 + \left(\frac{2}{5} C_0 \cdot C_4 + \frac{2}{5} C_1 \cdot C_3 + \frac{1}{5} C_2^2 \right) h_i^5 + \\ & \left(\frac{1}{3} C_0 \cdot C_5 + \frac{1}{3} C_1 \cdot C_4 + \frac{1}{3} C_2 \cdot C_3 \right) h_i^6 + \left(\frac{2}{7} C_1 \cdot C_5 + \frac{2}{7} C_2 \cdot C_4 + \frac{1}{7} C_3^2 \right) h_i^7 + \\ & \left. \left(\frac{1}{4} C_2 \cdot C_5 + \frac{1}{4} C_3 \cdot C_4 \right) h_i^8 + \left(\frac{2}{9} C_3 \cdot C_5 + \frac{1}{9} C_4^2 \right) h_i^9 + \left(\frac{1}{5} C_4 \cdot C_5 \right) h_i^{10} + \left(\frac{1}{11} C_5^2 \right) h_i^{11} \right]_{h_1}^{h_2} \end{aligned}$$

Quando h_2 for igual a altura total e h_1 for igual a zero, então tem-se o volume total da árvore, similar às equações de volume.

Construção do modelo de potência fracionária

Conforme já constatado por Schoepfer (1966), o polinômio do 5º grau, embora represente bem o perfil da árvore, não o representa tão bem na porção inferior, já que há mais tortuosidade e sinuosidade na base da árvore, que nas partes superiores. Hradetzky (1976) sugeriu a utilização de potências inteiras com dezenas para representar a base da árvore, em conjunto com as potências fracionárias para representar a porção superior do tronco.

De acordo com Rosot (1989), modelos com esta forma devem ser construídos.

Neste trabalho utilizou-se, para tal, o procedimento “Stepwise”, implementado por classe de diâmetro para cada região e sítio, conforme foi adotado para o polinômio de 5º grau.

As potências utilizadas para fins de construção do modelo para as classes de diâmetro, regiões e sítios, através do procedimento de “Stepwise” foram:

0,005; 0,09; 0,08; 0,07; 0,06; 0,05; 0,04; 0,03; 0,02; 0,01; 0,9; 0,8; 0,7; 0,6; 0,5; 0,4; 0,3; 0,2; 0,1; 1; 2; 3; 4; 5; 10; 15; 20 e 25.

De uma forma geral, os polinômios a serem construídos são:

$$\frac{d_i}{D} = \beta_0 + \beta_1 \left(\frac{h_i^{p1}}{H^{p1}} \right) + \beta_2 \left(\frac{h_i^{p2}}{H^{p2}} \right) + \dots + \beta_n \left(\frac{h_i^{pn}}{H^{pn}} \right) + e_i$$

onde:

d = diâmetros ao longo do fuste da árvore

D = diâmetro à altura do peito ou diâmetro a 10% da altura da árvore

h_i = alturas ao longo do fuste da árvore

H = altura total da árvore

p_i = expoentes variando entre 0,005 e 25

β_i = coeficientes a serem estimados

e_i = erro de estimativa

O volume é obtido pela integração do polinômio, conforme a apresentação abaixo:

Simplificando a expressão por:

$$C_0 = \beta_0 \quad \text{e} \quad C_i = (\beta_i / H^{p_i}) \quad , \quad i = 1, 2, \dots, n$$

onde:

p_i = expoentes selecionados através do processo de “stepwise”

e multiplicando ambos os lados da equação por D, a expressão fica:

$$di = D \left(C_0 + C_1 \cdot h_1^{p_1} + C_2 \cdot h_2^{p_2} + \dots + C_n \cdot h_n^{p_n} \right) + ei \quad (7)$$

O volume da árvore é obtido pela integral do polinômio:

$$V = K \int_{h_1}^{h_2} d_i^2 \delta h \quad (8)$$

Substituindo a expressão (7) em (8), fica:

$$V = K D^2 \int_{h_1}^{h_2} \left(C_0 + C_1 h_1^{p_1} + C_2 h_2^{p_2} + \dots + C_n h_n^{p_n} \right)^2 \delta h$$

onde,

$$K = \pi / 40.000$$

Portanto, antes da integração torna-se necessário elevar ao quadrado a expressão entre parênteses, definindo uma função de volume da seguinte forma:

$$V = K D^2 \int_{h_1}^{h_2} \left(C_0 + C_1 h_1^{p_1} + C_2 h_2^{p_2} + \dots + C_n h_n^{p_n} \right)^2 \delta h$$

A integral do modelo assume a forma:

$$V = K \cdot D^2 \left[C_0^2 \cdot h_i + 2C_0 \cdot C_1 \left(\frac{h_i^{1+p1}}{1+p1} \right) + 2C_0 \cdot C_2 \left(\frac{h_i^{1+p2}}{1+p2} \right) + \dots + C_{n-1} C_n \left(\frac{h_i^{1+p(n-1)+pn}}{1+p(n-1)+pn} \right) + C_n^2 \left(\frac{h_i^{1+(2pn)}}{1+(2pn)} \right) \right]_{h_i}^{h_2}$$

Considerando h_1 igual zero e h_2 igual a altura total da árvore, calcula-se, então, o seu volume total, como se fosse uma equação de volume.

Modelo de Clutter

Utiliza-se, neste caso, uma equação do volume total e outra de volume comercial ou razão de volume, através das quais obtém-se as funções de afilamento.

Equação de volume

$$V = \beta_0 D^{\beta_1} H^{\beta_2} + e_i$$

onde:

V = volume total com casca

D = diâmetro à altura do peito

H = altura total

β_i = parâmetros a serem estimados para a equação de volume

e_i = erro de estimativa

Volume comercial até um diâmetro comercial

$$V_c = V(1 - \alpha_0 d^{\alpha_1} D^{\alpha_2})$$

onde:

V_c = volume comercial em diâmetro e altura comercial

V = volume total com casca

d = diâmetro comercial

D = diâmetro à altura do peito

α_i = parâmetros a serem estimados

Para a implementação do modelo, é necessário considerar que uma equação de volume comercial de topo variável, implicitamente, define uma associada função de afilamento.

Das expressões anteriores, aplicando-se o conceito de integral e derivada, obtém-se as expressões de forma que permitem estimar a altura comercial em função do diâmetro e os diâmetros em função das alturas comerciais.

Assim, o afilamento com casca da árvore pode ser definido pelas equações:

Altura comercial em função do diâmetro:

$$h = H - d^{\alpha_1 - 2} \cdot K^{-1} \cdot \beta_0 D^{\beta_1} H^{\beta_2} \cdot \alpha_0 D^{\alpha_2} \left[\frac{\alpha_1}{\alpha_1 - 2} \right]$$

Diâmetro comercial em função da altura:

$$d = \left\{ K \frac{1}{\beta_0 D^{\beta_1} \cdot H^{\beta_2}} \cdot \frac{1}{\alpha_0} \cdot D^{-\alpha_2} \left[\frac{\alpha_1 - 2}{\alpha_1} \right] (H - h) \right\}^{\frac{1}{(\alpha_0 - 2)}}$$

onde:

h = altura correspondente a qualquer diâmetro ao longo do fuste pré-estabelecido como diâmetro mínimo comercial

$H, d, \beta_i, \alpha_i, V, V_c$ = definidos anteriormente.

$$K = \pi/40.000$$

Modelo de Amateis e Burkhart

Amateis e Burkhart (1987) apresentaram dois modelos para estimar volume comercial até qualquer diâmetro ou altura comercial, como seguem as expressões:

Volume até qualquer diâmetro ao longo do fuste:

$$V_c = V \left(1 - \alpha_0 \frac{d^{\alpha_1}}{D^{\alpha_2}} \right) \quad (1)$$

Volume até qualquer altura ao longo do fuste:

$$V_c = V \left(1 - \beta_0 \frac{(H-h)^{\beta_1}}{H^{\beta_2}} \right) \quad (2)$$

onde:

Vc = volume comercial até um diâmetro comercial ou altura comercial

V = volume total

d = diâmetro comercial

D = diâmetro à altura do peito

H = altura total

h = altura comercial

β_i e α_i = parâmetros a serem estimados

Igualando as funções “1”e “2” pode-se obter de maneira fácil as funções de forma para diâmetro e altura. Resolvendo (3) em relação ao diâmetro comercial (d), obtém-se a função de afilamento correspondente.

$$\alpha_0 \frac{d^{\alpha_1}}{D^{\alpha_2}} = \beta_0 \frac{(H-h)^{\beta_1}}{H^{\beta_2}}$$

$$d = \left[\frac{\beta_0 D^{\alpha_2} (H-h)^{\beta_1}}{\alpha_0 H^{\beta_2}} \right]^{\frac{1}{\alpha_1}} \quad (3)$$

Resolvendo (3) em relação à altura comercial (h), pode-se obter a função de afilamento correspondente.

$$\alpha_0 \frac{d^{\alpha_1}}{D^{\alpha_2}} = \beta_0 \frac{(H-h)^{\beta_1}}{H^{\beta_2}}$$

$$(H-h)^{\beta_1} = \frac{\alpha_0}{\beta_0} \cdot H^{\beta_2} \cdot \frac{d^{\alpha_1}}{D^{\alpha_2}}$$

$$(H-h) = \left[\frac{\alpha_0 \cdot H^{\beta_2} d^{\alpha_1}}{\beta_0 \cdot D^{\alpha_2}} \right]^{\frac{1}{\beta_1}}$$

$$h = H - \left[\frac{\alpha_0 H^{\beta_2} d^{\alpha_1}}{\beta_0 \cdot D^{\alpha_2}} \right]^{\frac{1}{\beta_1}}$$

1.2.7 Eficiência das equações de afilamento na estimativa volumétrica

Foram testadas três classes de sortimento com diâmetro mínimo com casca de 7 cm, 18 cm, 25 cm. Cada classe de sortimento compôs um experimento.

O delineamento utilizado foi em blocos casualizados com parcelas subdivididas, devido ao pequeno número de árvores amostradas por classe de diâmetro. Os sítios compuseram os blocos, as classes diamétricas as parcelas, os modelos as subparcelas e as árvores as repetições, conforme pode ser visto nas Tabelas 1.3, 1.4.

Busca-se, através deste, identificar nos diferentes sítios e classes diamétricas se há diferença entre os modelos para a estimativa dos volumes para cada classe de sortimentos considerada. Se for detectada diferença significativa na análise de variância, será aplicado o teste de Scott e Knott (1974).

TABELA 1.3. Análise de variância para o delineamento em blocos casualizados com parcelas subdivididas para sortimentos 7 e 18 cm, para os sítios.

F. V.	G. L.
CD	3
Sítio	3
Sítio x CD	9
Árvores	4
Erro _a	64
Modelos	4
CD x Modelo	12
Sítio x Modelo	12
Mod x CD x Sítio	36
Erro _b	252
Total	399

CD = Classe diamétrica

TABELA 1.4. Análise de variância para o delineamento em blocos casualizados com parcelas subdivididas para sortimento 25 cm, para os sítios.

F. V.	G. L.
CD	2
Sítio	3
Sítio x CD	6
Árvores	4
Erro _a	48
Modelos	4
CD x Modelo	8
Sítio x Modelo	12
Mod x CD x Sítio	24
Erro _b	188
Total	299

CD = Classe diamétrica

Devido ao pequeno número de repetições nas classes diamétricas de 10 a 15, 15 a 20, 20 a 45, 45 a 50, 50 a 55, 55 a 60 cm, estas foram eliminadas neste estudo. As classes diamétricas que compuseram o estudo contaram com cinco árvores. Na classe de sortimento 25, foi também eliminada a classe de 20 a 25 cm.

Estes dados foram analisados pelo Sistema de Analise de Variância para Dados Balanceados (SISVAR) (Furtado, 1997).

O mesmo procedimento para verificar o efeito sítio foi adotado para identificar o efeito região. Nas Tabelas 1.5 e 1.6 são apresentados os detalhamentos da análise para as classes de sortimento 7 e 18 cm e a classe de 25 cm. Particularmente para a classe de sortimento 25 cm, o número de repetições foi de três árvores por classe diamétrica.

TABELA 1.5. Análise de variância para o delineamento em blocos casualizados com parcelas subdivididas para sortimentos 7 e 18 cm, para as regiões.

F. V.	G. L.
CD	3
Local	4
Local x CD	12
Árvores	4
Erro _a	80
Modelos	4
CD x Modelo	12
Local x Modelo	16
Mod x CD x Local	48
Erro _b	316
Total	499

CD = Classe diamétrica

TABELA 1.6. Análise de variância para o delineamento em blocos casualizados com parcelas subdivididas para sortimento 25 cm, para as regiões.

F. V.	G. L.
CD	2
Local	4
Local x CD	8
Árvores	2
Erro _a	30
Modelos	4
CD x Modelo	8
Local x Modelo	16
Mod x CD x Local	32
Erro _b	118
Total	224

CD = Classe diamétrica

1.3 RESULTADOS E DISCUSSÃO

1.3.1 Construção do modelo de potência fracionária

Nas Tabelas 1.7 e 1.8, são apresentados os ajustes para estes polinômios, respectivamente para diferentes classes de sítio e diferentes regiões. Notou-se tendência de predominar potências fracionárias e inteiras nos modelos construídos, podendo-se observar que os primeiros parâmetros são potências fracionárias e os parâmetros finais dos modelos são potências inteiras. Os modelos com quatro coeficientes apresentaram, na maioria dos casos, a potência 0,005 no segundo parâmetro, potências decimais para o terceiro parâmetro, unitárias para o quarto e de dezenas no último parâmetro.

TABELA 1.7. Parâmetros estimados e medidas de precisão do polinômio de potência fracionária por classe de diâmetro, e por sítio.

Sítio	Limite das classes de diâmetro (cm)	β_0	Parâmetros estimados						R^2	Syx
			β_1	β_2	β_3	β_4	β_5	β_6		
III	15 20	P	0,005	0,01	0,5	0,7	3	10		
		C	1,358648	28,097977	-28,926489	1,495659	-1,689554	-0,321132	0,916011	97,5 0,0467
	20 25	P	0,005	0,5	0,6	0,7	4	10		
		C	1,351731	0,301105	-19,908462	37,137548	-18,543272	-0,66214	1,223017	97,3 0,0508
	25 30	P	0,005	0,01	0,6	4	10			
		C	1,292316	13,663337	-14,056467	-0,445805	-0,879334	1,224947		96,8 0,0548
	30 35	P	0,005	0,5	10		15			
		C	1,34488	-0,133966	-0,847616	-2,78766	4,481987			97 0,0529
IV	35 40	P	0,005	0,3	5		10			
		C	1,266731	0,084931	-0,838949	-1,126675	1,024671			98,1 0,0408
	40 45	P	0,005	0,5	0,6	2				
		C	1,332794	0,252423	-9,447282	9,282097	-1,464458			98,3 0,0405
	15 20	P	0,5	3						
		C	1,308139	-0,927405	-0,177196					95,4 0,0612
	20 25	P	0,005	0,06	0,6	3	10			
		C	1,289122	1,166487	-1,577606	-0,377968	-0,645196	0,933031		95,6 0,0615
IV	25 30	P	0,005	0,01	1		5			
		C	1,278349	14,738853	-15,193333	-0,505749	-0,265303			97,7 0,0446
	30 35	P	0,005	0,3	5	10				
		C	1,317522	0,061218	-0,853649	-1,028467	0,826726			97,4 0,048
	35 40	P	0,005	0,2	4	10	20	25		
		C	1,287978	0,282018	-0,997068	-0,906697	1,077358	-4,467118	4,747224	97,9 0,0433
	40 45	P	0,005	0,2	0,3	0,7	4	10		
		C	1,264626	1,382118	-8,598461	8,13193	-1,708462	-0,832769	0,61998	97,7 0,0458

Continua

TABELA 1.7. Continuação

Sítio	Limite das classes de diâmetro (cm)	Parâmetros estimados							R^2	Syx
		β_0	β_1	β_2	β_3	β_4	β_5	β_6		
V	15 20	P	0,4	4						
		C	1,397054	-0,998227	-0,207306					96,5 0,0579
	20 25	P	0,4	5	10					
		C	1,322738	-0,862226	-0,862926	1,06299				97,2 0,0485
	25 30	P	0,005	0,3	0,4	0,7	5			
		C	1,331752	1,100308	-15,594162	18,52482	-5,100738	-0,221134		98,3 0,0388
	30 35	P	0,005	0,2	0,6	1	5			
		C	1,318123	0,857959	-2,843945	3,265681	-2,35021	-0,265519		97,1 0,0512
VI	35 40	P	0,005	0,2	4	5				
		C	1,263213	0,240474	-0,850638	-1,794051	1,133221			98,1 0,0395
	40 45	P	0,5	0,6	5	10				
		C	1,352092	-3,041013	2,283505	-1,597012	1,64839			94,9 0,0743
	15 20	P	0,5							
		C	1,366222	-1,036279						98,6 0,0358
	20 25	P	0,4	5	10					
		C	1,324186	-0,848303	-0,959442	1,095228				96,5 0,0543
VI	25 30	P	0,4	1	5	25				
		C	1,32888	-0,924928	0,11542	-0,8559	5,952374			98,1 0,0413
	30 35	P	0,005	0,3	5	10				
		C	1,300353	0,106355	-0,877943	-1,22562	1,152329			97,6 0,0477
	35 40	P	0,4	5						
		C	1,298495	-0,826034	-0,642282					98 0,0426
	40 45	P	0,005	0,02	1	5	25			
		C	1,256209	4,823076	-5,280192	-0,204366	-1,270617	8,844196		99,4 0,0234

P = Potência

C = Coeficiente

TABELA 1.8. Parâmetros estimados e medidas de precisão do polinômio de potência fracionária por classe de diâmetro e por região.

Região	Limite das classes de diâmetro (cm)	Parâmetros estimados								R^2	Syx
		β_0	β_1	β_2	β_3	β_4	β_5	β_6			
Mocambo	15 20	P C	0,4 1,369743	5 -0,995382	-0,13684					98,1	0,042
	20 25	P C	0,005 1,294401	0,01 28,229819	0,6 -29,090631	-3,082181	3,010342	-0,456152	5 0,547496	97	0,049
	25 30	P C	0,005 1,26663	0,01 40,741249	0,5 -42,022288	5,825758	-5,460713	0,106494	4 -0,393529	97,8	0,041
	30 35	P C	0,005 1,26128	0,01 72,777726	0,2 -76,093107	3,768658	-1,325125	-0,417694	5 98,2	0,034	
	35 40	P C	0,005 1,272829	0,3 0,098109	5 -0,826949	-0,732955				97,6	0,044
	40 45	P C	0,005 1,253501	0,4 0,555375	0,5 -14,61717	0,7 19,618774	0,7 -6,312736	5 -1,41646	10 1,568666	98,4	0,037
	15 20	P C	0,5 1,321894	3 -1,033611						96,6	0,0532
	20 25	P C	0,005 1,281928	0,01 14,839783	0,6 -15,260789	-0,286287	-1,426186	1,28959	5 97,8	0,043	
Ouro Verde	25 30	P C	0,005 1,285425	0,2 0,525698	0,5 -1,883368	0,5 1,36408	-1,044078	-0,253973	4 0,869051	97,7	0,0453
	30 35	P C	0,2 1,319919	0,5 -0,34002	5 -0,541021	5 -0,569011	20 0,692421			97,5	0,0471
	35 40	P C	0,3 1,269595	0,6 -0,469163	5 -0,375058	15 -0,677131	15 0,651606			97,9	0,0434
	40 45	P C	0,005 1,239179	0,01 20,941617	4 -21,474647	5 -3,119278	5 2,613929			93,6	0,08

Continua

TABELA 1.8. Continuação.

Região	Limite das classes de diâmetro (cm)	Parâmetros estimados								R^2	Syx
		β_0	β_1	β_2	β_3	β_4	β_5	β_6			
Jaguariaíva	15 20	P	0,005	0,2	0,6	4	5				
	20 25	C	1,32362	0,513208	-1,442393	0,305856	-5,159976	5,48307		96,6	0,0541
		P	0,5	1	3	15					
	25 30	C	1,315468	-1,599762	1,193453	-1,619564	14,959596			96,4	0,0583
		P	0,005	0,01	0,3	0,6	5	25			
	30 35	C	1,29942	45,137237	-46,842233	2,520663	-1,725755	-0,734709	7,039811	97,7	0,0461
		P	0,005	0,01	0,3	2	5	15			
	35 40	C	1,305447	28,027677	-28,867255	0,349898	-0,648126	-0,361727	0,796202	98,2	0,0412
Pouso Alto		P	0,005	0,01	4	5	10	25			
	40 45	C	1,269297	19,980356	-20,540102	-4,518015	4,98054	-1,813368	1,664146	98,8	0,0325
		P	0,005	0,2	5	10					
		C	1,320753	0,19351	-0,900477	-1,744896	1,766202			98,7	0,0357
	15 20	P	0,4	10							
		C	1,459791	-1,068571	-2,161141					97,5	0,0522
	20 25	P	0,4	5	10						
		C	1,325135	-0,877357	-0,841846	0,888592				97,6	0,0447
Pouso Alto	25 30	P	0,005	0,3	5	10					
		C	1,336384	0,094902	-0,933985	-1,164695	1,232529			98,3	0,04
	30 35	P	0,005	0,01	3	5					
		C	1,332806	22,379366	-23,032953	-1,20054	0,625404			98,3	0,0416
	35 40	P	0,005	0,4	0,8	1	5	10			
		C	1,284169	0,201684	-2,522938	5,316689	-3,889868	-0,859723	0,736773	98,5	0,0368
	40 45	P	0,005	0,01	0,3	5	15				
		C	1,3114	11,62333	-11,930891	-0,421308	-1,405148	2,496566		98,2	0,0423

Continua

TABELA 1.8. Continuação.

Região	Limite das classes de diâmetro (cm)	constante	Parâmetros estimados						R^2	Syx
			β_1	β_2	β_3	β_4	β_5	β_6		
Moquéém	15 20	P	0,005	0,1	0,5	3	5			
		C	1,367044	0,954887	-1,623195	-0,066272	-1,193933	1,064617	97,3	0,0477
	20 25	P	0,005	0,5	0,7	1	15			
		C	1,373214	0,303161	-8,291573	12,79703	-6,100696	0,847584	96,9	0,0544
	25 30	P	0,4	10						
		C	1,379813	-1,013693	-0,808231				96,8	0,057
	30 35	P	0,4	0,5	5					
		C	1,416442	-2,00139	1,038583	-0,487538			95,1	0,0703
	35 40	P	0,4	2	4	15	25			
		C	1,309054	-0,909145	0,616605	-1,716397	3,292091	-3,006691	97,1	0,0532
	40 45	P	0,5	0,6	5	10				
		C	1,325311	-3,093043	2,383644	-1,585986	1,642109		97,3	0,0509

P = Potência

C = Coeficiente

Nestes casos, as potências fracionárias estão moldando melhor a ponta da árvore e as potências maiores à base da árvore. Pode-se constatar que, para todas as situações testadas, as medidas de precisão estão dentro do espectro de ajustes precisos.

A análise das medidas de precisão mostra que não há diferença entre as equações ajustadas para as diferentes classes diamétricas. Quanto aos ajustes realizados por sítio e classe diamétrica, e região e classe diamétrica, verificou-se que os menores e maiores valores de coeficiente foram respectivamente 94,9 % e 99,4 %; e 93,6 % e 98,8 %. Juntamente com o erro padrão residual pode-se inferir que há uma leve superioridade dos modelos ajustados por sítio em relação às equações obtidas por região, muito provavelmente pelo maior controle das fontes de variação da variável volume.

1.3.2 Polinômio de 5º grau

Através da análise das medidas de precisão, coeficiente de determinação, erro padrão residual e análise gráfica dos resíduos, verificou-se nas Tabelas 1.9 e 1.10 que todos os modelos apresentaram ajustes satisfatórios, o que indica que eles podem ser usados para estimar com eficiência os diâmetros e as alturas ao longo do fuste, os volumes totais e comerciais para as árvores de *Pinus taeda*.

Entre os polinômios, o menor coeficiente de determinação nas regiões foi de 93,5% e o maior de 98,1%, para os sítios o menor foi de 94,6% e o maior 99,0%. Verificou-se, através do erro padrão e da análise gráfica dos resíduos, uma leve superioridade no ajuste por sítio, em relação aos ajustes por região.

TABELA 1.9. Parâmetros estimados e medidas de precisão do polinômio do 5º grau por classe de diâmetro e por sítio.

Classe de sítio	Limite das classes de diâmetro (cm)	Parâmetros estimados							R ²	Syx
		β_0	β_1	β_2	β_3	β_4	β_5			
III	15 20	1,317704	-5,391649	26,445458	-67,352362	76,430938	-31,567742	96,9	0,0511	
	20 25	1,306984	-5,566463	27,174277	-66,038743	70,644785	-27,529053	96,8	0,0549	
	25 30	1,243435	-4,940787	23,411334	-56,338636	59,800933	-23,205354	96,3	0,0588	
	30 35	1,240953	-5,666502	30,209543	-79,06375	92,189475	-39,566907	95,4	0,0654	
	35 40	1,202247	-4,591559	20,476747	-44,189737	41,338774	-14,107663	97,3	0,0484	
	40 45	1,279051	-6,768492	36,490653	-89,844878	97,719523	-39,398223	97,7	0,0479	
IV	15 20	1,29092	-5,186379	26,192379	-66,331178	73,814665	-29,819344	95,5	0,0612	
	20 25	1,254429	-4,765071	22,650103	-55,522404	59,932131	-23,506298	95,4	0,063	
	25 30	1,225521	-4,930131	25,19409	-65,187443	75,220459	-31,961236	97,2	0,0495	
	30 35	1,247935	-5,649035	30,532384	-79,079049	90,816803	-38,501817	96,6	0,0547	
	35 40	1,2111085	-4,024996	13,389449	-17,484088	2,554576	5,007454	95,5	0,0637	
	40 45	1,203463	-4,550663	21,616356	-48,579129	46,694207	-16,329033	97	0,0524	
V	15 20	1,344448	-6,6324	34,374279	-85,668332	94,824909	-38,453312	96,4	0,0597	
	20 25	1,274411	-5,692376	30,542161	-79,128981	90,241629	-37,601632	96,9	0,0513	
	25 30	1,269986	-5,801127	31,325259	-80,400329	91,042858	-37,939071	97,5	0,0473	
	30 35	1,257723	-5,73577	32,162741	-85,071134	99,036639	-42,394178	96,3	0,0576	
	35 40	1,218374	-4,700082	24,562494	-61,691634	68,267144	-28,115701	97,7	0,0433	
	40 45	1,284252	-5,944582	30,299791	-73,021794	77,78199	-30,764827	94,6	0,0764	
VI	15 20	1,355545	-6,496783	38,139871	-111,083913	144,605745	-69,066666	99	0,0326	
	20 25	1,270845	-5,274287	27,224458	-69,238466	77,894999	-32,206171	96,1	0,0575	
	25 30	1,263003	-5,23965	26,474418	-66,187816	73,988088	-30,736116	97,5	0,0475	
	30 35	1,244311	-4,765928	21,971081	-49,164441	47,688616	-16,879939	97	0,0533	
	35 40	1,244464	-4,938779	24,482764	-61,345443	69,639372	-29,694904	97,9	0,0444	
	40 45	1,194716	-3,847509	17,015572	-36,367265	33,741218	-11,889642	98,7	0,0362	

TABELA 1.10. Parâmetros estimados e medidas de precisão do polinômio do 5º grau por classe de diâmetro e por região.

Região	Limite das classes de diâmetro (cm)	Parâmetros estimados							S _{yx}
		β_0	β_1	β_2	β_3	β_4	β_5	R ²	
Mocambo	15 - 20	1,309818	-6,129514	30,017025	-73,009825	80,236609	-32,577191	98,1	0,043
	20 - 25	1,249091	-5,078848	24,415528	-60,043427	66,549442	-27,272885	96,5	0,054
	25 - 30	1,22431	-4,985479	25,882485	-67,010645	77,695473	-33,30287	97,3	0,046
	30 - 35	1,205178	-4,579384	24,412282	-64,057708	74,547496	-32,091118	97,5	0,044
	35 - 40	1,228567	-5,182637	28,560811	-76,197307	90,478263	-39,752191	97,2	0,047
	40 - 45	1,221021	-5,223841	26,703576	-63,75783	66,591114	-25,781768	98	0,041
Ouro Verde	15 - 20	1,284674	-5,024247	24,424671	-63,188026	73,285359	-31,011013	96,5	0,056
	20 - 25	1,240293	-4,831419	24,541399	-63,659912	72,056699	-29,510012	97,4	0,046
	25 - 30	1,22941	-5,023034	25,117663	-63,458979	70,943551	-29,016771	97,1	0,050
	30 - 35	1,217223	-4,819085	21,503328	-47,178688	45,832457	-16,483796	96	0,060
	35 - 40	1,200884	-4,443662	19,720461	-43,563755	42,191962	-15,049882	97,3	0,049
	40 - 45	1,213296	-4,145481	18,768782	-41,802408	39,913509	-13,843453	93,5	0,081
Jaguariaíva	15 - 20	1,30663	-5,452936	29,130693	-78,419658	93,24454	-40,559344	96,4	0,056
	20 - 25	1,283073	-5,036211	25,388131	-63,533782	68,816714	-26,90792	96,2	0,060
	25 - 30	1,243018	-4,620716	22,012379	-52,837576	56,064424	-22,043276	97	0,052
	30 - 35	1,257509	-5,239309	27,933531	-71,242703	79,844844	-33,030348	97,6	0,047
	35 - 40	1,201474	-3,564868	10,859305	-10,366738	-7,560856	10,38066	97,2	0,049
	40 - 45	1,23397	-5,545885	30,70704	-79,082393	89,043678	-36,990371	97,5	0,049

Continua

TABELA 1.10. Continuação.

Região	Limite das classes de diâmetro (cm)	Parâmetros estimados							R^2	S _{yx}
		β_0	β_1	β_2	β_3	β_4	β_5			
Pouso Alto	15 20	1,433266	-9,052786	58,625317	-176,787973	236,733353	-116,143142	97,9	0,051	
	20 25	1,272752	-5,640851	29,892962	-77,338295	88,570807	-37,250554	97	0,050	
	25 30	1,27323	-5,705085	29,704467	-75,28823	84,620232	-35,073485	97,6	0,048	
	30 35	1,268888	-6,034929	32,990734	-85,494825	97,302115	-40,636698	97,5	0,050	
	35 40	1,223286	-4,865554	22,370253	-49,162182	47,198122	-16,750065	97,8	0,044	
	40 45	1,240045	-5,665067	29,639649	-72,848703	78,957051	-31,81597	97,4	0,051	
Moquém	15 20	1,318928	-5,531902	27,920464	-71,145514	80,605236	-33,340947	96,6	0,053	
	20 25	1,329674	-5,745751	28,024082	-67,541327	72,074135	-28,193478	96,5	0,058	
	25 30	1,318432	-6,54838	34,935964	-90,39291	104,49676	-44,520796	96,6	0,060	
	30 35	1,320201	-7,320201	40,319226	-104,673844	120,501436	-50,909791	93,9	0,079	
	35 40	1,23661	-4,662577	19,617193	-38,488833	31,053682	-8,485329	96,7	0,057	
	40 45	1,258723	-5,967236	31,706667	-78,7009	86,132552	-34,877249	97	0,054	

1.3.3 Ajuste das razões de volume

Com relação à equação de volume total, pode-se observar na Tabela 1.11, que as medidas de precisão do modelo de Schumacher e Hall são superiores quando o controle da base de dados foi por sítio.

TABELA 1.11. Parâmetros estimados e medidas de precisão do modelo de Clutter para equação de volume total, para cinco regiões e quatro sítios.

		Parâmetros estimados			
		β_0	β_1	β_2	R^2
Região	Mocambo	0,00003457	1,87286322	1,16406418	92,7
	Ouro Verde	0,00003080	2,20580733	0,80767302	98,8
	Jaguariaíva	0,00007232	1,77864158	1,03175808	99
	Pouso Alto	0,00004801	2,12116087	0,75666920	98
	Moquém	0,00004237	1,82482019	1,14855720	99
Sítio	III	0,00003000	2,2200000	0,79630000	99,2
	IV	0,00003400	1,9400000	1,07630000	97,8
	V	0,00005223	1,93092734	0,96694538	97,7
	VI	0,00003018	2,08150690	0,96718861	98,1

Com relação às razões de volume, pode-se observar nas Tabelas 1.12, 1.13 e 1.14 que suas estatísticas são bastante satisfatórias. Como esperado, o coeficiente de determinação do modelo de Clutter (1980) e o de Amateis e Burkhart (1987) são ligeiramente superiores por sítio em relação aos ajustes por região, pelos mesmos motivos já apresentados para os modelos polinomiais.

A alta correlação obtida dá-se em função de os modelos considerarem como variável dependente os volumes comerciais e como parte das independentes o volume total. Em qualquer circunstância, a correlação entre o volume total e parcial para uma mesma árvore sempre será muito forte, haja vista o controle implícito das fontes de variação que afetam tais variáveis.

TABELA 1.12. Parâmetros estimados e medidas de precisão do modelo de Clutter para equação de volume comercial, por região e sítio.

		Parâmetros estimados			
		α_0	α_1	α_2	R^2
Região	Mocambo	0,05224703	2,94257248	-2,21220236	96,8
	Ouro Verde	3,50539009	3,84897242	-4,19623205	99,4
	Jaguariaíva	0,07200000	4,22000000	-3,48348000	99,4
	Pouso Alto	0,72706735	3,96187775	-3,86125391	99,2
	Moquém	0,61814774	4,15286182	-3,98621905	99,4
Sítio	III	4,72200000	3,8300000	-4,243480000	99,6
	IV	0,47047407	3,97817867	-3,76120094	98,9
	V	0,86265984	3,99354696	-3,96332183	99,4
	VI	0,88129020	3,98555430	-3,96523964	99,5

TABELA 1.13. Parâmetros estimados e medidas de precisão do modelo de Burkhardt para equação de volume comercial até qualquer diâmetro superior, por região e sítio.

		Parâmetros estimados			
		α_0	α_1	α_2	R^2
Região	Mocambo	0,04057758	2,94539917	2,14498236	96,8
	Ouro Verde	3,26305296	3,83403479	4,16321877	99,4
	Jaguariaíva	0,06688087	4,12945097	3,37642295	99,4
	Pouso Alto	0,65681530	3,92354572	3,79790868	99,2
	Moquém	0,61422400	4,15680634	3,98816380	99,4
Sítio	III	4,51196067	3,75775867	4,16553505	99,6
	IV	0,43156407	3,92957047	3,69252133	98,9
	V	0,85805739	3,99256958	3,96097529	99,4
	VI	0,97702462	3,94769997	3,95863483	99,5

TABELA 1.14. Parâmetros estimados e medidas de precisão do modelo de Burkhart para equação de volume comercial até qualquer altura, por região e sítio.

		Parâmetros estimados			R^2
		β_0	β_1	β_2	
Região	Mocambo	1,33252431	2,36016740	2,45190411	99,9
	Ouro Verde	0,93364184	2,43184478	2,40997143	99,9
	Jaguaraiáva	0,88711387	2,50208405	2,46460713	99,9
	Pouso Alto	0,97149097	2,47859407	2,47262518	99,8
	Moquém	0,29204921	2,44442510	2,05788739	99,9
Sítio	III	0,77560255	2,41577120	2,33909862	99,9
	IV	0,54708470	2,44919028	2,26366851	99,8
	V	1,23536801	2,51688338	2,57636456	99,8
	VI	0,46275954	2,40258073	2,14885607	99,8

1.3.4 Eficiência das equações de afilamento na estimativa volumétrica

Os volumes dos sortimentos foram obtidos através das estimativas do diâmetro ao longo do fuste, até obter diâmetro mínimo de 7, 18 e 25 cm, com casca, utilizando-se toras de 2,4 metros. A obtenção dos volumes comerciais deu-se para as quatro classes diamétricas selecionadas nas cinco regiões e quatro sítios, utilizando-se a planilha do Microsoft Excel.

Para cálculo dos volumes comerciais reais, foi utilizada uma rotina computacional, Volsort, em linguagem turbo Basic, desenvolvida por Scolforo (1997b).

Na Tabela 1.15 está ilustrado o percentual de volume por classe diamétrica e por sítio para os quatro modelos testados, podendo-se verificar que, com o aumento da classe diamétrica, há um natural aumento percentual em volume nas diferentes classes de sortimentos.

TABELA 1.15. Percentual de volume/sortimento.

Classe de sortimento	Classe de diâmetro	Polinômio 5º grau	Polinômio de potência fracionária	Modelo Clutter	Modelo Burkhart
7	20 25	97,7	92,5	96,7	94,8
	25 30	95,3	87	88	86,9
	30 35	79,8	94,5	95	88,9
	35 40	96,4	96,3	98,1	97,8
18	20 25	58	48,9	65,8	53,4
	25 30	69,3	69,1	72,9	70,5
	30 35	76,2	84,8	88,7	81,8
	35 40	82,6	77,2	89,9	86,2
25	25 30	39,2	43	49,6	31,5
	30 35	68,4	62	66,7	47,1
	35 40	70,2	68,1	73,3	62,3

Nas Tabelas 1.16, 1.17 e 1.18 são apresentadas as análises de variância para os sortimentos até 7, 18, 25 cm de diâmetro, respectivamente, com o intuito de estudar a influência das classes diamétricas e das regiões nas estimativas dos volumes comerciais.

TABELA 1.16. Análise de variância para o delineamento em blocos casualizados com parcelas subdivididas — volume comercial até 7 cm de diâmetro com casca (m^3) , por classe diamétrica e região.

F. V.	G. L.	SQ	QM	F	Pr > F
CD	3	37,8712	12,62373	151,699	0,0000
Local	4	0,5809	0,14523	1,745	0,1482
Local x CD	12	1,05368	0,08781	1,055	0,4087
Árvores	4	0,28223	0,07056	0,848	0,4991
Erro _a	80	6,65726	0,08322		
Modelos	4	0,09833	0,02458	26,418	0,0000
Modelos x CD	12	0,29422	0,02452	26,349	0,0000
Modelo x Local	16	0,38528	0,02408	25,878	0,0000
Modelo x Local x CD	48	0,88556	0,01845	19,827	0,0000
Erro _b	316	0,29404	0,00093		
Total	499	48,4027			

TABELA 1.17. Análise de variância para o delineamento em blocos casualizados com parcelas subdivididas — volume comercial até 18 cm de diâmetro com casca (m^3), por classe diamétrica e região.

F.V.	G. L.	SQ	QM	F	Pr > F
CD	3	40,04952	13,34984	193,198	0,0000
Local	4	0,81014	0,20254	2,931	0,0257
Local x CD	12	0,60265	0,05022	0,727	0,7213
Árvores	4	0,15244	0,03811	0,552	0,6985
Erro _a	80	5,52795	0,06910		
Modelos	4	0,43857	0,10964	33,649	0,0000
Modelos x CD	12	0,07725	0,00644	1,976	0,0259
Modelo x Local	16	0,33191	0,02074	6,366	0,0000
Modelo x Local x CD	48	0,36812	0,00767	2,354	0,0000
Erro _b	316	1,02967	0,00326		
Total	499	49,38822			

TABELA 1.18. Análise de variância para o delineamento em blocos casualizados com parcelas subdivididas — volume comercial até 25 cm de diâmetro com casca (m^3), por classe diamétrica e região.

F. V.	G. L.	SQ	QM	F	Pr > F
CD	2	10,43554	5,21777	78,704	0,0000
Local	4	0,21331	0,05333	0,804	0,5321
Local x CD	8	0,43776	0,05472	0,825	0,5870
Árvores	2	0,18042	0,09021	1,361	0,2719
Erro _a	30	1,98887	0,06630		
Modelos	4	0,38055	0,09514	41,376	0,0000
Modelos x CD	8	0,07374	0,00922	4,009	0,0003
Modelo x Local	16	0,30322	0,01895	8,242	0,0000
Modelo x Local x CD	32	0,17323	0,00541	2,354	0,0005
Erro _b	118	0,27133	0,00230		
Total	224	14,45798			

A Análise de variância-ANAVA mostrou que há interação significativa entre modelo, região, e classe diamétrica. Segundo os resultados propiciados pelo teste de Scott e Knott, que constam das Tabelas 1.1 a 1.3 do Apêndice 1.1, na maioria das combinações entre classe de diâmetro e região, os modelos não diferenciaram nas estimativas quando comparados à Cubagem rigorosa. Poderia concluir-se que classe diamétrica e região não tiveram influência

sobre as estimativas dos modelos, porém, em função do conjunto de dados, pequenas variações que podem ser observadas nas Tabelas de 1.1 a 1.3 do Apêndice 1.1 explicam a interação significativa entre modelo, local e classe diamétrica.

Avaliando a Tabela 1.1 do Apêndice 1.1, conclui-se que no caso da combinação entre classe de diâmetro e região, na maioria das vezes o modelo de Amateis e Burkhart (1987) foi que apresentou estimativas mais próximas do real. Esta conclusão vem de encontro à estatística dos ajustes apresentada nas Tabelas 1.13 e 1.14, na qual observa-se que este modelo foi o de melhor ajuste entre as razões de volume.

Nas Tabelas 1.2 e 1.3 do Apêndice 1.1, o polinômio de potência fracionária apresentou estimativas mais próximas do real, confirmando a estatística dos ajustes apresentada na Tabela 1.8, na qual se observou que este modelo foi o de melhor ajuste entre os polinômios. Porém, na Tabela 1.3, o modelo de Clutter teve desempenho similar ao polinômio de potência fracionária.

Nas Tabelas 1.19, 1.20 e 1.21 são apresentadas as análises de variância para os sortimentos até 7, 18 e 25 cm de diâmetro mínimo com casca, respectivamente, com o intuito de estudar a influência das classes diamétricas e dos sítios, nas estimativas dos volumes comerciais.

A ANAVA mostra a significância da interação entre modelo, sítio e classe diamétrica.

TABELA 1.19. Análise de variância para o delineamento em blocos casualizados com parcelas subdivididas — volume comercial até 7 cm de diâmetro com casca (m^3) , por classe diamétrica e sítio.

F. V.	G. L.	SQ	QM	F	Pr > F
CD	3	26,60254	8,86751	100,967	0,0000
Sítio	3	0,61904	0,20635	2,350	0,0807
Sítio x CD	9	0,94324	0,10480	1,193	0,3148
Árvores	4	1,29522	0,32380	3,687	0,0092
Erro _a	64	5,62086	0,08783		
Modelos	4	0,15469	0,03867	98,485	0,0000
Modelos x CD	12	0,14856	0,01238	31,528	0,0000
Modelo x Sítio	12	0,31458	0,02622	66,762	0,0000
Modelo x Sítio x CD	36	0,47392	0,01316	33,526	0,0000
Erro _b	252	0,09895	0,00039		
Total	399	39,27159			

TABELA 1.20. Análise de variância para o delineamento em blocos casualizados com parcelas subdivididas — volume comercial até 18 cm de diâmetro com casca (m^3) , por classe diamétrica e sítio.

F. V.	G. L.	SQ	QM	F	Pr > F
CD	3	39,6082	13,20273	173,024	0,0000
Sítio	3	0,23584	0,07861	1,030	0,3852
Sítio x CD	9	0,62558	0,06951	0,911	0,5215
Árvores	4	0,50818	0,12705	1,665	0,1691
Erro _a	64	4,88358	0,07631		
Modelos	4	0,14267	0,03567	108,406	0,0000
Modelos x CD	12	0,03380	0,00282	8,561	0,0000
Modelo x Sítio	12	0,08347	0,00696	21,143	0,0000
Modelo x Sítio x CD	36	0,06068	0,00169	5,123	0,0000
Erro _b	252	0,08291	0,00033		
Total	399	46,26492			

TABELA 1.21. Análise de variância para o delineamento em blocos casualizados com parcelas subdivididas — volume comercial até 25 cm de diâmetro com casca (m^3) , por classe diamétrica e sítio.

F. V.	G. L.	SQ	QM	F	Pr > F
CD	2	16,25901	8,12950	95,794	0,0000
Sítio	3	0,35853	0,11951	1,408	0,2518
Sítio x CD	6	0,15562	0,02594	0,306	0,9310
Árvores	4	0,47544	0,11886	1,401	0,2480
Erro _a	48	4,07347	0,08486		
Modelos	4	0,32527	0,08132	69,841	0,0000
Modelos x CD	8	0,05485	0,00686	5,888	0,0000
Modelo x Sítio	12	0,28235	0,02353	20,209	0,0000
Modelo x Sítio x CD	24	0,12241	0,00510	4,380	0,0000
Erro _b	188	0,21889	0,00116		
Total	299	22,32584			

Analizando o teste de Scott e Knott nas Tabelas 1.1 a 1.3 do Apêndice 1.2, verifica-se que, na maioria das combinações classe de diâmetro e sítio, os modelos diferenciaram nas estimativas quando comparados à Cubagem rigorosa. Os sítios nas classes diamétricas influenciaram nas estimativas em todas as combinações (classe de diâmetro e sítio), o que explica a interação significativa entre modelo, sítio e classe de diâmetro.

Verificando as Tabelas 1.1 e 1.2 do Apêndice 1.2, dentro de cada combinação classe de diâmetro e sítio observa-se que para a maioria delas o modelo de Amateis e Burkhart (1987) apresentou estimativas mais próximas do real, justificando as melhores medidas de precisão obtidas no ajuste destes modelos.(Tabelas 1.13 e 1.14)

Na Tabela 3 do Apêndice 1.2 observa-se que, na maioria das combinações (classe de diâmetro e sítio), os polinômios de 5º grau e de potência fracionária apresentaram estimativas mais precisas quando comparados à Cubagem rigorosa.

1.4 CONCLUSÕES

- Com base nas medidas de precisão e na análise gráfica dos resíduos, o polinômio de potência fracionária e a razão de volume de Amateis e Burkhart (1987) ajustaram-se melhor ao conjunto de dados.
- Os ajustes dos modelos por sítio foram superiores aos ajustes por região.
- Nas estimativas volumétricas para região, verificou-se que não houve influência da combinação entre classe diamétrica e região nas estimativas dos modelos.
- Para as regiões, na classe de sortimento 7 cm, observa-se que o modelo de Amateis e Burkhart propiciou estimativas que mais se aproximaram do real. Porém, para as classes de sortimentos de 18 e 25 cm, o polinômio de potência fracionária foi mais eficiente.
- Nas estimativas volumétricas para sítio, verifica-se que houve influência da combinação entre classe de diâmetro e sítio, nas estimativas dos modelos.
- Para os sítios, nas classes de sortimentos 7 e 18 cm, observa-se que o modelo de Amateis e Burkhart (1987) propiciou estimativas mais próximas do real. Porém, na classe de sortimento 25 cm, os polinômios do 5º grau e de potência fracionária foram mais eficientes.
- No conjunto de dados do presente trabalho, verifica-se que deve-se preferir o ajuste das equações de afilamento, por sítio e classe de diâmetro, além da utilização do modelo de Amateis e Burkhart (1987) ou polinômio de potência fracionária para as estimativas dos sortimentos.

REFERÊNCIAS BIBLIOGRÁFICAS

- AMATEIS, R.L.; BURKHART, H.E. Cubic-foot volume equations for loblolly pine trees in cutover site-prepared plantations. **Southern Journal of Applied Forestry**, Bethesda, v. 11, n. 4, p.190-192, Nov.1987.
- CLUTTER, J.L. Development of taper functions from variable-top merchantable volume equations. **Forest Science**, Washington , v. 26, n. 1, p.117-120, Mar. 1980.
- FIGUEIREDO FILHO, A.; BORDERS, B.E.; HITCH, K.L. Taper equations for *Pinus taeda* plantations in southern Brazil. **Forest Ecology and Management**, Amsterdam, v. 83, p.36-46, 1996a.
- FIGUEIREDO FILHO, A.; BORDERS, B.E.; HITCH, K.L. Number of diameters required to represent stem profiles using interpolated cubic splines. **Canadian Journal of Forest Research**, Ottawa, v.26, p.1113-1121, July 1996b.
- FIGUEIREDO FILHO, A.; OLIVEIRA, C.G.de; MOURA, J.B.de; CUNHA, U.S.da. Conversão de equações de volume em equações de forma compatíveis para *Pinus elliotti*. In: CONGRESSO FLORESTAL BRASILEIRO, 7; CONGRESSO FLORESTAL PANAMERICANO, 1, Curitiba, 1993. **Anais...** Curitiba: SBS/SBEF, 1993. v.2, p. 501-503.
- FURTADO, D.F. **Sistema de análise de variância para dados balanceados - SISVAR**. Lavras: UFLA/DCE, 1997. (Programa para Análises Estatísticas: Disquete).
- GOLFARI, L.; CASER, R.L.; MOURA. V.P.G. **Zoneamento ecológico esquemático para florestamento no Brasil**. Belo Horizonte: Centro de Pesquisa Florestal da Região do Cerrado, 1978. 66p.
- GUIMARÃES. D.P.; LEITE, H.G. Um novo modelo para descrever o perfil do tronco. **Revista Árvore**, Viçosa, v. 16, n.2, p.170-180, maio/ago. 1992.
- HRADETZKY, J. **Analyse und interpretation statistisher abränger keiten. (Biometrische Beiträge zu aktuellen forschungs projekten)**. Baden: Würtemberg Mitteilungen der FVA, 1976. 146p. (Abt. Biometric und Informatik, 21).
- INSTITUTO AGRONÔMICO DO PARANÁ. **Cartas climáticas do estado do Paraná**. Londrina, 1994. 49p. (Documentos, 18).
- LIU, C.J. Log volume estimation with spline approximation. **Forest Science**, Washington, v.26,n.3, p.361-369, Sept. 1980.
- MAACK, R. **Geografia física do estado do Paraná**. 2. ed. Rio de Janeiro: J. Olympo/ Curitiba: Secretaria da Cultura e do Esporte do Paraná, 1981. 450p.

MAX, T.A.; BURKHART, H.E. Segmented polynomial regression applied to taper equations. **Forest Science**, Washington, v.22, n.3, p.283-289, Sept. 1976.

ROSOT, M.A.D. **Estudo comparativo de métodos para avaliação volumétrica por unidade de área em povoamento de *Pinus taeda* L.** Curitiba: UFP, 1989. 163p. (Dissertação - Mestrado em Engenharia Florestal).

SCHOEPPER, W. **Automatisierung des Massen, Sorten und Wertberechnung stenender Waldbestände Schriftenreihe Bad.** [S.l.]: Wurtt-Forstl., 1966. n.p.

SCOLFORO, J.R.S. **Modelo de prognose com simulador de desbaste para *Pinus taeda* e *Pinus elliotti*.** Lavras: UFLA/FAEPE, 1997a. 75p.

SCOLFORO, J.R.S. **Programa para cálculo de volumes comerciais e totais - VOL SORT.** Lavras: UFLA/DCF, 1997b. (Programa para Cálculo de Volumes Parciais ou/e Totais: Disquete).

SCOTT, A.J.; KNOTT, M. A cluster analysis method for grouping means in the analysis of variance. **Biometrics**, Raleigh, v.30, n.3, p. 507-512, Sept. 1974.

SOARES, J.B. **Otimização do sortimento de produtos florestais a partir de funções de distribuição diamétrica e funções de forma.** Viçosa: UFV, 1993. 105p. (Tese - Mestrado em Engenharia Florestal).

APÊNDICE

APÊNDICE 1.1

TABELA 1.1. Resultado da aplicação do teste de Scott e Knott para o volume comercial da árvore até 7 cm de diâmetro com casca, para toras de 2.4 metros de *Pinus taeda*, na região nordeste do Paraná, segundo as classes de diâmetro e região.

Classe de diâmetro (cm)	Regiões	Métodos	Médias (m ³)	Scott e Knott (P>0.05)
20 25	Mocambo	P. quinto grau	0,38384	2
		P. potência fracionária	0,33322	1
		M. Clutter	0,3815	2
		M. Burkhart	0,37024	2
		Cubagem rigorosa	0,37112	2
25 30	Mocambo	P. quinto grau	0,50944	1
		P. potência fracionária	0,51404	1
		M. Clutter	0,52786	1
		M. Burkhart	0,51998	1
		Cubagem rigorosa	0,51722	1
30 35	Mocambo	P. quinto grau	0,90064	1
		P. potência fracionária	0,91274	1
		M. Clutter	0,91464	1
		M. Burkhart	0,90711	1
		Cubagem rigorosa	0,91732	1
35 40	Mocambo	P. quinto grau	1,07744	2
		P. potência fracionária	1,07488	2
		M. Clutter	1,09900	2
		M. Burkhart	1,08887	2
		Cubagem rigorosa	0,82110	1
20 25	Ouro Verde	P. quinto grau	0,38818	1
		P. potência fracionária	0,38768	1
		M. Clutter	0,37260	1
		M. Burkhart	0,37004	1
		Cubagem rigorosa	0,35888	1
25 30	Ouro Verde	P. quinto grau	0,57328	1
		P. potência fracionária	0,57620	1
		M. Clutter	0,54764	1
		M. Burkhart	0,54525	1
		Cubagem rigorosa	0,53164	1

Continua...

TABELA 1.1. Continuação

Classe de diâmetro (cm)	Regiões	Métodos	Médias (m ³)	Scott e Knott (P>0,05)
30 † 35	Ouro Verde	P. quinto grau	0,83616	2
		P. potência fracionária	0,84044	2
		M. Clutter	0,81032	1
		M. Burkhart	0,80622	1
		Cubagem rigorosa	0,78924	1
35 † 40	Ouro Verde	P. quinto grau	1,02576	1
		P. potência fracionária	1,03112	1
		M. Clutter	1,04018	1
		M. Burkhart	1,03501	1
		Cubagem rigorosa	1,01904	1
20 † 25	Jaguariaíva	P. quinto grau	0,27570	1
		P. potência fracionária	0,23876	1
		M. Clutter	0,26994	1
		M. Burkhart	0,26413	1
		Cubagem rigorosa	0,25758	1
25 † 30	Jaguariaíva	P. quinto grau	0,43474	1
		P. potência fracionária	0,44364	1
		M. Clutter	0,46478	1
		M. Burkhart	0,46203	1
		Cubagem rigorosa	0,44406	1
30 † 35	Jaguariaíva	P. quinto grau	0,76422	2
		P. potência fracionária	0,51048	1
		M. Clutter	0,79000	2
		M. Burkhart	0,78453	2
		Cubagem rigorosa	0,77184	2
35 † 40	Jaguariaíva	P. quinto grau	1,11478	1
		P. potência fracionária	1,10574	1
		M. Clutter	1,14776	1
		M. Burkhart	1,14767	1
		Cubagem rigorosa	1,13106	1
20 † 25	Pouso Alto	P. quinto grau	0,33978	1
		P. potência fracionária	0,33716	1
		M. Clutter	0,33548	1
		M. Burkhart	0,33187	1
		Cubagem rigorosa	0,31966	1

Continua...

TABELA 1.1. Continuação

Classe de diâmetro (cm)	Regiões	Métodos	Médias (m ³)	Scott e Knott (P>0,05)
25 30	Pouso Alto	P. quinto grau	0,52128	1
		P. potência fracionária	0,52406	1
		M. Clutter	0,53334	1
		M. Burkhardt	0,52420	1
		Cubagem rigorosa	0,52672	1
30 35	Pouso Alto	P. quinto grau	0,62100	1
		P. potência fracionária	0,75112	2
		M. Clutter	0,76486	2
		M. Burkhardt	0,75886	2
		Cubagem rigorosa	0,75164	2
35 40	Pouso Alto	P. quinto grau	1,07404	1
		P. potência fracionária	1,08676	1
		M. Clutter	1,06036	1
		M. Burkhardt	1,05683	1
		Cubagem rigorosa	1,04702	1
20 25	Moquém	P. quinto grau	0,26884	1
		P. potência fracionária	0,27138	1
		M. Clutter	0,27978	1
		M. Burkhardt	0,27123	1
		Cubagem rigorosa	0,26254	1
25 30	Moquém	P. quinto grau	0,50832	1
		P. potência fracionária	0,51622	1
		M. Clutter	0,5278	1
		M. Burkhardt	0,51915	1
		Cubagem rigorosa	0,5171	1
30 35	Moquém	P. quinto grau	0,25830	1
		P. potência fracionária	0,73616	2
		M. Clutter	0,75692	2
		M. Burkhardt	0,74868	2
		Cubagem rigorosa	0,75468	2
35 40	Moquém	P. quinto grau	1,00952	1
		P. potência fracionária	1,00532	1
		M. Clutter	1,03004	1
		M. Burkhardt	1,02313	1
		Cubagem rigorosa	1,01204	1

TABELA 1.2. Resultado da aplicação do teste de Scott e Knott para o volume comercial da árvore até 18 cm de diâmetro com casca, para toras de 2,4 metros de *Pinus taeda*, na região nordeste do Paraná, segundo as classes de diâmetro e região.

Classe de diâmetro (cm)	Regiões	Métodos	Médias (m ³)	Scott e Knott (P>0,05)
20 25	Mocambo	P. quinto grau	0,15387	1
		P. potência fracionária	0,17066	1
		M. Clutter	0,44481	2
		M. Burkhart	0,14916	1
		Cubagem rigorosa	0,18778	1
25 30	Mocambo	P. quinto grau	0,43069	2
		P. potência fracionária	0,43563	2
		M. Clutter	0,50279	2
		M. Burkhart	0,36489	1
		Cubagem rigorosa	0,44780	2
30 35	Mocambo	P. quinto grau	0,64462	2
		P. potência fracionária	0,64984	2
		M. Clutter	0,69778	2
		M. Burkhart	0,58182	1
		Cubagem rigorosa	0,66594	2
35 40	Mocambo	P. quinto grau	0,95262	1
		P. potência fracionária	0,95134	1
		M. Clutter	0,98904	1
		M. Burkhart	0,90236	1
		Cubagem rigorosa	1,00322	1
20 25	Ouro Verde	P. quinto grau	0,20249	1
		P. potência fracionária	0,16163	1
		M. Clutter	0,19002	1
		M. Burkhart	0,15735	1
		Cubagem rigorosa	0,18402	1
25 30	Ouro Verde	P. quinto grau	0,45140	1
		P. potência fracionária	0,45368	1
		M. Clutter	0,50614	1
		M. Burkhart	0,47524	1
		Cubagem rigorosa	0,47382	1

Continua...

TABELA 1.2. Continuação

Classe de diâmetro (cm)	Regiões	Métodos	Médias (m ³)	Scott e Knott (P>0,05)
30 † 35	Ouro Verde	P. quinto grau	0,80659	1
		P. potência fracionária	0,84605	1
		M. Clutter	0,87731	1
		M. Burkhart	0,85993	1
		Cubagem rigorosa	0,82588	1
35 † 40	Ouro Verde	P. quinto grau	0,93820	1
		P. potência fracionária	0,95009	1
		M. Clutter	1,02691	1
		M. Burkhart	1,00161	1
		Cubagem rigorosa	0,98548	1
20 † 25	Jaguariaíva	P. quinto grau	0,24652	2
		P. potência fracionária	0,13856	1
		M. Clutter	0,27083	2
		M. Burkhart	0,23369	2
		Cubagem rigorosa	0,21166	2
25 † 30	Jaguariaíva	P. quinto grau	0,39115	1
		P. potência fracionária	0,38089	1
		M. Clutter	0,44962	1
		M. Burkhart	0,43614	1
		Cubagem rigorosa	0,39278	1
30 † 35	Jaguariaíva	P. quinto grau	0,69612	2
		P. potência fracionária	0,51440	1
		M. Clutter	0,76328	2
		M. Burkhart	0,73262	2
		Cubagem rigorosa	0,71282	2
35 † 40	Jaguariaíva	P. quinto grau	0,97675	1
		P. potência fracionária	0,98047	1
		M. Clutter	1,05168	1
		M. Burkhart	1,03127	1
		Cubagem rigorosa	0,98876	1
20 † 25	Pouso Alto	P. quinto grau	0,22133	1
		P. potência fracionária	0,21072	1
		M. Clutter	0,23749	1
		M. Burkhart	0,21717	1
		Cubagem rigorosa	0,17910	1

Continua...

TABELA 1.2. Continuação

Classe de diâmetro (cm)	Regiões	Métodos	Médias (m ³)	Scott e Knott (P>0,05)
25 30	Pouso Alto	P. quinto grau	0,43921	1
		P. potência fracionária	0,43669	1
		M. Clutter	0,50555	1
		M. Burkhart	0,47298	1
		Cubagem rigorosa	0,46802	1
30 35	Pouso Alto	P. quinto grau	0,66615	1
		P. potência fracionária	0,69673	1
		M. Clutter	0,73966	1
		M. Burkhart	0,71691	1
		Cubagem rigorosa	0,69254	1
35 40	Pouso Alto	P. quinto grau	0,94869	1
		P. potência fracionária	0,96824	1
		M. Clutter	0,99494	1
		M. Burkhart	0,96516	1
		Cubagem rigorosa	0,95142	1
20 25	Moquém	P. quinto grau	0,15982	1
		P. potência fracionária	0,14855	1
		M. Clutter	0,19367	1
		M. Burkhart	0,11102	1
		Cubagem rigorosa	0,18278	1
25 30	Moquém	P. quinto grau	0,37056	1
		P. potência fracionária	0,33810	1
		M. Clutter	0,43548	2
		M. Burkhart	0,33481	1
		Cubagem rigorosa	0,39092	2
30 35	Moquém	P. quinto grau	0,42467	1
		P. potência fracionária	0,62413	2
		M. Clutter	0,68914	3
		M. Burkhart	0,58315	2
		Cubagem rigorosa	0,64742	3
35 40	Moquém	P. quinto grau	0,72940	1
		P. potência fracionária	0,91018	2
		M. Clutter	0,93158	2
		M. Burkhart	0,84186	2
		Cubagem rigorosa	0,89022	2

TABELA 1.3. Resultado da aplicação do teste de Scott e Knott para o volume comercial da árvore até 25 cm de diâmetro com casca, para toras de 2,4 metros de *Pinus taeda*, na região nordeste do Paraná, segundo as classes de diâmetro e região.

Classe de diâmetro (cm)	Regiões	Métodos	Médias (m ³)	Scott e Knott (P>0,05)
25 30	Mocambo	P. quinto grau	0,17155	1
		P. potência fracionária	0,21921	1
		M. Clutter	0,39581	2
		M. Burkhart	0,14675	1
		Cubagem rigorosa	0,17380	1
30 35	Mocambo	P. quinto grau	0,50220	2
		P. potência fracionária	0,47080	2
		M. Clutter	0,58623	3
		M. Burkhart	0,32542	1
		Cubagem rigorosa	0,46703	2
35 40	Mocambo	P. quinto grau	0,77710	2
		P. potência fracionária	0,76892	2
		M. Clutter	0,86150	3
		M. Burkhart	0,62786	1
		Cubagem rigorosa	0,85837	3
25 30	Ouro Verde	P. quinto grau	0,17132	1
		P. potência fracionária	0,16258	1
		M. Clutter	0,28305	2
		M. Burkhart	0,20584	1
		Cubagem rigorosa	0,17073	1
30 35	Ouro Verde	P. quinto grau	0,47263	1
		P. potência fracionária	0,48083	1
		M. Clutter	0,66881	2
		M. Burkhart	0,64710	2
		Cubagem rigorosa	0,59107	2
35 40	Ouro Verde	P. quinto grau	0,65682	1
		P. potência fracionária	0,62095	1
		M. Clutter	0,70338	1
		M. Burkhart	0,65093	1
		Cubagem rigorosa	0,63087	1

Continua...

TABELA 1.3. Continuação.

Classe de Diâmetro (cm)	Regiões	Métodos	Médias (m ³)	Scott e Knott (P>0,05)
25 30	Jaguariaíva	P. quinto grau	0,21949	1
		P. potência fracionária	0,22477	1
		M. Clutter	0,31794	2
		M. Burkhart	0,25551	1
		Cubagem rigorosa	0,33000	2
30 35	Jaguariaíva	P. quinto grau	0,44899	2
		P. potência fracionária	0,34459	1
		M. Clutter	0,51350	2
		M. Burkhart	0,55440	2
		Cubagem rigorosa	0,51773	2
35 40	Jaguariaíva	P. quinto grau	0,85086	1
		P. potência fracionária	0,82130	1
		M. Clutter	0,88760	1
		M. Burkhart	0,84242	1
		Cubagem rigorosa	0,78227	1
25 30	Pouso Alto	P. quinto grau	0,18730	1
		P. potência fracionária	0,23271	1
		M. Clutter	0,29245	2
		M. Burkhart	0,22057	1
		Cubagem rigorosa	0,27460	2
30 35	Pouso Alto	P. quinto grau	0,55624	2
		P. potência fracionária	0,48593	1
		M. Clutter	0,55657	2
		M. Burkhart	0,47335	1
		Cubagem rigorosa	0,47440	1
35 40	Pouso Alto	P. quinto grau	0,76558	1
		P. potência fracionária	0,77246	1
		M. Clutter	0,78475	1
		M. Burkhart	0,72402	1
		Cubagem rigorosa	0,72513	1
25 30	Moquém	P. quinto grau	0,17677	2
		P. potência fracionária	0,17877	2
		M. Clutter	0,23213	3
		M. Burkhart	0,10212	1
		Cubagem rigorosa	0,28170	3

Continua...

TABELA 1.3. Continuação

Classe de diâmetro (cm)	Regiões	Métodos	Médias (m ³)	Scott e Knott (P>0,05)
30 † 35	Moquém	P. quinto grau	0,34605	2
		P. potência fracionária	0,32390	2
		M. Clutter	0,51051	4
		M. Burkhart	0,25387	1
		Cubagem rigorosa	0,41570	3
35 † 40	Moquém	P. quinto grau	0,80276	2
		P. potência fracionária	0,76176	2
		M. Clutter	0,79479	2
		M. Burkhart	0,58288	1
		Cubagem rigorosa	0,75757	2

APÊNDICE 1.2

TABELA 1.1. Resultado da aplicação do teste de Scott e Knott para o volume comercial da árvore até 7 cm de diâmetro com casca, para toras de 2,4 metros de *Pinus taeda*, na região nordeste do Paraná, segundo as classes de diâmetro e sítios.

Classe de diâmetro (cm)	Sítios	Métodos	Médias (m ³)	Scott e Knott (P>0,05)
20 25	III	P. quinto grau	0,34850	1
		P. potência fracionária	0,74820	2
		M. Clutter	0,33552	1
		M. Burkhart	0,33514	1
		Cubagem rigorosa	0,31530	1
25 30	III	P. quinto grau	0,46180	1
		P. potência fracionária	0,46394	1
		M. Clutter	0,46126	1
		M. Burkhart	0,45704	1
		Cubagem rigorosa	0,44980	1
30 35	III	P. quinto grau	0,71486	2
		P. potência fracionária	0,72928	2
		M. Clutter	0,70362	1
		M. Burkhart	0,69808	1
		Cubagem rigorosa	0,69180	1
35 40	III	P. quinto grau	1,10336	2
		P. potência fracionária	1,24758	3
		M. Clutter	1,05298	1
		M. Burkhart	1,05410	1
		Cubagem rigorosa	1,03800	1
20 25	IV	P. quinto grau	0,44370	2
		P. potência fracionária	0,35924	1
		M. Clutter	0,34314	1
		M. Burkhart	0,33074	1
		Cubagem rigorosa	0,33054	1

Continua...

TABELA 1.1. Continuação

Classe de diâmetro (cm)	Sítios	Métodos	Médias (m ³)	Scott e Knott (P>0,05)
25 30	IV	P. quinto grau	0,59634	1
		P. potência fracionária	0,59782	1
		M. Clutter	0,59908	1
		M. Burkhart	0,59040	1
		Cubagem rigorosa	0,58276	1
30 35	IV	P. quinto grau	0,90864	1
		P. potência fracionária	0,91790	1
		M. Clutter	0,94044	1
		M. Burkhart	0,92862	1
		Cubagem rigorosa	0,93076	1
35 40	IV	P. quinto grau	1,05562	1
		P. potência fracionária	1,05720	1
		M. Clutter	1,06032	1
		M. Burkhart	1,05230	1
		Cubagem rigorosa	1,04328	1
20 25	V	P. quinto grau	0,33326	1
		P. potência fracionária	0,33934	1
		M. Clutter	0,32958	1
		M. Burkhart	0,32520	1
		Cubagem rigorosa	0,31948	1
25 30	V	P. quinto grau	0,49384	1
		P. potência fracionária	0,49950	1
		M. Clutter	0,50676	1
		M. Burkhart	0,49858	1
		Cubagem rigorosa	0,49046	1
30 35	V	P. quinto grau	0,79724	1
		P. potência fracionária	0,80294	1
		M. Clutter	0,80034	1
		M. Burkhart	0,79716	1
		Cubagem rigorosa	0,77252	1
35 40	V	P. quinto grau	1,05560	1
		P. potência fracionária	1,05818	1
		M. Clutter	1,08894	2
		M. Burkhart	1,08494	2
		Cubagem rigorosa	1,03828	1

Continua...

TABELA 1.1. Continuação

Classe de diâmetro (cm)	Sítios	Métodos	Médias (m ³)	Scott e Knott (P>0,05)
20 25	VI	P. quinto grau	0,32302	1
		P. potência fracionária	0,33102	1
		M. Clutter	0,44515	2
		M. Burkhart	0,32830	1
		Cubagem rigorosa	0,32162	1
25 30	VI	P. quinto grau	0,46732	1
		P. potência fracionária	0,47722	1
		M. Clutter	0,49448	2
		M. Burkhart	0,51216	2
		Cubagem rigorosa	0,47204	1
30 35	VI	P. quinto grau	0,76804	2
		P. potência fracionária	0,75490	1
		M. Clutter	0,74513	1
		M. Burkhart	0,77996	2
		Cubagem rigorosa	0,77592	2
35 40	VI	P. quinto grau	0,93532	2
		P. potência fracionária	0,94396	2
		M. Clutter	0,93324	2
		M. Burkhart	0,93042	2
		Cubagem rigorosa	0,77310	1

TABELA 1.2. Resultado da aplicação do teste de Scott e Knott para o volume comercial da árvore até 18 cm de diâmetro com casca, para toras de 2,4 metros de *Pinus taeda*, na região nordeste do Paraná, segundo as classes de diâmetro e sítios.

Classe de diâmetro (cm)	Sítios	Métodos	Médias (m ³)	Scott e Knott (P>0,05)
20 25	III	P. quinto grau	0,19548	3
		P. potência fracionária	0,19912	3
		M. Clutter	0,16139	2
		M. Burkhart	0,12876	1
		Cubagem rigorosa	0,22246	4
25 30	III	P. quinto grau	0,37001	2
		P. potência fracionária	0,37275	2
		M. Clutter	0,38572	2
		M. Burkhart	0,34892	1
		Cubagem rigorosa	0,34112	1
30 35	III	P. quinto grau	0,64173	1
		P. potência fracionária	0,63562	1
		M. Clutter	0,70198	3
		M. Burkhart	0,67900	3
		Cubagem rigorosa	0,66240	2
35 40	III	P. quinto grau	1,08243	2
		P. potência fracionária	1,08162	2
		M. Clutter	1,08651	2
		M. Burkhart	1,05298	1
		Cubagem rigorosa	1,03470	1
20 25	IV	P. quinto grau	0,22235	3
		P. potência fracionária	0,19931	2
		M. Clutter	0,25388	4
		M. Burkhart	0,13419	1
		Cubagem rigorosa	0,18640	2
25 30	IV	P. quinto grau	0,42899	2
		P. potência fracionária	0,45196	3
		M. Clutter	0,51815	4
		M. Burkhart	0,38880	1
		Cubagem rigorosa	0,46328	3

Continua...

TABELA 1.2. Continuação

Classe de diâmetro (cm)	Sítios	Métodos	Médias (m ³)	Scott e Knott (P>0,05)
30 † 35	IV	P. quinto grau	0,77191	2
		P. potência fracionária	0,78330	2
		M. Clutter	0,85013	4
		M. Burkhart	0,72324	1
		Cubagem rigorosa	0,80130	3
35 † 40	IV	P. quinto grau	1,03744	1
		P. potência fracionária	1,06556	2
		M. Clutter	1,11521	3
		M. Burkhart	1,02117	1
		Cubagem rigorosa	1,07642	2
20 † 25	V	P. quinto grau	0,21858	1
		P. potência fracionária	0,22123	1
		M. Clutter	0,25297	2
		M. Burkhart	0,20510	1
		Cubagem rigorosa	0,20658	1
25 † 30	V	P. quinto grau	0,39302	1
		P. potência fracionária	0,39890	1
		M. Clutter	0,43373	2
		M. Burkhart	0,39603	1
		Cubagem rigorosa	0,38500	1
30 † 35	V	P. quinto grau	0,65739	1
		P. potência fracionária	0,67545	1
		M. Clutter	0,72688	2
		M. Burkhart	0,68168	1
		Cubagem rigorosa	0,67344	1
35 † 40	V	P. quinto grau	1,02264	1
		P. potência fracionária	1,04119	1
		M. Clutter	1,10930	3
		M. Burkhart	1,08664	2
		Cubagem rigorosa	1,07174	2
20 † 25	VI	P. quinto grau	0,14739	1
		P. potência fracionária	0,13589	1
		M. Clutter	0,18637	2
		M. Burkhart	0,14734	1
		Cubagem rigorosa	0,14828	1

Continua...

TABELA 1.2. Continuação

Classe de diâmetro (cm)	Sítios	Métodos	Médias (m ³)	Scott e Knott (P>0,05)
25 30	VI	P. quinto grau	0,45400	1
		P. potência fracionária	0,48015	2
		M. Clutter	0,50205	2
		M. Burkhart	0,49757	2
		Cubagem rigorosa	0,45732	1
30 35	VI	P. quinto grau	0,68355	1
		P. potência fracionária	0,67941	1
		M. Clutter	0,72987	2
		M. Burkhart	0,69494	1
		Cubagem rigorosa	0,69878	1
35 40	VI	P. quinto grau	0,85677	1
		P. potência fracionária	0,94904	3
		M. Clutter	0,95554	3
		M. Burkhart	0,92725	2
		Cubagem rigorosa	0,92214	2

TABELA 1.3. Resultado da aplicação do teste de Scott e Knott para o volume comercial da árvore até 25 cm de diâmetro com casca, para toras de 2,4 metros de *Pinus taeda*, na região nordeste do Paraná, segundo as classes de diâmetro e sítios.

Classe de diâmetro (cm)	Sítios	Métodos	Médias (m ³)	Scott e Knott (P>0,05)
25 30	III	P. quinto grau	0,23106	2
		P. potência fracionária	0,17419	1
		M. Clutter	0,19236	1
		M. Burkhart	0,17101	1
		Cubagem rigorosa	0,27130	2
30 35	III	P. quinto grau	0,37579	2
		P. potência fracionária	0,32925	1
		M. Clutter	0,45505	3
		M. Burkhart	0,40224	2
		Cubagem rigorosa	0,38358	2
35 40	III	P. quinto grau	0,82295	2
		P. potência fracionária	0,74972	1
		M. Clutter	0,81788	2
		M. Burkhart	0,72757	1
		Cubagem rigorosa	0,74918	1
25 30	IV	P. quinto grau	0,23869	2
		P. potência fracionária	0,19883	1
		M. Clutter	0,31990	3
		M. Burkhart	0,19130	1
		Cubagem rigorosa	0,33837	3
30 35	IV	P. quinto grau	0,50739	2
		P. potência fracionária	0,48852	2
		M. Clutter	0,60157	3
		M. Burkhart	0,33162	1
		Cubagem rigorosa	0,50464	2
35 40	IV	P. quinto grau	0,86396	3
		P. potência fracionária	0,82476	2
		M. Clutter	0,92075	4
		M. Burkhart	0,63814	1
		Cubagem rigorosa	0,78738	2

Continua...

TABELA 1.3. Continuação

Classe de diâmetro (cm)	Sítios	Métodos	Médias (m ³)	Scott e Knott (P>0,05)
25 30	V	P. quinto grau	0,22553	1
		P. potência fracionária	0,25936	1
		M. Clutter	0,29988	2
		M. Burkhart	0,24730	1
		Cubagem rigorosa	0,23372	1
30 35	V	P. quinto grau	0,49556	2
		P. potência fracionária	0,45442	1
		M. Clutter	0,52462	2
		M. Burkhart	0,45755	1
		Cubagem rigorosa	0,45714	1
35 40	V	P. quinto grau	0,83479	1
		P. potência fracionária	0,80867	1
		M. Clutter	0,90186	2
		M. Burkhart	0,83419	1
		Cubagem rigorosa	0,88262	2
25 30	VI	P. quinto grau	0,16404	1
		P. potência fracionária	0,16940	1
		M. Clutter	0,17781	1
		M. Burkhart	0,16987	1
		Cubagem rigorosa	0,16676	1
30 35	VI	P. quinto grau	0,49695	2
		P. potência fracionária	0,44791	1
		M. Clutter	0,55243	3
		M. Burkhart	0,50083	2
		Cubagem rigorosa	0,44998	1
35 40	VI	P. quinto grau	0,68517	1
		P. potência fracionária	0,66229	1
		M. Clutter	0,80140	3
		M. Burkhart	0,75187	2
		Cubagem rigorosa	0,70858	1

CAPÍTULO 2

**EFICIÊNCIA DAS EQUAÇÕES DE AFILAMENTO PARA REPRESENTAR O PERFIL
DO TRONCO DE *Pinus taeda***

RESUMO

FISCHER, Fernando. **Eficiência das equações de afilamento para representar o perfil do tronco de *Pinus taeda*. In: - Eficiência dos modelos polinomiais e das razões de volume na estimativa volumétrica dos sortimentos e do perfil do fuste de *Pinus taeda*.** Lavras: UFLA, 1997. Cap.2. 167p. (Dissertação - Mestrado em Engenharia Florestal)

O presente trabalho teve como objetivos: avaliar a eficiência das razões de volume compatíveis com sua respectiva função de afilamento, os modelos polinomiais de potência inteira e o de potência fracionária, e a influência das classes de diâmetro, produtividade dos sítios e diferentes regiões na eficiência dos ajustes para representação do perfil de *Pinus taeda* na região nordeste do Paraná. Os dados são provenientes da Empresa Pisa Papel Imprensa S.A. situada no município de Jaguariaíva, no Estado do Paraná. Foram cubadas 304 árvores, das quais foram medidas as alturas relativas, através do penta-prisma sobre tripé com base regulável e com suunto acoplado. Nas proximidades de cada árvore cubada foi lançada uma parcela e medida a altura das árvores dominantes. Pôde-se, assim, efetuar a classificação de sítio no local de cada cubagem. Para a classificação de sítio foi utilizada a equação desenvolvida por Scolforo (1997), sendo os dados agrupados em classes de diâmetro, em intervalos de 5 cm. Para avaliação da eficiência das estimativas do perfil do fuste, foram utilizadas as seguintes estatísticas: desvio (Bias); desvio padrão das diferenças; soma do quadrado do resíduo relativo; porcentagem dos resíduos. Verificou-se que o ajuste das equações de afilamento devem ser preferidos por sítio e classe de diâmetro, além da utilização do modelo polinomial de potência fracionária para as estimativas do perfil do fuste.

Palavras-chave: funções de afilamento, perfil do tronco, *Pinus taeda*

ABSTRACT

EFFICIENCY OF TAPER EQUATIONS TO DESCRIBE STEM PROFILE OF *Pinus taeda* WOOD. IN: EFFICIENCY OF POLYNOMIAL MODELS AND VOLUME RATIO FOR VOLUMETRIC ESTIMATE OF ASSORTMENTS AND FOR STEM PROFILE DESCRIPTION OF *Pinus taeda*.

The objectives of the present research work were: to evaluate the efficiency of compatible volume ratios with its respective taper functions, polynomial models with entire powers, and fractional powers, as well as the influence of diameter classes, sites and administrative regions on the fitting efficiency to represent the stem profile of *Pinus taeda*. The data came from the enterprise “Pisa Papel Impresa S.A.” located in the Jaguariaíva country, northeastern of the Paraná state. Diameters at relative heights along the stems of 304 trees were measured by using a penta prism caliper on tripod with regulated base and with a compled suunto hypsometer. A sampling plot was instaled in the vicinity of every cubed tree, from which dominant heights were measured for site classification, by using the equations developed by Scolforo (1997). Then the data were grouped in diameter classes with 5 cm intervals the following statistics were used to evaluate the efficiency of stem profile estimates: bias, standart deviation of the differences; sum of the relative residual square; residual percentage. It was verified that the taper equations fitting, should be done by site and by diameter classes, beside the utilization of polynomial model with fractional power for estimates of the stem profile.

Key words: taper functions, stem profile, *Pinus taeda*

2.1 INTRODUÇÃO

Muitos pesquisadores têm envidado esforços para obter um modelo que descreva com precisão o perfil de fuste de árvores, na expectativa de estimar o diâmetro a qualquer altura ao longo do fuste e a altura até qualquer diâmetro especificado. Este dado permite quantificar o número de toras com bitola e comprimentos pré-definidos ou os múltiplos produtos da madeira. Normalmente, por meio da integração das funções de afilamento obtém-se expressões que permitem calcular o volume destes múltiplos produtos da madeira e mesmo de toda a árvore.

O primeiro trabalho para descrever o perfil do tronco foi feito por Hojer em 1903 e, após este, muitos outros modelos foram propostos. No Brasil, as funções de afilamento têm sido usadas desde 1970, e vários modelos foram utilizados para descrever o perfil do tronco no Brasil, podendo-se citar os trabalhos de Silva (1982); Ahrens (1980); Borges (1981); Jorge (1982); Machado e Schopfer (1982); Campos e Ribeiro (1982); Guimarães (1982); Schneider (1986); Lima (1986); Campos et al. (1987); Friedl (1989); Rosot (1989); Guimarães e Leite (1992); Soares (1993); Campos, Leite e Oliveira (1993); Figueiredo Filho et al. (1993); Jorge e Lara (1993); Garcia, Leite e Yared (1993); Figueiredo Filho, Borders e Hitch (1996), dentre outros. De maneira geral, os trabalhos foram desenvolvidos buscando verificar, por meio de análise comparativa, qual modelo foi mais eficiente.

A aplicação destas funções de afilamento é um poderoso instrumento para avaliar biológica e economicamente o maciço florestal e a resposta às práticas de manejo executadas, já que permite valorar de maneira detalhada quanto renderá o povoamento florestal.

O seu uso em escala comercial, no entanto, está condicionado à existência de softwares que tornem rápido o processamento do inventário florestal, com o objetivo de estimar

os múltiplos produtos da madeira. Outro elemento de grande importância está em conhecer como a função de afilamento estima a base, o meio e o topo da árvore, principalmente para diferentes condições de ajuste.

Segundo Figueiredo Filho, Borders e Hitch (1996), o polinômio do 5º grau tem sido o mais usado para descrever o perfil de *Pinus Taeda* e *Pinus elliotti* na região sul do Brasil. O uso cada vez mais diversificado da madeira de *Pinus* sp nesta região para celulose, madeira serrada e madeira laminada, em diferentes bitolas e comprimentos, estimula cada vez mais o uso das funções de afilamento. No entanto, é necessário identificar quais variáveis podem auxiliar a melhorar a eficiência destas estimativas. Estabeleceu-se, então, como objetivos deste trabalho, avaliar a eficiência das razões de volume compatíveis com a função de afilamento, os modelos polinomiais de potência inteira e o de potência fracionária, e a influência das classes de diâmetro, da produtividade dos sítios e das diferentes regiões na eficiência dos ajustes para representar o perfil de *Pinus taeda* na região nordeste do Paraná.

2.2 MATERIAL E MÉTODOS

2.2.1 Localização e características da área

A área em estudo, de propriedade da Empresa Pisa Papel Imprensa S.A., está situada no município de Jaguariaíva, estado do Paraná, entre os paralelos 24° e 24° 30' de latitude sul e os meridianos 49° 30' e 50° de longitude oeste de Greenwich, com altitude variando entre 700 e 1100 m.

Segundo a classificação de Koeppen, o clima da região é do tipo Cfb, ou seja, subtropical quente-temperado, caracterizado por apresentar temperatura média inferior a 22°C no mês mais quente do ano. O mês mais chuvoso é janeiro, cuja precipitação média é de 225,4 mm e não há estação seca definida. Segundo os dados da Estação Meteorológica de Jaguariaíva, a temperatura média anual da região é de 17,7°C, sendo que a do mês mais quente em torno de 21,3°C e a do mês mais frio, 13,4°C. Ocorrem algumas geadas por ano (Maack, 1981).

A vegetação original é denominada campo cerrado (estope arbustiva de gramínea baixa), mas a região hoje concentra inúmeras áreas reflorestadas que se baseiam principalmente em *Pinus taeda*, *Pinus elliotti*, e *Araucaria angustifolia*.

O solo predominante na região é arenoso com afloramentos de rocha e relevo variando de ondulado a fortemente ondulado. (Instituto Agronômico do Paraná, 1994; Golfari, Caser, Moura, 1978).

2.2.2 Cubagem rigorosa

Foram cubadas 304 árvores de *Pinus taeda* distribuídas em cinco regiões da empresa, nas quais foram medidos os diâmetros nas alturas relativas de 1%, 2%, 3%, 4%, 5%, 1,3 metros do solo, 10%, 15%, 25%, 35%, ..., 95% da altura total da árvore. Para as alturas relativas de 1%, 2%, ..., 5%, bem como a 1,30 m do solo, os diâmetros foram medidos com fita métrica. Para as demais alturas utilizou-se o penta-prisma sobre tripé com base regulável e com sunto acoplado, sem que a árvore tivesse que ser abatida.

2.2.3 Classificação de sítio

Na proximidade de cada árvore cubada foi instalada uma parcela de 15x20 metros, com objetivo de identificar a altura dominante. Foi mensurada a altura das três árvores mais grossas da parcela, resultando na altura média das árvores dominantes. De posse de cada par de altura dominante-idade foi possível identificar o índice de sítio do local onde foi cubada cada árvore. A equação de sítio utilizada foi desenvolvida por Scolforo (1997) e apresentou coeficiente de determinação (R^2) igual a 97,48% e erro padrão residual (syx) igual a 1,187 metros. A equação é:

$$Hd = 52.3735174 \cdot \left(\frac{S}{52.3735174} \right)^{\frac{\ln(1-\exp(-0.0275482I))}{\ln(1-\exp(-0.0275482Iref))}}$$

A Tabela 2.1 é apresenta a distribuição das árvores cubadas por classe e índice de sítio.

TABELA 2.1. Distribuição das árvores por classe diamétrica nos diferentes sítios.

Classe diamétrica	I	II	III	IV	V	VI
10 - 15	0	0	3	1	0	0
15 - 20	0	3	12	8	5	2
20 - 25	0	2	23	18	12	16
25 - 30	0	1	14	16	12	15
30 - 35	0	1	8	16	12	14
35 - 40	0	1	11	17	12	8
40 - 45	0	2	4	16	7	2
45 - 50	0	0	1	3	1	1
50 - 55	0	0	1	2	0	0
55 - 60	0	0	1	0	0	0
TOTAL	0	10	78	97	61	58

2.2.4 Distribuição diamétrica

Na Tabela 2.2 estão apresentadas por classe diamétrica e por região de estudo, a frequência das árvores cubadas rigorosamente.

TABELA 2.2. Distribuição das árvores por classe diamétrica e região.

Classe diamétrica	Mocambo	Ouro Verde	Jaguaráiva	Pouso Alto	Moquém
10 - 15	0	0	2	0	2
15 - 20	3	5	8	2	12
20 - 25	15	13	13	12	18
25 - 30	13	14	15	11	5
30 - 35	12	10	12	12	5
35 - 40	13	9	8	13	6
40 - 45	6	7	4	9	5
45 - 50	0	2	2	1	1
50 - 55	0	2	1	0	0
55 - 60	0	1	0	0	0
TOTAL	62	63	65	60	54

2.2.5 Arquivos para ajuste dos polinômios e das razões de volume

Foram estruturados dois arquivos de dados: um que possibilitou os ajustes por classes de diâmetro do polinômio do 5º grau e do modelo de potência fracionária, e outro, elaborado após a obtenção dos volumes totais e comerciais até um diâmetro mínimo de 7; 18; 25 e 35 cm com casca, assim como das respectivas alturas. A partir desse arquivo, pôde-se obter as funções que expressam a razão entre volumes, através das quais também chega-se às funções de afilamento.

2.2.6 Funções de afilamento

Foram utilizadas as funções de afilamento do 5º grau desenvolvidas por Schopfer (1966) e a função de potência fracionária apresentada por Hradetzky em 1976. Utilizou-se também as razões de volume compatíveis, conforme apresentado por Clutter (1980) e Amateis e Burkhart (1987).

Nos modelos polinomiais, a variável dependente é expressa pela razão entre o diâmetro tomado ao longo do fuste (d_i) e o diâmetro a 1,30 metros (D) ou diâmetro a 10% da altura ($D_{0,1}$), ou seja $\left(\frac{d_i}{D}\right)$. Já as variáveis independentes caracterizam-se pela razão entre a altura tomada ao longo do fuste (h_i) e a altura total (H) elevada a potência π , ou seja $\left(\frac{h_i^{\pi}}{H^{\pi}}\right)$.

No caso do polinômio do 5º grau, estas potências são 1; 2; 3; 4 e 5.

O modelo de potência fracionária deve ser construído para cada situação de trabalho. Neste estudo foi utilizado o método “Stepwise”, em que foram consideradas, no modelo

cheio, as seguintes potências: 0,005; 0,09; 0,08; 0,07; 0,06; 0,05; 0,04; 0,03; 0,02; 0,01; 0,9; 0,8; 0,7; 0,6; 0,5; 0,4; 0,3; 0,2; 0,1; 1; 2; 3; 4; 5; 10; 15; 20 e 25. A expectativa é que as potências (π) fracionárias e inteiras para a razão altura ao longo do fuste (h_i) e a altura total (H), ou seja, $\left(\frac{h_i^{\pi}}{H^{\pi}}\right)$ possibilitem representar melhor o perfil do topo da árvore. As potências unitárias representam melhor a seção intermediária, as potências com grandes dezenas a base da árvore, e as potências fracionárias o topo da árvore, conforme pode-se visualizar na Figura 2.1.

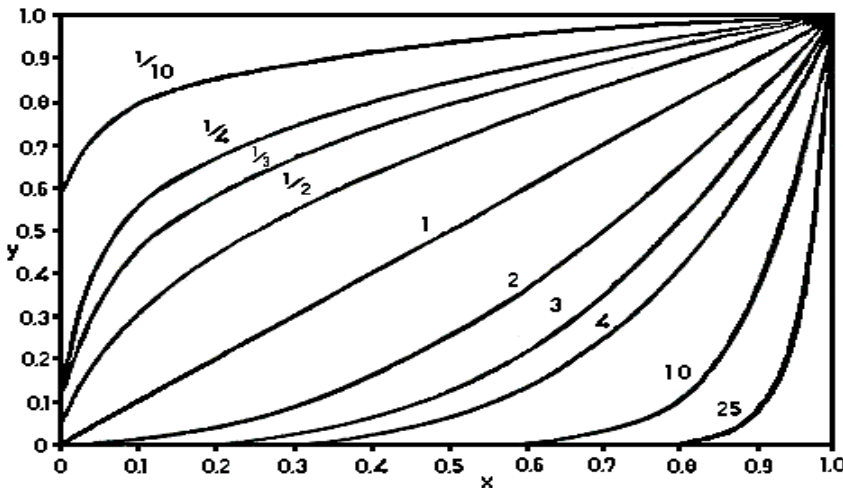


FIGURA 2.1. Efeito das potências na forma da função de afilamento.

No caso do modelo de Clutter (1980), o fundamento é que uma equação de volume comercial de topo variável define a função de afilamento, considerando o modelo de Schumacher e Hall ($V = \beta_0 D^{\beta_1} H^{\beta_2} + e_i$) e a razão de volume [$V_C = V(1 - \alpha_0 d^{\alpha_1} D^{\alpha_2})$]. Aplicando o conceito de integral e derivada obtém-se a função de afilamento que propicia obter a altura correspondente

a qualquer diâmetro e o diâmetro a qualquer altura. Tal detalhamento é encontrado em Clutter (1980).

No caso do modelo de Amateis e Burkhart (1987), são utilizadas duas razões de volume, sendo que uma das razões $[V_c = V \left(1 - \alpha_0 \frac{d^{\alpha_1}}{D^{\alpha_2}} \right)]$ é função do diâmetro e a outra $[V_c = V_t \left(1 - \beta_0 \frac{(H-h)^{\beta_1}}{H^{\beta_2}} \right)]$ é função da altura. Igualando as funções $\alpha_0 \frac{d^{\alpha_1}}{D^{\alpha_2}} = \beta_0 \frac{(H-h)^{\beta_1}}{H^{\beta_2}}$ e isolando o d_i , tem-se a função de afilamento que propicia obter o diâmetro a qualquer altura. Se for isolada a variável altura, obtém-se a função que propicia obter a altura correspondente a qualquer diâmetro.

Na Tabela 2.3 estão apresentadas as formas de ajustes e as funções de afilamento que propiciam implementar o estudo em questão.

O ajuste das funções de afilamento polinomiais foi efetuado por classe diamétrica para cada região considerada neste estudo e também para cada classe de sítio. Já o ajuste das razões de volume e a equação de volume total foram efetuadas para região e também por classe de sítio.

TABELA 2.3. Formas de ajuste e de uso dos polinômios e razões de volume.

Modelo	Forma de:
Polinômio do 5º grau	Ajuste $\frac{d_i}{D} = \beta_0 + \beta_1\left(\frac{h_i}{H}\right) + \beta_2\left(\frac{h_i^2}{H^2}\right) + \beta_3\left(\frac{h_i^3}{H^3}\right) + \beta_4\left(\frac{h_i^4}{H^4}\right) + \beta_5\left(\frac{h_i^5}{H^5}\right)$
	Uso $d_i = D[\beta_0 + \beta_1\left(\frac{h_i}{H}\right) + \beta_2\left(\frac{h_i^2}{H^2}\right) + \beta_3\left(\frac{h_i^3}{H^3}\right) + \beta_4\left(\frac{h_i^4}{H^4}\right) + \beta_5\left(\frac{h_i^5}{H^5}\right)]$
Polinômio de potência fracionária	Ajuste $\frac{d_i}{D} = \beta_0 + \beta_1\left(\frac{h_i^{p1}}{H^{p1}}\right) + \beta_2\left(\frac{h_i^{p2}}{H^{p2}}\right) + \dots + \beta_n\left(\frac{h_i^{pn}}{H^{pn}}\right) + e_i$
	Uso $d_i = D[\beta_0 + \beta_1\left(\frac{h_i^{p1}}{H^{p1}}\right) + \beta_2\left(\frac{h_i^{p2}}{H^{p2}}\right) + \dots + \beta_n\left(\frac{h_i^{pn}}{H^{pn}}\right) + e_i]$
Razão de volume de Clutter	Ajuste $V = \beta_0 D^{\beta_1} H^{\beta_2} + e_i$ $V_c = V(1 - \alpha_0 d^{\alpha_1} D^{\alpha_2})$
	Uso $d = \left\{ K \frac{1}{\beta_0 D^{\beta_1} \cdot H^{\beta_2}} \cdot \frac{1}{\alpha_0} \cdot D^{-\alpha_2} \left[\frac{\alpha_1 - 2}{\alpha_1} \right] (H - h) \right\}^{\frac{1}{(\alpha_0 - 2)}}$ ou $h = H - d^{\alpha_1 - 2} \cdot K^{-1} \cdot \beta_0 D^{\beta_1} H^{\beta_2} \cdot \alpha_0 D^{\alpha_2} \left[\frac{\alpha_1}{\alpha_1 - 2} \right]$
Razão de volume Amateis e Burkhart	Ajuste $V_c = V \left(1 - \alpha_0 \frac{d^{\alpha_1}}{D^{\alpha_2}} \right)$ $V_c = V \left(1 - \beta_0 \frac{(H - h)^{\beta_1}}{H^{\beta_2}} \right)$
	Uso $d = \left[\frac{\beta_0 D^{\alpha_2} (H - h)^{\beta_1}}{\alpha_0 H^{\beta_2}} \right]^{\frac{1}{\alpha_1}}$ ou $h = H - \left[\frac{\alpha_0 H^{\beta_2} d^{\alpha_1}}{\beta_0 \cdot D^{\alpha_2}} \right]^{\frac{1}{\beta_1}}$

em que

 V = volume total da árvore V_c = volume correspondente a qualquer diâmetro mínimo pré-estabelecido ao longo do fuste H = altura total da árvore h_i = altura correspondente a qualquer diâmetro (d_i) ao longo do fuste, no caso dos modelos polinomiais e ao diâmetro mínimo ao longo do fuste previamente estabelecido, no caso das razões de volume d_i = diâmetro correspondente a qualquer altura (h_i) ao longo do fuste, no caso dos modelos polinomiais e às alturas vinculadas aos diâmetros mínimos comerciais previamente estabelecidos, no caso das razões de volume α_i e β_i = parâmetros a serem estimados

2.2.7 Eficiência das equações de afilamento para representar o perfil do tronco, por classe de diâmetro, região e sítio

Para avaliar a eficiência destas estimativas, foram adotados os critérios utilizados em Figueiredo Filho, Borders e Hitch (1996), conforme apresentado na Tabela 2.4. Estes cálculos foram realizados na planilha do Microsoft Excel. Foi utilizado um número semelhante de repetições, que será de cinco árvores por classe de diâmetro, em cada região e sítio.

Devido ao pequeno número de repetições nas classes diamétricas de 10 a 15, 15 a 20, 40 a 45, 45 a 50, 50 a 55, 55 a 60, estas foram eliminadas de nosso estudo.

TABELA 2.4. Estatísticas utilizadas para avaliação das estimativas dos diâmetros.

Desvio (D)	$(\sum \text{Diff}_i)/N$
Desvio padrão das diferenças (SD)	$[\sum (\text{Diff}_i - D)^2 / (N-1)]^{0.5}$
Soma do quadrado do resíduo relativo (SSRR)	$\sum (\text{Diff}_i/d_i)^2$
Porcentagem dos resíduos (RP)	$\sum (\text{Diff}_i/d_i)100/N$

Onde:

$\text{Diff}_i = (d_i - d_{\text{e}_i})$ é o desvio dos diâmetros em cada iésima posição no fuste (1%, 2%, ..., 95%)
 d_i = diâmetro da árvore, na posição i no fuste
 d_{e_i} = diâmetro estimado para a posição i no fuste
 N = número de árvores

2.3 RESULTADOS E DISCUSSÃO

2.3.1 Ajuste do polinômio de potência fracionária por classe diamétrica, região e sítio

As Tabelas 2.5 e 2.6 apresentam o ajuste para estes polinômios, respectivamente, para diferentes classes de sítio e regiões, notando-se a tendência de predominar potências fracionárias e inteiras nos modelos construídos. Pode-se observar que os primeiros parâmetros são potências fracionárias e os parâmetros finais dos modelos são potências inteiras. Os modelos com quatro coeficientes apresentaram, na maioria dos casos, a potência 0,005 no segundo parâmetro, potências decimais para o terceiro parâmetro, unitárias para o quarto e de dezenas no último parâmetro. Nestes casos, as potências fracionárias estão moldando melhor a ponta da

árvore e as potências maiores a base da árvore. Pôde-se constatar que, para todas as situações testadas, as medidas de precisão estão dentro do espectro de ajustes precisos.

Através das medidas de precisão não foram detectadas diferenças entre as equações ajustadas para as diversas classes diamétricas. Quanto aos ajustes realizados por sítio e classe diamétrica, e região e classe diamétrica, verificou-se que os menores e maiores valores de coeficiente de determinação foram respectivamente 94,9% e 99,4%; e 93,6% e 98,8%. Juntamente com o erro padrão residual, pôde-se inferir que há uma ligeira superioridade dos modelos ajustados por sítio em relação às equações obtidas por região, devido provavelmente ao maior controle das fontes de variação da variável volume.

TABELA 2.5. Parâmetros estimados e medidas de precisão do polinômio de potência fracionária por classe de diâmetro e por sítio.

Sítio	Limite das classes de diâmetro (cm)	β_0	Parâmetros estimados						R^2	Syx
			β_1	β_2	β_3	β_4	β_5	β_6		
III	15+20	P	0,005	0,01	0,5	0,7	3	10	97,5	0,0467
		C	1,358648	28,097977	-28,926489	1,495659	-1,689554	-0,321132		
	20+25	P	0,005	0,5	0,6	0,7	4	10	97,3	0,0508
		C	1,351731	0,301105	-19,908462	37,137548	-18,543272	-0,66214		
	25+30	P	0,005	0,01	0,6	4	10	96,8	0,0548	
		C	1,292316	13,663337	-14,056467	-0,445805	-0,879334	1,224947		
	30+35	P	0,005	0,5	10	15	97	0,0529		
		C	1,34488	-0,133966	-0,847616	-2,78766	4,481987			
IV	35+40	P	0,005	0,3	5	10	98,1	0,0408		
		C	1,266731	0,084931	-0,838949	-1,126675	1,024671			
	40+45	P	0,005	0,5	0,6	2	98,3	0,0405		
		C	1,332794	0,252423	-9,447282	9,282097	-1,464458			
	15+20	P	0,5	3	95,4	0,0612				
		C	1,308139	-0,927405	-0,177196					
	20+25	P	0,005	0,06	0,6	3	10	95,6	0,0615	
		C	1,289122	1,166487	-1,577606	-0,377968	-0,645196	0,933031		
IV	25+30	P	0,005	0,01	1	5	97,7	0,0446		
		C	1,278349	14,738853	-15,193333	-0,505749	-0,265303			
	30+35	P	0,005	0,3	5	10	97,4	0,048		
		C	1,317522	0,061218	-0,853649	-1,028467	0,826726			
	35+40	P	0,005	0,2	4	10	20	25	97,9	0,0433
		C	1,287978	0,282018	-0,997068	-0,906697	1,077358	-4,467118	4,747224	
	40+45	P	0,005	0,2	0,3	0,7	4	10	97,7	0,0458
		C	1,264626	1,382118	-8,598461	8,13193	-1,708462	-0,832769	0,61998	

Continua...

TABELA 2.5. Continuação

Sítio	Limite das classes de diâmetro (cm)	β_0	Parâmetros estimados						R^2	Syx
			β_1	β_2	β_3	β_4	β_5	β_6		
V	15 20	P	0,4	4						
		C	1,397054	-0,998227	-0,207306					96,5 0,0579
	20 25	P	0,4	5	10					
		C	1,322738	-0,862226	-0,862926	1,06299				97,2 0,0485
	25 30	P	0,005	0,3	0,4	0,7	5			
		C	1,331752	1,100308	-15,594162	18,52482	-5,100738	-0,221134		98,3 0,0388
	30 35	P	0,005	0,2	0,6	1	5			
		C	1,318123	0,857959	-2,843945	3,265681	-2,35021	-0,265519		97,1 0,0512
VI	35 40	P	0,005	0,2	4	5				
		C	1,263213	0,240474	-0,850638	-1,794051	1,133221			98,1 0,0395
	40 45	P	0,5	0,6	5	10				
		C	1,352092	-3,041013	2,283505	-1,597012	1,64839			94,9 0,0743
	15 20	P	0,5							
		C	1,366222	-1,036279						98,6 0,0358
	20 25	P	0,4	5	10					
		C	1,324186	-0,848303	-0,959442	1,095228				96,5 0,0543
VII	25 30	P	0,4	1	5	25				
		C	1,32888	-0,924928	0,11542	-0,8559	5,952374			98,1 0,0413
	30 35	P	0,005	0,3	5	10				
		C	1,300353	0,106355	-0,877943	-1,22562	1,152329			97,6 0,0477
	35 40	P	0,4	5						
		C	1,298495	-0,826034	-0,642282					98 0,0426
	40 45	P	0,005	0,02	1	5	25			
		C	1,256209	4,823076	-5,280192	-0,204366	-1,270617	8,844196		99,4 0,0234

P = Potência

C = Coeficiente

TABELA 2.6. Parâmetros estimados e medidas de precisão do polinômio de potência fracionária por classe de diâmetro e por região.

Região	Limite das classes de diâmetro (cm)	Parâmetros estimados								R^2	Syx
		β_0	β_1	β_2	β_3	β_4	β_5	β_6			
Mocambo	15 20	P C	1,369743 1,294401	0,4 -0,995382 0,005 28,229819	5 -0,13684 0,01 -29,090631	0,6 -3,082181	0,5 3,010342	5 -0,456152	10 0,547496	98,1 97	0,042 0,049
	20 25	P C	1,26663 1,26128	0,005 40,741249 0,005 72,777726	0,01 -42,022288 0,2 -76,093107	0,5 5,825758 0,7 3,768658	0,6 -5,460713 0,7 -1,325125	4 0,106494 5 -0,417694	5 -0,393529	97,8 98,2	0,041 0,034
	25 30	P C	1,272829 1,253501	0,005 0,098109 0,005 0,555375	0,3 -0,826949 0,4 -14,61717	5 -0,732955 0,5 19,618774	0,7 -6,312736	5 -1,41646	10 1,568666	97,6 98,4	0,044 0,037
	30 35	P C	1,321894 1,281928	0,5 -1,033611 0,005 14,839783	3 0,01 0,6 -15,260789	5 -0,286287	3 -1,426186	5 1,28959	15 97,8	96,6 97,7	0,0532 0,043
	35 40	P C	1,285425 1,319919	0,005 0,2 0,525698 -0,34002	0,2 0,5 -1,883368 -0,541021	0,5 5 1,36408 -0,569011	1 -1,044078	4 -0,253973	15 0,869051	97,7 97,5	0,0453 0,0471
	40 45	P C	1,269595 1,239179	0,3 0,005 0,6 -0,469163	0,6 0,01 5 -0,375058	5 4 15 -0,677131	15 0,651606	5 2,613929	10 93,6	97,9 93,6	0,0434 0,08

Continua...

TABELA 2.6. Continuação

Região	Limite das classes de diâmetro (cm)	Parâmetros estimados								R^2	Syx
		β_0	β_1	β_2	β_3	β_4	β_5	β_6			
Jaguaríava	15 20	P	0,005	0,2	0,6	4	5				
	20 25	C	1,32362	0,513208	-1,442393	0,305856	-5,159976	5,48307		96,6	0,0541
		P	0,5	1	3	15					
	25 30	C	1,315468	-1,599762	1,193453	-1,619564	14,959596			96,4	0,0583
		P	0,005	0,01	0,3	0,6	5	25			
	30 35	C	1,29942	45,137237	-46,842233	2,520663	-1,725755	-0,734709	7,039811	97,7	0,0461
		P	0,005	0,01	0,3	2	5	15			
	35 40	C	1,305447	28,027677	-28,867255	0,349898	-0,648126	-0,361727	0,796202	98,2	0,0412
		P	0,005	0,01	4	5	10	25			
Pouso Alto	40 45	C	1,269297	19,980356	-20,540102	-4,518015	4,98054	-1,813368	1,664146	98,8	0,0325
		P	0,005	0,2	5	10					
		C	1,320753	0,19351	-0,900477	-1,744896	1,766202			98,7	0,0357
	15 20	P	0,4	10							
		C	1,459791	-1,068571	-2,161141					97,5	0,0522
	20 25	P	0,4	5	10						
		C	1,325135	-0,877357	-0,841846	0,888592				97,6	0,0447
	25 30	P	0,005	0,3	5	10					
		C	1,336384	0,094902	-0,933985	-1,164695	1,232529			98,3	0,04
Pouso Alto	30 35	P	0,005	0,01	3	5					
		C	1,332806	22,379366	-23,032953	-1,20054	0,625404			98,3	0,0416
	35 40	P	0,005	0,4	0,8	1	5	10			
		C	1,284169	0,201684	-2,522938	5,316689	-3,889868	-0,859723	0,736773	98,5	0,0368
	40 45	P	0,005	0,01	0,3	5	15				
		C	1,3114	11,62333	-11,930891	-0,421308	-1,405148	2,496566		98,2	0,0423

Continua...

TABELA 2.6. Continuação

Região	Limite das classes de diâmetro (cm)	Parâmetros estimados								R^2	Syx	
		β_0	β_1	β_2	β_3	β_4	β_5	β_6				
Moquéém	15 20	P C	0,005 1,367044	0,1 0,954887	-1,623195 -0,066272	0,5 -1,193933	3 1,064617	5	97,3	0,0477		
	20 25	P C	0,005 1,373214	0,5 0,303161	0,7 -8,291573	12,79703 -6,100696	1 0,847584	15				
	25 30	P C	0,4 1,379813	10 -1,013693	-0,808231					96,9	0,0544	
	30 35	P C	0,4 1,416442	0,5 -2,00139	5 1,038583							
	35 40	P C	0,4 1,309054	2 0,616605	4 -1,716397	15 3,292091	25 -3,006691			96,8	0,057	
	40 45	P C	0,5 1,325311	0,6 -3,093043	5 2,383644	10 -1,585986	16,42109					
									97,3	0,0509		

P = Potência

C = Coeficiente

2.3.2 Polinômio de 5º grau

Através da análise das medidas de precisão, coeficiente de determinação, erro padrão residual e análise gráfica dos resíduos, verificou-se nas Tabelas 2.7 e 2.8, que todos os modelos apresentaram ajustes satisfatórios, o que indica que eles podem ser usados para estimar com eficiência os diâmetros e alturas ao longo do fuste, os volumes totais e comerciais para as árvores de *Pinus taeda*.

Entre os polinômios, o menor coeficiente de determinação nas regiões foi de 93,5% e o maior de 98,1%; para os sítios o menor foi de 94,6% e o maior 99,0%. Verificou-se através destes dados, além do erro padrão e da análise gráfica dos resíduos, uma ligeira superioridade no ajuste por sítio, em relação aos ajustes por região.

TABELA 2.7. Parâmetros estimados e medidas de precisão do polinômio do 5º grau por classe de diâmetro e por sítio.

Classe de Sítio	Limite das classes de diâmetro (cm)	Parâmetros estimados							Syx
		β_0	β_1	β_2	β_3	β_4	β_5	R ²	
III	15 20	1,317704	-5,391649	26,445458	-67,352362	76,430938	-31,567742	96,9	0,0511
	20 25	1,306984	-5,566463	27,174277	-66,038743	70,644785	-27,529053	96,8	0,0549
	25 30	1,243435	-4,940787	23,411334	-56,338636	59,800933	-23,205354	96,3	0,0588
	30 35	1,240953	-5,666502	30,209543	-79,06375	92,189475	-39,566907	95,4	0,0654
	35 40	1,202247	-4,591559	20,476747	-44,189737	41,338774	-14,107663	97,3	0,0484
	40 45	1,279051	-6,768492	36,490653	-89,844878	97,719523	-39,398223	97,7	0,0479
IV	15 20	1,29092	-5,186379	26,192379	-66,331178	73,814665	-29,819344	95,5	0,0612
	20 25	1,254429	-4,765071	22,650103	-55,522404	59,932131	-23,506298	95,4	0,063
	25 30	1,225521	-4,930131	25,19409	-65,187443	75,220459	-31,961236	97,2	0,0495
	30 35	1,247935	-5,649035	30,532384	-79,079049	90,816803	-38,501817	96,6	0,0547
	35 40	1,211085	-4,024996	13,389449	-17,484088	2,554576	5,007454	95,5	0,0637
	40 45	1,203463	-4,550663	21,616356	-48,579129	46,694207	-16,329033	97	0,0524
V	15 20	1,344448	-6,6324	34,374279	-85,668332	94,824909	-38,453312	96,4	0,0597
	20 25	1,274411	-5,692376	30,542161	-79,128981	90,241629	-37,601632	96,9	0,0513
	25 30	1,269986	-5,801127	31,325259	-80,400329	91,042858	-37,939071	97,5	0,0473
	30 35	1,257723	-5,73577	32,162741	-85,071134	99,036639	-42,394178	96,3	0,0576
	35 40	1,218374	-4,700082	24,562494	-61,691634	68,267144	-28,115701	97,7	0,0433
	40 45	1,284252	-5,944582	30,299791	-73,021794	77,78199	-30,764827	94,6	0,0764
VI	15 20	1,355545	-6,496783	38,139871	-111,083913	144,605745	-69,066666	99	0,0326
	20 25	1,270845	-5,274287	27,224458	-69,238466	77,894999	-32,206171	96,1	0,0575
	25 30	1,263003	-5,23965	26,474418	-66,187816	73,988088	-30,736116	97,5	0,0475
	30 35	1,244311	-4,765928	21,971081	-49,164441	47,688616	-16,879939	97	0,0533
	35 40	1,244464	-4,938779	24,482764	-61,345443	69,639372	-29,694904	97,9	0,0444
	40 45	1,194716	-3,847509	17,015572	-36,367265	33,741218	-11,889642	98,7	0,0362

TABELA 2.8. Parâmetros estimados e medidas de precisão do polinômio do 5º grau por classe de diâmetro e por região.

Região	Limite das classes de diâmetro (cm)	Parâmetros estimados							Syx
		β_0	β_1	β_2	β_3	β_4	β_5	R ²	
Mocambo	15 - 20	1,309818	-6,129514	30,017025	-73,009825	80,236609	-32,577191	98,1	0,043
	20 - 25	1,249091	-5,078848	24,415528	-60,043427	66,549442	-27,272885	96,5	0,054
	25 - 30	1,22431	-4,985479	25,882485	-67,010645	77,695473	-33,30287	97,3	0,046
	30 - 35	1,205178	-4,579384	24,412282	-64,057708	74,547496	-32,091118	97,5	0,044
	35 - 40	1,228567	-5,182637	28,560811	-76,197307	90,478263	-39,752191	97,2	0,047
	40 - 45	1,221021	-5,223841	26,703576	-63,75783	66,591114	-25,781768	98	0,041
Ouro Verde	15 - 20	1,284674	-5,024247	24,424671	-63,188026	73,285359	-31,011013	96,5	0,056
	20 - 25	1,240293	-4,831419	24,541399	-63,659912	72,056699	-29,510012	97,4	0,046
	25 - 30	1,22941	-5,023034	25,117663	-63,458979	70,943551	-29,016771	97,1	0,050
	30 - 35	1,217223	-4,819085	21,503328	-47,178688	45,832457	-16,483796	96	0,060
	35 - 40	1,200884	-4,443662	19,720461	-43,563755	42,191962	-15,049882	97,3	0,049
	40 - 45	1,213296	-4,145481	18,768782	-41,802408	39,913509	-13,843453	93,5	0,081
Jaguariaíva	15 - 20	1,30663	-5,452936	29,130693	-78,419658	93,24454	-40,559344	96,4	0,056
	20 - 25	1,283073	-5,036211	25,388131	-63,533782	68,816714	-26,90792	96,2	0,060
	25 - 30	1,243018	-4,620716	22,012379	-52,837576	56,064424	-22,043276	97	0,052
	30 - 35	1,257509	-5,239309	27,933531	-71,242703	79,844844	-33,030348	97,6	0,047
	35 - 40	1,201474	-3,564868	10,859305	-10,366738	-7,560856	10,38066	97,2	0,049
	40 - 45	1,23397	-5,545885	30,70704	-79,082393	89,043678	-36,990371	97,5	0,049

Continua...

TABELA 2.8. Continuação

Região	Limite das classes de diâmetro (cm)	Parâmetros estimados							R^2	Syx
		β_0	β_1	β_2	β_3	β_4	β_5			
Pouso Alto	15 20	1,433266	-9,052786	58,625317	-176,787973	236,733353	-116,143142	97,9	0,051	
	20 25	1,272752	-5,640851	29,892962	-77,338295	88,570807	-37,250554	97	0,050	
	25 30	1,27323	-5,705085	29,704467	-75,28823	84,620232	-35,073485	97,6	0,048	
	30 35	1,268888	-6,034929	32,990734	-85,494825	97,302115	-40,636698	97,5	0,050	
	35 40	1,223286	-4,865554	22,370253	-49,162182	47,198122	-16,750065	97,8	0,044	
	40 45	1,240045	-5,665067	29,639649	-72,848703	78,957051	-31,81597	97,4	0,051	
Moquém	15 20	1,318928	-5,531902	27,920464	-71,145514	80,605236	-33,340947	96,6	0,053	
	20 25	1,329674	-5,745751	28,024082	-67,541327	72,074135	-28,193478	96,5	0,058	
	25 30	1,318432	-6,54838	34,935964	-90,39291	104,49676	-44,520796	96,6	0,060	
	30 35	1,320201	-7,320201	40,319226	-104,673844	120,501436	-50,909791	93,9	0,079	
	35 40	1,23661	-4,662577	19,617193	-38,488833	31,053682	-8,485329	96,7	0,057	
	40 45	1,258723	-5,967236	31,706667	-78,7009	86,132552	-34,877249	97	0,054	

2.3.3 Ajuste das razões de volume

Com relação à equação de volume total, pode-se observar na Tabela 2.9 que as medidas de precisão do modelo de Schumacher e Hall são superiores quando o controle da base de dados foi por sítio.

TABELA 2.9. Parâmetros estimados e medidas de precisão do modelo de Clutter para equação de volume total, para 5 regiões e 4 sítios.

		Parâmetros estimados			
		β_0	β_1	β_2	R^2
Região	Mocambo	0,00003457	1,87286322	1,16406418	92,7
	Ouro Verde	0,00003080	2,20580733	0,80767302	98,8
	Jaguariaíva	0,00007232	1,77864158	1,03175808	99
	Pouso Alto	0,00004801	2,12116087	0,75666920	98
	Moquém	0,00004237	1,82482019	1,14855720	99
Sítio	III	0,00003000	2,2200000	0,79630000	99,2
	IV	0,00003400	1,9400000	1,07630000	97,8
	V	0,00005223	1,93092734	0,96694538	97,7
	VI	0,00003018	2,08150690	0,96718861	98,1

Com relação às razões de volume, pode-se observar nas Tabelas 2.10, 2.11 e 2.12 que suas estatísticas são bastante satisfatórias. Como esperado, o coeficiente de determinação do modelo de Clutter (1980) e o de Amateis e Burkhart (1987) são ligeiramente superiores por sítio em relação aos ajustes por região, pelos mesmos motivos já apresentados para os modelos polinomiais.

A alta correlação obtida dá-se em função dos modelos considerarem como variável dependente os volumes comerciais e como parte das independentes o volume total. Em qualquer circunstância, a correlação entre o volume total e o parcial para uma mesma árvore sempre será muito forte, haja vista o controle implícito das fontes de variação que afetam tais variáveis.

TABELA 2.10. Parâmetros estimados e medidas de precisão do modelo de Clutter para a equação de volume comercial, por região e sítio.

		Parâmetros estimados			
		β_0	β_1	β_2	R^2
Região	Mocambo	0,05224703	2,94257248	-2,21220236	96,8
	Ouro Verde	3,50539009	3,84897242	-4,19623205	99,4
	Jaguariaíva	0,07200000	4,22000000	-3,48348000	99,4
	Pouso Alto	0,72706735	3,96187775	-3,86125391	99,2
	Moquém	0,61814774	4,15286182	-3,98621905	99,4
Sítio	III	4,72200000	3,8300000	-4,243480000	99,6
	IV	0,47047407	3,97817867	-3,76120094	98,9
	V	0,86265984	3,99354696	-3,96332183	99,4
	VI	0,88129020	3,98555430	-3,96523964	99,5

TABELA 2.11. Parâmetros estimados e medidas de precisão do modelo de Burkhart para a equação de volume comercial até qualquer diâmetro superior, por região e sítio.

Região		Parâmetros estimados			
		α_0	α_1	α_2	R^2
Região	Mocambo	0,04057758	2,94539917	2,14498236	96,8
	Ouro Verde	3,26305296	3,83403479	4,16321877	99,4
	Jaguariaíva	0,06688087	4,12945097	3,37642295	99,4
	Pouso Alto	0,65681530	3,92354572	3,79790868	99,2
	Moquém	0,61422400	4,15680634	3,98816380	99,4
Sítio	III	4,51196067	3,75775867	4,16553505	99,6
	IV	0,43156407	3,92957047	3,69252133	98,9
	V	0,85805739	3,99256958	3,96097529	99,4
	VI	0,97702462	3,94769997	3,95863483	99,5

TABELA 2.12. Parâmetros estimados e medidas de precisão do modelo de Burkhart para a equação de volume comercial até qualquer altura, por região e sítio.

	Região	Parâmetros estimados			R^2
		β_1	β_2	β_3	
Região	Mocambo	1,33252431	2,36016740	2,45190411	99,9
	Ouro Verde	0,93364184	2,43184478	2,40997143	99,9
	Jaguaráíva	0,88711387	2,50208405	2,46460713	99,9
	Pouso Alto	0,97149097	2,47859407	2,47262518	99,8
	Moquém	0,29204921	2,44442510	2,05788739	99,9
Sítio	III	0,77560255	2,41577120	2,33909862	99,9
	IV	0,54708470	2,44919028	2,26366851	99,8
	V	1,23536801	2,51688338	2,57636456	99,8
	VI	0,46275954	2,40258073	2,14885607	99,8

2.3.4 Eficiência das equações de afilamento para representar o perfil do tronco para as classes de diâmetro, nas regiões e sítios

São apresentadas, a seguir, as Tabelas de 2.13 a 2.16, que apresentam as estimativas dos perfis da árvore de *Pinus taeda* para a região de Mocambo. Estes resultados permitem inferir sobre a superioridade dos modelos polinomiais em relação às razões de volume, conforme detectado pela análise de desvio padrão das diferenças (SD), assim como da percentagem dos resíduos (RP) ao longo de todas as alturas relativas. Pode-se notar ainda que, para todas as classes diamétricas na região de Mocambo, o polinômio de potência fracionária foi superior aos demais modelos testados, seguido de perto pelo desempenho também eficiente do polinômio do 5º grau.

TABELA 2.13. Estatísticas para as estimativas dos perfis da árvore de *Pinus taeda* na classe de 20 a 25 cm de diâmetro, para região de Mocambo, para os modelos testados com seus respectivos parâmetros: D = desvio; SD = desvio padrão das diferenças; SSRR = soma do quadrado das diferenças; RP = porcentagem dos resíduos.

Mod.	Est.	Alturas relativas (%)															Média	
		0	1	2	3	4	5	10	15	25	35	45	55	65	75	85	95	
1	D	0,56	-0,28	-0,40	-0,93	-0,66	-0,49	0,53	0,20	0,24	-0,27	-0,09	0,24	0,03	-1,16	-0,23	0,00	-0,18
	SD	0,79	0,74	0,25	0,22	0,28	0,12	0,07	0,14	0,09	0,21	0,66	1,30	0,90	0,65	0,42	0,00	0,46
	SSRR	0,008	0,009	0,004	0,01	0,008	0,004	0,004	0,004	0,003	0,008	0,02	0,058	0,057	0,19	0,06	0,00	0,03
	RP	1,68	-1,27	-1,59	-3,78	-2,78	-2,07	2,33	0,95	1,25	-1,66	-1,01	0,64	-0,80	-14,48	-3,27	0,00	-1,72
2	D	-0,49	-0,43	0,13	-0,31	-0,15	-0,15	0,09	-0,42	0,20	0,12	0,08	-0,029	-0,21	-0,81	-0,39	0,00	-0,18
	SD	0,76	0,74	0,25	0,22	0,28	0,12	0,07	0,14	0,09	0,21	0,66	1,30	0,90	0,64	0,42	0,00	0,45
	SSRR	0,009	0,01	0,003	0,004	0,004	0,002	0,001	0,005	0,002	0,006	0,02	0,06	0,06	0,13	0,06	0,00	0,03
	RP	-1,87	-1,80	0,42	-1,34	-0,72	-0,68	0,37	-2,08	1,03	0,66	0,10	-1,41	-2,89	-10,49	-4,92	0,00	-1,71
3	D	-0,31	-1,98	-2,80	-3,93	-4,18	-4,44	-4,57	-4,87	-3,21	-1,93	-0,57	0,64	1,58	1,91	3,57	0,00	-1,67
	SD	1,58	1,21	0,48	0,40	0,37	0,16	0,24	0,15	0,07	0,12	0,60	1,33	0,81	0,52	0,36	0,00	0,56
	SSRR	0,01	0,04	0,06	0,13	0,16	0,18	0,22	0,29	0,14	0,07	0,03	0,06	0,12	0,25	0,87	0,00	0,17
	RP	-1,40	-7,48	-10,68	-15,83	-17,21	-18,64	-20,72	-23,98	-17,04	-11,43	-4,14	3,60	12,92	20,9	37,27	0,00	-4,92
4	D	0,20	-1,53	-2,44	-3,66	-3,98	-4,32	-4,84	-5,51	-4,51	-3,81	-2,92	-2,04	-1,28	-0,89	1,15	0,00	-2,69
	SD	1,05	0,90	0,29	0,25	0,30	0,12	0,09	0,13	0,08	0,19	0,64	1,30	0,87	0,60	0,39	0,00	0,48
	SSRR	0,01	0,03	0,05	0,11	0,14	0,17	0,24	0,37	0,29	0,26	0,22	0,22	0,14	0,14	0,11	0,00	0,17
	RP	0,41	-5,85	-9,31	-14,70	-16,38	-18,13	-21,88	-27,06	-23,91	-22,47	-19,52	-16,53	-12,40	-11,48	11,45	0,00	-13,84

1 = Polinômio de quinto grau: 2 = Polinômio de potência fracionária: 3 = Modelo de Clutter : 4 = Modelo de Amateis e Burkhart

TABELA 2.14. Estatísticas para as estimativas dos perfis da árvore de *Pinus taeda* na classe de 25 a 30 cm de diâmetro, para região de Mocambo, para os modelos testados com seus respectivos parâmetros: D = desvio; SD = desvio padrão das diferenças; SSRR = soma do quadrado das diferenças; RP = porcentagem dos resíduos.

Mod.	Est.	Alturas relativas (%)															Média	
		0	1	2	3	4	5	10	15	25	35	45	55	65	75	85		
1	D	0,04	-0,06	-0,62	-0,64	-0,42	-0,14	0,90	0,62	0,20	-0,16	0,34	1,09	1,11	0,29	-0,22	0,00	0,16
	SD	1,04	1,22	0,51	0,28	0,25	0,04	0,05	0,12	0,17	0,13	0,29	0,32	0,84	0,23	0,47	0,00	0,40
	SSRR	0,007	0,009	0,006	0,005	0,004	0,0006	0,006	0,005	0,003	0,003	0,008	0,03	0,05	0,01	0,06	0,00	0,01
	RP	0,08	-0,27	-2,03	-2,18	-1,43	-0,50	3,43	2,60	0,92	-0,76	1,77	6,16	6,74	2,08	-3,81	0,00	0,85
2	D	-1,13	-0,35	0,041	0,12	0,19	0,23	0,31	-0,14	0,22	0,37	0,53	0,71	0,83	0,74	-0,35	0,00	0,16
	SD	1,1	1,18	0,48	0,27	0,23	0,04	0,05	0,14	0,17	0,13	0,29	0,32	0,85	0,23	0,47	0,00	0,40
	SSRR	0,014	0,009	0,004	0,003	0,003	0,0008	0,001	0,002	0,003	0,004	0,01	0,02	0,04	0,02	0,07	0,00	0,01
	RP	-3,38	-1,16	0,14	0,41	0,69	0,86	1,19	-0,54	1,02	1,77	2,72	3,99	4,86	5,55	-5,41	0,00	0,85
3	D	1,37	0,31	-1,07	-1,80	-2,18	-2,39	-2,57	-2,67	-1,08	0,49	2,09	3,63	4,83	5,36	4,10	0,00	0,56
	SD	0,47	0,76	0,28	0,43	0,22	0,38	0,40	0,17	0,09	0,20	0,24	0,34	0,87	0,43	0,62	0,00	0,39
	SSRR	0,01	0,006	0,009	0,02	0,03	0,04	0,06	0,06	0,01	0,005	0,06	0,21	0,49	0,88	1,17	0,00	0,20
	RP	3,99	0,83	-3,57	-6,23	-7,64	-8,62	-9,92	-10,96	-4,86	2,21	10,8	20,6	30,9	41,7	48,05	0,00	7,15
4	D	0,35	-0,78	-2,23	-3,04	-3,49	-3,78	-4,31	-4,73	-3,74	-2,65	-1,41	-0,09	1,07	1,81	1,14	0,00	-1,72
	SD	0,66	0,94	0,30	0,21	0,13	0,03	0,05	0,08	0,09	0,09	0,22	0,28	0,81	0,28	0,52	0,00	0,31
	SSRR	0,005	0,01	0,03	0,06	0,07	0,09	0,14	0,19	0,14	0,08	0,03	0,008	0,05	0,11	0,12	0,00	0,07
	RP	1,00	-2,52	-7,33	-10,37	-12,14	-13,44	-16,42	-19,3	-16,46	-12,72	-7,41	-0,66	6,44	13,9	12,4	0,00	-5,67

1 = Polinômio de quinto grau: 2 = Polinômio de potência fracionária: 3 = Modelo de Clutter : 4 = Modelo de Amateis e Burkhart

TABELA 2.15. Estatísticas para as estimativas dos perfis da árvore de *Pinus taeda* na classe de 30 a 35 cm de diâmetro, para região de Mocambo, para os modelos testados com seus respectivos parâmetros: D = desvio; SD = desvio padrão das diferenças; SSRR = soma do quadrado das diferenças; RP = porcentagem dos resíduos.

Mod.	Est.	Alturas relativas (%)															Média	
		0	1	2	3	4	5	10	15	25	35	45	55	65	75	85	95	
1	D	1,60	-0,09	-0,62	-1,16	-0,81	-0,39	1,35	1,29	0,10	-0,99	-0,53	0,28	0,15	0,09	-0,49	0,00	-0,015
	SD	0,58	1,49	0,81	0,39	0,24	0,31	0,08	0,41	1,27	3,38	1,99	1,01	0,50	0,82	0,59	0,00	0,92
	SSRR	0,009	0,009	0,007	0,009	0,005	0,003	0,01	0,01	0,06	0,04	0,02	0,01	0,04	0,10	0,00	0,02	
	RP	3,88	-0,50	-1,88	-3,55	-2,50	-1,25	4,31	4,24	0,10	-4,96	-2,98	0,92	0,53	-0,36	-7,17	0,00	-0,74
2	D	-0,20	-0,07	0,33	-0,20	-0,08	0,02	0,58	0,33	0,13	-0,36	-0,29	-0,14	-0,20	0,56	-0,62	0,00	-0,014
	SD	0,54	1,53	0,83	0,41	0,25	0,31	0,09	0,41	1,27	3,38	1,99	1,00	0,49	0,84	0,59	0,00	0,93
	SSRR	0,003	0,009	0,005	0,003	0,002	0,002	0,002	0,004	0,01	0,05	0,03	0,02	0,01	0,04	0,11	0,00	0,021
	RP	-0,59	-0,45	0,80	-0,71	-0,32	0,003	1,86	1,04	0,19	-2,36	-1,93	-1,17	-1,46	2,95	-8,73	0,00	-0,72
3	D	7,36	4,61	3,19	1,87	1,59	1,47	1,89	2,02	2,95	3,72	4,98	6,07	6,51	6,98	4,31	0,00	3,97
	SD	2,66	3,36	2,27	1,93	1,56	1,11	1,06	1,92	2,43	4,52	3,26	2,20	1,34	1,73	0,85	0,00	2,15
	SSRR	0,17	0,09	0,05	0,02	0,02	0,02	0,02	0,03	0,07	0,14	0,26	0,46	0,70	1,14	1,20	0,00	0,29
	RP	18,0	11,9	8,71	5,25	4,57	4,30	5,88	6,53	10,43	14,20	21,43	29,49	37,12	47,19	48,5	0,00	18,24
4	D	3,22	0,43	-1,04	-2,41	-2,74	-2,91	-2,72	-2,79	-2,20	-1,67	-0,51	0,64	1,33	2,33	0,60	0,00	-0,70
	SD	1,02	1,92	1,03	0,63	0,39	0,31	0,12	0,60	1,42	3,54	2,23	1,29	0,72	1,15	0,67	0,00	1,14
	SSRR	0,03	0,01	0,01	0,03	0,04	0,04	0,04	0,05	0,05	0,08	0,04	0,03	0,04	0,15	0,08	0,00	0,05
	RP	7,85	0,82	-3,13	-7,33	-8,40	-9,02	-8,71	-9,54	-8,45	-7,79	-3,02	2,62	7,29	15,11	5,39	0,00	-1,75

1 = Polinômio de quinto grau: 2 = Polinômio de potência fracionária: 3 = Modelo de Clutter : 4 = Modelo de Amateis e Burkhart

TABELA 2.16. Estatísticas para as estimativas dos perfis da árvore de *Pinus taeda* na classe de 35 a 40 cm de diâmetro, para região de Mocambo, para os modelos testados com seus respectivos parâmetros: D = desvio; SD = desvio padrão das diferenças; SSRR = soma do quadrado das diferenças; RP = porcentagem dos resíduos.

Mod.	Est.	Alturas relativas (%)															Média	
		0	1	2	3	4	5	10	15	25	35	45	55	65	75	85	95	
1	D	3,27	1,70	0,11	-0,35	-0,05	-0,08	1,48	1,09	0,51	-0,27	-0,18	0,26	0,03	-1,34	-0,56	0,00	0,38
	SD	3,32	2,82	0,70	0,50	0,25	0,53	0,42	0,20	0,88	1,44	1,31	2,04	3,57	2,44	0,22	0,00	1,38
	SSRR	0,03	0,02	0,003	0,003	0,001	0,003	0,01	0,007	0,008	0,016	0,02	0,03	0,10	0,17	0,05	0,00	0,03
	RP	6,60	3,60	0,24	-0,92	-0,10	-0,22	4,11	3,24	1,40	-1,30	-1,13	0,47	-1,68	-10,65	-6,92	0,00	-0,22
2	D	1,65	2,39	0,93	0,24	0,24	-0,12	0,49	0,27	1,16	0,91	0,07	-0,59	-0,68	-0,69	-0,64	0,00	0,38
	SD	3,36	2,81	0,68	0,49	0,24	0,53	0,41	0,19	0,90	1,47	1,32	2,03	3,56	2,43	0,22	0,00	1,38
	SSRR	0,02	0,02	0,005	0,003	0,001	-0,003	0,004	0,001	0,012	0,02	0,01	0,04	0,12	0,12	0,06	0,00	0,03
	RP	3,24	5,13	2,22	0,59	0,63	-0,32	1,32	0,77	3,51	2,81	-0,16	-3,31	-5,32	-6,39	-7,88	0,00	-0,21
3	D	13,14	10,1	7,32	5,80	5,22	4,44	4,07	3,74	5,45	6,61	7,30	7,88	8,25	7,28	4,11	0,00	6,72
	SD	5,49	4,07	0,98	1,46	1,01	0,86	2,05	1,75	3,03	3,11	3,36	2,90	4,10	2,45	0,39	0,00	2,47
	SSRR	0,38	0,26	0,16	0,11	0,09	0,07	0,07	0,07	0,16	0,27	0,41	0,59	0,86	1,11	1,08	0,00	0,38
	RP	26,98	22,35	17,51	14,47	13,39	11,72	11,29	11,05	17,05	22,50	27,66	33,80	40,6	46,5	46,26	0,00	24,2
4	D	7,33	4,28	1,43	-0,14	-0,75	-1,58	-2,14	-2,63	-1,16	-0,12	0,58	1,35	2,14	1,87	-0,14	0,00	0,69
	SD	3,39	2,77	0,37	0,41	0,09	0,27	0,56	0,34	1,26	1,77	1,83	2,21	3,71	2,38	0,26	0,00	1,44
	SSRR	0,12	0,05	0,007	0,002	0,002	0,01	0,023	0,035	0,019	0,018	0,022	0,044	0,13	0,13	0,034	0,00	0,043
	RP	14,99	9,33	3,39	-0,41	-1,95	-4,22	-6,15	-8,01	-4,02	-0,88	1,72	5,17	9,14	10,64	-2,28	0,00	1,76

1 = Polinômio de quinto grau: 2 = Polinômio de potência fracionária: 3 = Modelo de Clutter : 4 = Modelo de Amateis e Burkhart

O desempenho das estimativas do polinômio do 5º grau mostrou, para todas as classes diamétricas, uma nítida tendência em superestimar os diâmetros na porção inferior (até 5% da altura) da árvore. Na porção intermediária (10% a 65% da altura) a tendência é subestimar os diâmetros intercalados sempre com alguma tendência em superestimar os diâmetros. Na ponta da árvore (75% a 95% da altura), a tendência é superestimar mais fortemente os diâmetros, o que provoca distorção na estimativa do perfil em uma região normalmente sem grande interesse comercial.

O desempenho do polinômio de potências fracionárias mostra que, das menores para as maiores classes diamétricas, a tendência de subestimar é substituída pela tendência de superestimar os diâmetros.

A função de afilamento de Clutter apresentou, nas menores classes diamétricas, uma nítida tendência em superestimar os diâmetros até a metade da altura das árvores. Já nas demais classes diamétricas, há subestimativa dos diâmetros ao longo de todo o fuste. Dos modelos testados, é o que apresenta o desempenho menos eficiente para representar o perfil da árvore.

Já a razão de volume de Amateis e Burkhart apresentou uma melhora da performance para as estimativas feitas para as maiores classes diamétricas. Para esta metodologia, há uma nítida tendência em superestimar os diâmetros na primeira metade da árvore e de subestimar na segunda metade.

No Apêndice 2.1, encontra-se as estatísticas para representar o perfil do fuste para outras regiões de estudo. Nas Tabelas 2.1 a 2.4, a região é Ouro Verde; nas Tabelas 2.5 a 2.8 a região é Jaguariaíva; de 2.9 a 2.12 a região é Pouso Alto e de 2.13 a 2.16, a região é Moquém.

Os modelos polinomiais foram superiores para representar o perfil das árvores em relação às funções de afilamento decorrentes das razões de volume e o modelo de potência fracionária predominou sobre os demais. No entanto, houve ocasiões em que os outros modelos conseguiram sobrepujar o desempenho dos polinômios de potência fracionária, o que induz o profissional de biometria florestal a ajustar, para cada situação de trabalho, diferentes modelos para expressar a forma da árvore, selecionando sempre o mais eficiente.

As tendências dos polinômios na representação dos perfis do fuste são inconstantes, ora havendo tendência em superestimar o diâmetro na base, ora no topo, ora em toda árvore. O mesmo comportamento é notado em relação às subestimativas.

As funções de afilamento tendem a subestimar os diâmetros da primeira metade da árvore e superestimar os da segunda metade. Outro fato relevante é que os erros percentuais de estimativa foram muito maiores que os observados para os polinômios. Em relação às funções de afilamento advindas das razões de volume, notou-se a superioridade do modelo de Amateis e Burkhart (1987) sobre o de Clutter (1980). Observou-se, ainda, que há uma tendência clara do modelo de Amateis e Burkhart (1987) em melhorar seu desempenho para as maiores classes diamétricas. Outro fato significativo relativo a este modelo é que as estimativas diamétricas na base, até 5% da altura, e no topo da árvore, após 75% da altura, normalmente foram muito tendenciosas. Já para a porção útil da árvore, as estimativas são eficientes. Este comportamento credencia o uso em escala comercial deste modelo.

A seguir, as Tabelas de 2.17 a 2.20, que trazem as estimativas dos perfis da árvore de *Pinus taeda* para sítio IV.

TABELA 2.17. Estatísticas para as estimativas dos perfis da árvore de *Pinus taeda* na classe de 20 a 25 cm de diâmetro, para o Sítio IV, para os modelos testados com seus respectivos parâmetros: D = desvio; SD = desvio padrão das diferenças; SSRR = soma do quadrado das diferenças; RP = porcentagem dos resíduos.

Mod.	Est.	Alturas relativas (%)															Média	
		0	1	2	3	4	5	10	15	25	35	45	55	65	75	85		
1	D	0,23	-0,52	-0,98	-0,92	-0,61	-0,50	0,04	-0,22	-0,83	-1,12	-0,85	-0,37	-0,61	0,20	-0,03	0,00	-0,47
	SD	0,30	0,54	0,63	0,55	0,35	0,56	0,14	0,23	0,63	0,34	1,19	3,41	2,54	0,12	0,29	0,00	0,79
	SSRR	0,003	0,008	0,02	0,01	0,008	0,01	0,002	0,005	0,03	0,04	0,09	0,32	0,41	0,007	0,01	0,00	0,07
	RP	0,77	-2,18	-4,21	-3,96	-2,63	-2,36	0,06	-1,10	-5,03	-7,43	-7,58	-8,85	-12,6	1,78	-1,07	0,00	-3,75
2	D	-0,55	-0,50	-0,57	-0,48	-0,27	-0,31	-0,37	-0,74	-0,81	-0,73	-0,71	-0,65	-0,82	0,59	-0,29	0,00	-0,48
	SD	0,30	0,56	0,65	0,56	0,35	0,56	0,14	0,25	0,63	0,35	1,20	3,38	2,53	0,14	0,28	0,00	0,79
	SSRR	0,005	0,008	0,01	0,009	0,005	0,009	0,004	0,01	0,03	0,02	0,08	0,36	0,46	0,02	0,01	0,00	0,07
	RP	-1,98	-2,12	-2,57	-2,17	-1,23	-1,53	-1,82	-3,71	-4,88	-4,96	-6,51	-11,3	-14,9	6,12	-4,40	0,00	-3,86
3	D	3,89	2,23	0,98	0,32	0,007	-0,44	-1,76	-2,80	-3,56	-3,84	-4,12	-4,42	-4,92	-3,38	-2,15	0,00	-1,60
	SD	0,21	0,47	0,54	0,36	0,18	0,36	0,05	0,21	0,92	0,45	1,29	3,28	2,56	0,04	0,19	0,00	0,74
	SSRR	0,09	0,04	0,01	0,005	0,002	0,008	0,04	0,10	0,24	0,33	0,60	1,54	2,60	0,45	0,18	0,00	0,41
	RP	13,7	8,21	3,59	1,15	-0,05	-2,10	-8,33	-14,1	-20,6	-24,7	-31,4	-44,8	-60,98	-38,2	-28,6	0,00	-16,5
4	D	5,59	3,95	2,72	2,08	1,78	1,35	0,12	-0,83	-1,43	-1,56	-1,72	-1,91	-2,36	-0,88	0,33	0,00	0,48
	SD	0,72	1,19	1,29	1,00	0,67	0,99	0,36	0,34	0,40	0,27	1,06	3,18	2,29	0,14	0,38	0,00	0,95
	SSRR	0,20	0,11	0,06	0,04	0,03	0,03	0,006	0,01	0,05	0,06	0,16	0,62	0,95	0,04	0,01	0,00	0,16
	RP	19,6	14,6	10,4	8,24	7,25	5,45	0,35	-4,28	-8,41	-10,29	-13,88	-22,51	-32,02	-10,4	3,48	0,00	-2,16

1 = Polinômio de quinto grau; 2 = Polinômio de potência fracionária; 3 = Modelo de Clutter : 4 = Modelo de Amateis e Burkhart

TABELA 2.18. Estatísticas para as estimativas dos perfis da árvore de *Pinus taeda* na classe de 25 a 30 cm de diâmetro, para o Sítio IV, para os modelos testados com seus respectivos parâmetros: D = desvio; SD = desvio padrão das diferenças; SSRR = soma do quadrado das diferenças; RP = porcentagem dos resíduos.

Mod.	Est.	Alturas relativas (%)																Média
		0	1	2	3	4	5	10	15	25	35	45	55	65	75	85	95	
1	D	1,13	-0,33	-0,87	-0,89	-0,69	-0,39	0,46	0,34	-0,25	-0,60	0,14	0,66	0,64	-0,51	-0,15	0,00	-0,09
	SD	1,00	0,35	0,43	0,14	0,03	0,08	0,12	0,17	0,48	0,50	0,33	0,49	0,88	1,22	0,45	0,00	0,45
	SSRR	0,01	0,003	0,007	0,005	0,003	0,002	0,003	0,008	0,01	0,007	0,02	0,04	0,09	0,06	0,00	0,02	
	RP	3,07	-0,98	-2,80	-2,94	-2,34	-1,32	1,77	1,42	-1,11	-2,95	0,67	3,82	4,02	-6,18	-3,20	0,00	-0,60
2	D	-0,36	0,001	-0,15	-0,25	-0,27	-0,21	-0,22	-0,39	-0,04	0,11	0,41	0,24	0,20	-0,22	-0,10	0,00	-0,09
	SD	1,02	0,35	0,42	0,13	0,03	0,07	0,13	0,19	0,47	0,47	0,33	0,50	0,90	1,22	0,45	0,00	0,45
	SSRR	0,008	0,003	0,004	0,001	0,0007	0,001	0,002	0,004	0,008	0,009	0,009	0,015	0,03	0,07	0,06	0,00	0,01
	RP	-1,11	0,03	-0,51	-0,83	-0,89	-0,69	-0,77	-1,51	-0,22	0,51	2,13	1,31	0,89	-3,55	-3,35	0,00	-0,57
3	D	5,56	2,91	1,34	0,40	-0,20	-0,61	-2,01	-2,95	-3,44	-3,65	-3,46	-3,58	-3,51	-3,80	-3,58	0,00	-1,37
	SD	1,08	0,20	0,36	0,11	0,01	0,02	0,09	0,13	0,43	0,46	0,34	0,53	0,90	1,14	0,38	0,00	0,41
	SSRR	0,12	0,04	0,01	0,002	0,0004	0,002	0,03	0,07	0,12	0,17	0,18	0,26	0,36	0,76	1,20	0,00	0,22
	RP	15,4	8,82	4,25	1,31	-0,71	-2,09	-7,52	-11,81	-15,18	-17,7	-18,4	-21,8	-25,2	-36,0	-46,6	0,00	-11,5
4	D	7,40	4,78	3,24	2,32	1,74	1,36	0,07	-0,76	-1,03	-1,04	-0,67	-0,64	-0,48	-0,76	-0,69	0,00	0,99
	SD	0,91	0,24	0,41	0,12	0,06	0,10	0,16	0,25	0,57	0,58	0,37	0,54	0,95	1,27	0,47	0,00	0,47
	SSRR	0,22	0,11	0,06	0,03	0,02	0,01	0,002	0,008	0,02	0,02	0,01	0,02	0,04	0,11	0,12	0,00	0,05
	RP	20,6	14,5	10,3	7,68	5,90	4,73	0,30	-3,00	-4,55	-5,06	-3,59	-4,06	-3,89	-8,48	-10,1	0,00	1,42

1 = Polinômio de quinto grau; 2 = Polinômio de potência fracionária; 3 = Modelo de Clutter : 4 = Modelo de Amateis e Burkhart

TABELA 2.19. Estatísticas para as estimativas dos perfis da árvore de *Pinus taeda* na classe de 30 a 35 cm de diâmetro, para o Sítio IV, para os modelos testados com seus respectivos parâmetros: D = desvio; SD = desvio padrão das diferenças; SSRR = soma do quadrado das diferenças; RP = porcentagem dos resíduos.

Mod.	Est.	Alturas relativas (%)															Média	
		0	1	2	3	4	5	10	15	25	35	45	55	65	75	85		
1	D	1,59	-1,77	-2,04	-1,80	-0,80	-0,81	1,45	1,59	0,50	-0,07	0,27	0,54	0,15	-1,29	-0,37	0,00	-1,91
	SD	7,16	1,18	0,22	0,58	0,48	0,12	0,40	0,77	0,92	1,23	2,25	2,13	1,81	3,44	0,49	0,00	1,54
	SSRR	0,03	0,02	0,02	0,02	0,006	0,004	0,01	0,02	0,01	0,01	0,04	0,04	0,05	0,31	0,08	0,00	0,04
	RP	3,39	-4,94	-5,85	-5,39	-2,41	-2,50	4,68	5,30	1,64	-0,63	0,61	1,93	-0,33	-14,74	-5,88	0,00	-1,68
2	D	-0,65	-0,76	-0,98	-1,02	-0,37	-0,75	0,42	0,59	0,86	0,92	0,53	-0,18	-0,41	-0,51	-0,61	0,00	-0,19
	SD	7,39	1,16	0,20	0,56	0,46	0,11	0,41	0,76	0,92	1,24	2,24	2,12	1,78	3,48	0,49	0,00	1,56
	SSRR	0,03	0,01	0,006	0,009	0,004	0,003	0,004	0,008	0,01	0,02	0,04	0,04	0,06	0,21	0,10	0,00	0,04
	RP	-2,00	-2,16	-2,85	-3,08	-1,13	-2,29	1,33	1,89	2,99	3,37	1,77	-1,81	-3,77	-8,10	-8,79	0,00	-1,64
3	D	7,82	2,92	1,29	0,32	0,29	-0,63	-1,14	1,83	-2,24	-2,20	-2,38	-3,01	-3,59	-4,50	-4,83	0,00	-0,91
	SD	6,51	0,90	0,17	0,37	0,26	0,03	0,36	0,80	0,93	1,28	2,27	2,15	1,81	3,47	0,52	0,00	1,46
	SSRR	0,19	0,03	0,008	0,003	0,002	0,002	0,01	0,03	0,05	0,06	0,11	0,19	0,36	1,21	2,05	0,00	0,29
	RP	18,4	7,88	3,66	0,90	0,85	-1,96	-3,75	-6,44	-8,58	-9,22	-11,2	-16,4	-23,7	-42,1	-61,6	0,00	-10,2
4	D	9,45	4,58	2,98	2,04	2,04	1,15	0,78	0,23	0,10	0,39	0,44	0,008	-0,44	-1,29	-1,74	0,00	1,38
	SD	6,31	1,25	0,31	0,69	0,57	0,17	0,45	0,76	0,94	1,22	2,22	2,10	1,74	3,38	0,48	0,00	1,51
	SSRR	0,27	0,08	0,04	0,02	0,02	0,008	0,007	0,007	0,009	0,01	0,04	0,04	0,06	0,31	0,34	0,00	0,08
	RP	22,4	12,4	8,55	6,04	6,10	3,57	2,51	0,67	0,15	1,25	1,39	-0,83	-3,94	-14,71	-22,86	0,00	1,52

1 = Polinômio de quinto grau; 2 = Polinômio de potência fracionária; 3 = Modelo de Clutter : 4 = Modelo de Amateis e Burkhart

TABELA 2.20. Estatísticas para as estimativas dos perfis da árvore de *Pinus taeda* na classe de 40 a 45 cm de diâmetro, para o Sítio IV, para os modelos testados com seus respectivos parâmetros: D = desvio; SD = desvio padrão das diferenças; SSRR = soma do quadrado das diferenças; RP = porcentagem dos resíduos.

Mod.	Est.	Alturas relativas (%)																Média
		0	1	2	3	4	5	10	15	25	35	45	55	65	75	85	95	
1	D	2,62	0,16	-0,68	-1,33	-1,21	-0,95	0,01	0,47	0,77	-0,81	-1,73	-1,38	0,94	1,87	-1,70	0,00	-0,20
	SD	5,94	2,09	0,59	0,64	0,03	0,17	0,39	0,50	0,43	0,85	0,68	0,48	3,13	4,45	2,13	0,00	1,50
	SSRR	0,03	0,009	0,004	0,01	0,005	0,004	0,003	0,005	0,007	0,015	0,04	0,03	0,08	0,18	0,61	0,00	0,07
	RP	5,39	0,25	-1,71	-3,49	-3,21	-2,62	-0,05	1,34	2,49	-3,24	-7,36	-6,54	3,74	10,3	-24,5	0,00	-1,94
2	D	-0,19	0,37	0,31	-0,19	-0,16	-0,11	-0,44	-0,75	-0,16	-0,41	-0,53	-0,64	0,23	0,15	-0,61	0,00	-0,21
	SD	6,35	2,11	0,58	0,63	0,04	0,18	0,38	0,47	0,42	0,85	0,70	0,46	3,16	4,59	2,08	0,00	1,53
	SSRR	0,02	0,009	0,003	0,003	0,0003	0,001	0,004	0,008	0,004	0,01	0,01	0,01	0,08	0,17	0,31	0,00	0,04
	RP	-0,62	0,72	0,73	-0,55	-0,45	-0,35	-1,38	-2,53	-0,68	-1,76	-2,41	-3,08	-0,07	-1,94	-11,2	0,00	-1,71
3	D	8,68	4,99	3,01	1,31	0,48	-0,14	-2,39	-3,62	-3,64	-3,85	-3,84	-4,07	-3,73	-4,51	-6,05	0,00	-1,16
	SD	5,19	1,98	0,57	0,65	0,04	0,14	0,42	0,47	0,42	0,90	0,72	0,58	3,51	5,13	2,41	0,00	1,54
	SSRR	0,18	0,07	0,03	0,009	0,001	0,0009	0,03	0,07	0,08	0,12	0,14	0,19	0,36	0,91	3,59	0,00	0,39
	RP	18,3	11,5	7,33	3,30	1,25	-0,42	-7,17	-11,6	-12,5	-14,6	-16,0	-19,1	-21,5	-35,1	-77,0	0,00	-11,6
4	D	10,6	6,99	5,04	3,37	2,58	1,99	-0,11	-1,17	-0,89	-0,83	-0,56	-0,59	-0,09	-0,82	-2,51	0,00	1,54
	SD	4,18	1,88	0,64	0,67	0,21	0,42	0,44	0,55	0,47	0,84	0,73	0,38	2,91	4,37	2,05	0,00	1,38
	SSRR	0,26	0,14	0,08	0,04	0,02	0,02	0,003	0,01	0,01	0,02	0,01	0,01	0,08	0,21	0,92	0,00	0,12
	RP	22,5	16,1	12,3	8,58	6,75	5,28	-0,43	-3,89	-3,20	-3,34	-2,59	-2,86	-1,79	-8,75	-34,2	0,00	0,70

1 = Polinômio de quinto grau; 2 = Polinômio de potência fracionária; 3 = Modelo de Clutter : 4 = Modelo de Amateis e Burkhart

Os resultados apresentados nas Tabelas 2.17 a 2.20 permitiram inferir sobre a superioridade dos modelos polinomiais em relação às funções de afilamento resultantes das razões de volume, conforme observado, principalmente, pela análise do desvio padrão das diferenças (SD) e da percentagem dos resíduos (RP) ao longo de todas as alturas relativas. Pode-se notar ainda que para todas as classes diamétricas na classe de média produtividade (sítio IV), o polinômio de potência fracionária foi superior às demais seguido pelo polinômio do 5º grau. As funções de afilamento resultantes da razão de volume, de maneira geral, apresentaram estimativas muito tendenciosas na base e no topo da árvore. O modelo de Amateis e Burkhart apresentou desempenho superior ao de Clutter e, embora tendenciosa na estimativa do diâmetro na base das árvores, de 3 a 5% da altura da árvore foi eficiente para quantificar volume, como visto no capítulo 1. Tal fato justifica-se porque, a partir do comprimento das toras padrão de 2,2 ou 2,4 metros mais o toco que fica no campo, as estimativas do diâmetro por este método foram eficientes. Também a ponta da árvore (acima de 85% da altura) foi outra porção onde foi tendenciosa a estimativa diamétrica por este procedimento. Normalmente, os danos desta tendenciosidade são minimizados pela falta de uso mais definido das porções da árvore que apresentam pequeno diâmetro.

Nas Figuras 2.2, 2.3, 2.4 e 2.5 encontram-se representados os perfis médios das árvores em relação às estimativas do diâmetro, pelos diferentes procedimentos. Estes perfis permitiram visualizar os fatos discutidos anteriormente. O Apêndice 2.2 mostra as estatísticas para representar o perfil do fuste para outras classes de sítio.

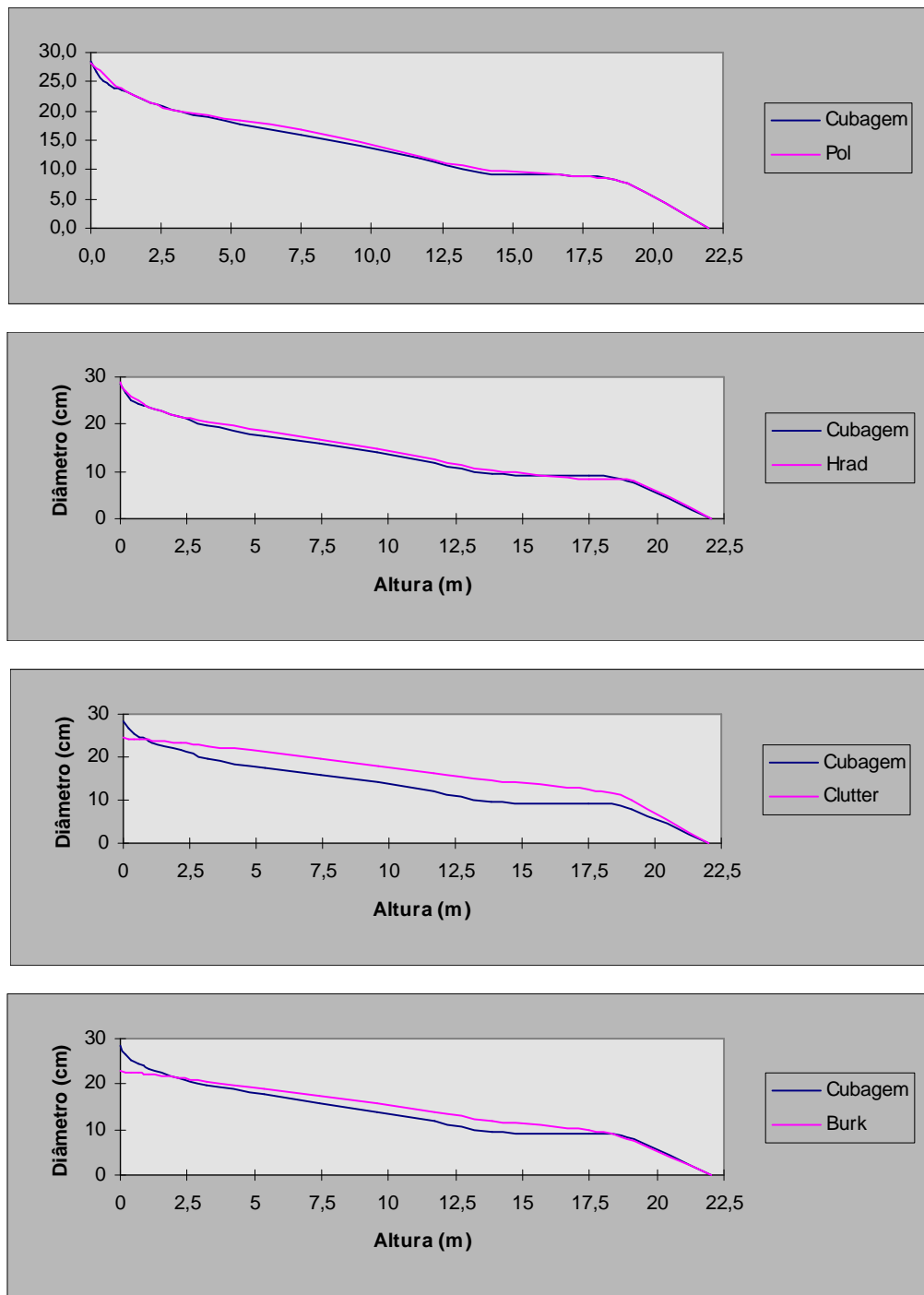


FIGURA 2.2. Perfil da árvore de *Pinus taeda* para a classe de diâmetro de 20 a 25 cm, para o sítio de média produtividade.

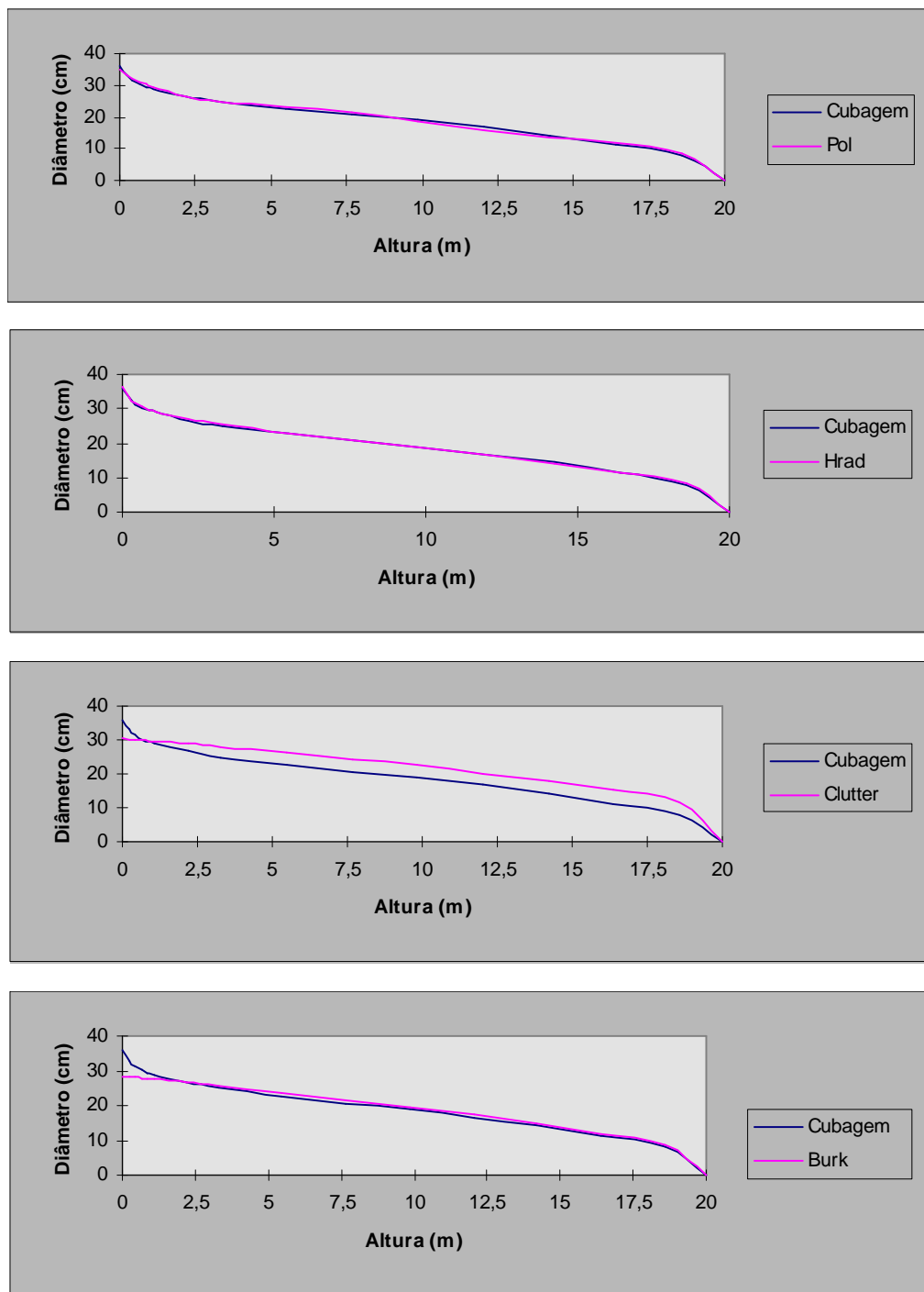


FIGURA 2.3. Perfil da árvore de *Pinus taeda* para a classe de diâmetro de 25 a 30 cm, para o sítio de média produtividade.

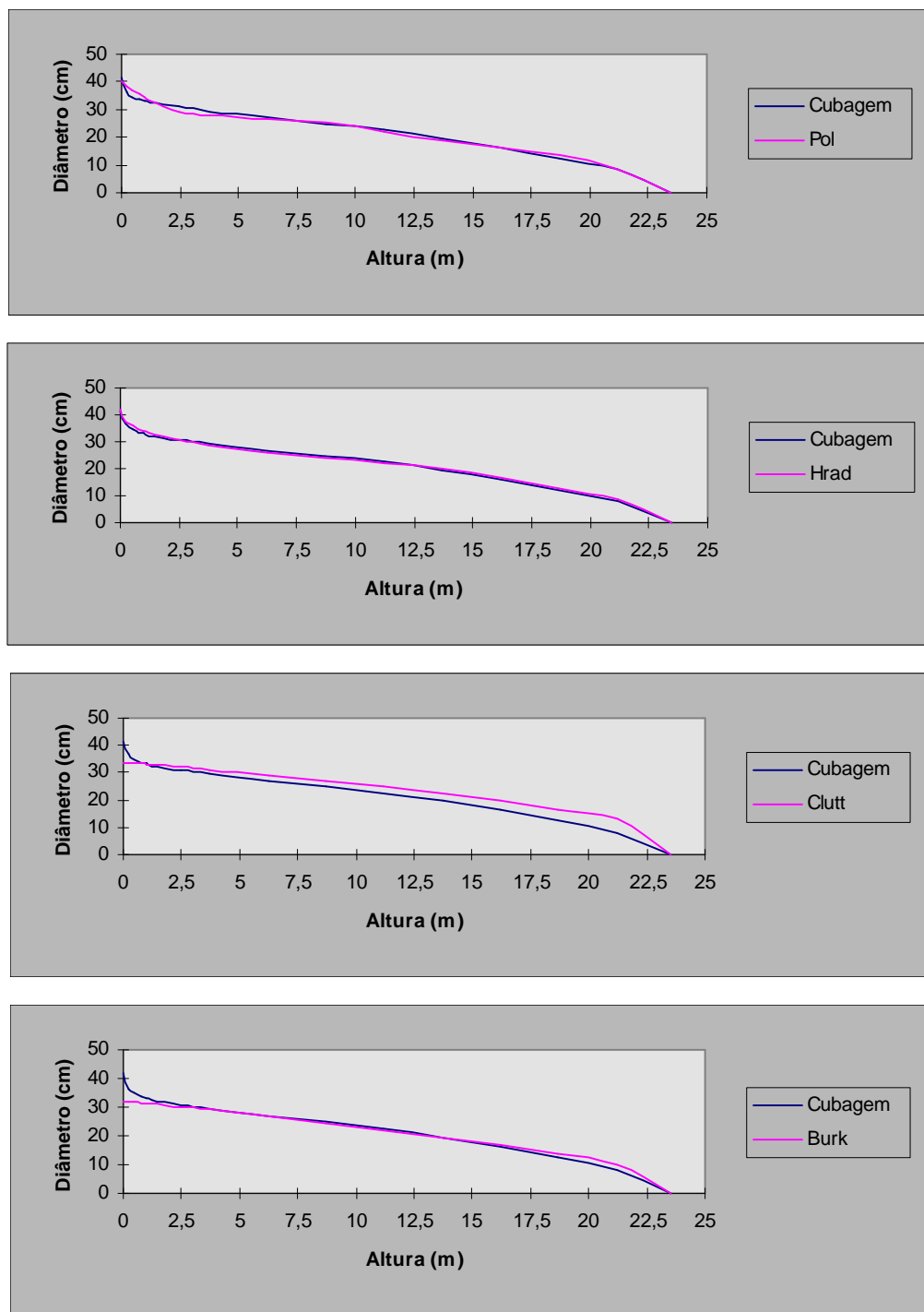


FIGURA 2.4. Perfil da árvore de *Pinus taeda* para a classe de diâmetro de 30 a 35 cm, para o sítio de média produtividade.

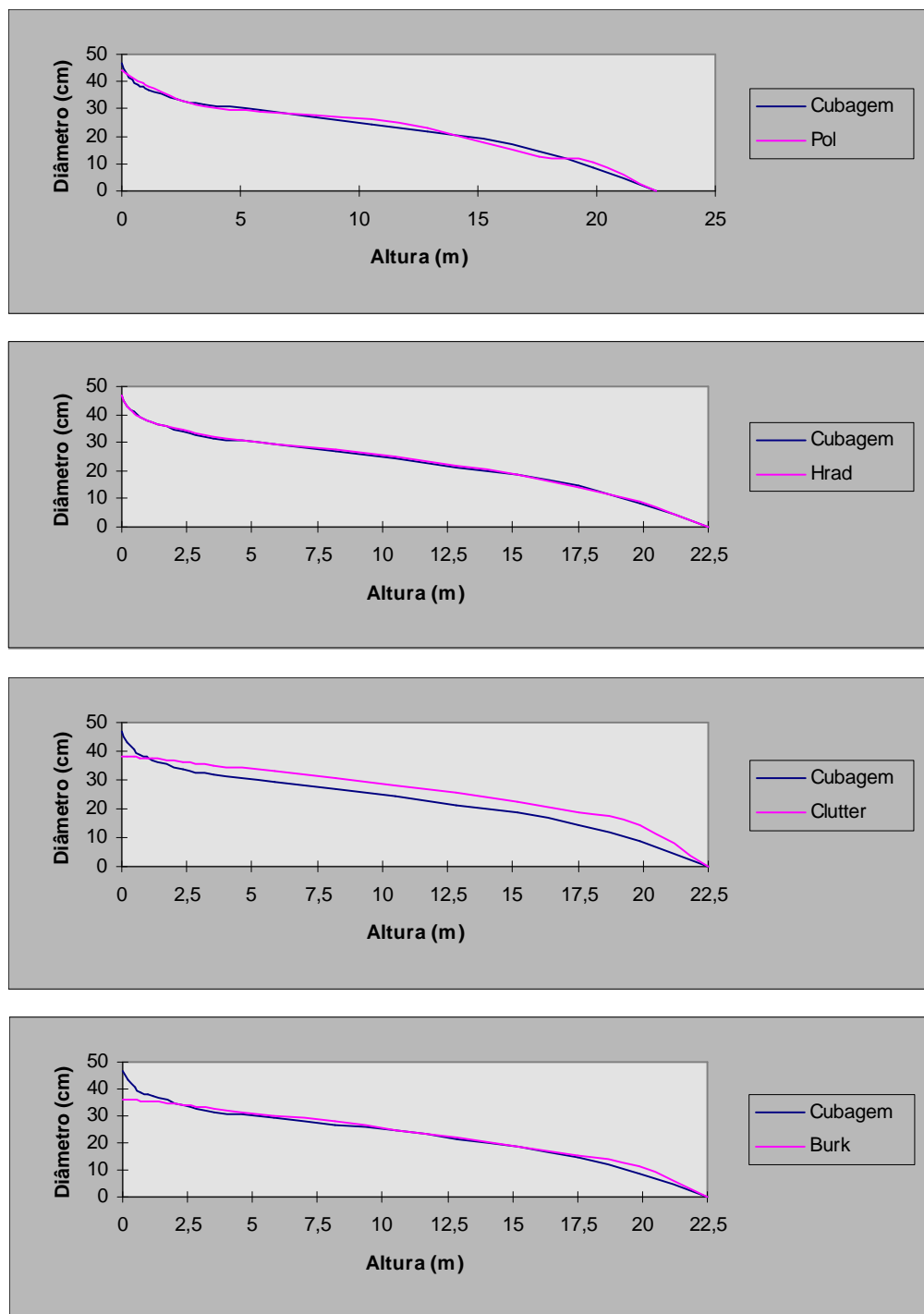


FIGURA 2.5. Perfil da árvore de *Pinus taeda* para a classe de diâmetro de 35 a 40 cm, para o sítio de média produtividade.

De maneira geral, os resultados são similares aos já apresentados e discutidos na consideração do ajuste por diferentes regiões. Pode-se observar o sucesso do ajuste dos modelos com controle da variável índice de sítio, o que pode resultar em grande economia de recursos, sem que haja perda de precisão das estimativas dos diâmetros a várias alturas e, por conseguinte, dos volumes correspondentes aos múltiplos produtos da madeira.

Outro fato relevante é que o controle da cubagem rigorosa por classe de sítio, de maneira geral foi mais eficiente que o controle desta por região administrativa. Este fato pode ser visto através dos menores valores médios dos desvios (D), desvio padrão das diferenças (SD), soma do quadrado das diferenças (SSRR) e porcentagem dos resíduos (RP) para a equação de afilamento selecionada como a de melhor desempenho em cada classe de sítio que aquelas selecionadas por região administrativa.

2.4 CONCLUSÕES

- Verificou-se, em todos os casos, que os polinômios foram superiores às razões volumétricas para estimar o perfil dos troncos, com destaque especial para o modelo de potência fracionária.
- Para as razões volumétricas, o modelo de melhor desempenho foi o de Amateis e Burkhart (1987), embora tenha apresentado tendências nas estimativas dos diâmetros da base (até 3 a 5% da altura) e do topo (acima de 75% da altura), na maioria dos casos estudados.
- As regiões, sítios e classes diamétricas influenciaram na estimativa do perfil do tronco.
- Os modelos ajustados por sítio tiveram melhores estimativas dos diâmetros ao longo do fuste.
- Para o presente conjunto de dados, deve-se usar o modelo polinomial de potência fracionária, com ajuste por sítio e por classe diamétrica, para descrever o perfil do tronco.

REFERÊNCIAS BIBLIOGRÁFICAS

- AMATEIS, R.L.; BURKHART, H.E. Cubic-foot volume equations for loblolly pine trees in cutover site-prepared plantations. **Southern Journal of Applied Forestry**, Bethesda, v. 11, n. 4, p.190-192, Nov.1987.
- ARHENS, S. A **mathematical expression of stem form and volume for loblolly pine in southern Brazil**. Stillwater: Oklahoma State University, 1980. 59p. (Dissertação de Mestrado em Ciência Florestal).
- BORGES, J.F. **Seccionamento do fuste de *Pinus taeda* L. para obtenção do volume de madeira serrada através de função de forma polinomial**. Curitiba: UFP, 1981. 81p. (Tese - Mestrado em Engenharia Florestal).
- CAMPOS, J.C.C.; LEITE, H.G.; OLIVEIRA, I.A. Variação da forma e do tronco de clones de *Eucalyptus*, em duas regiões. In: CONGRESSO FLORESTAL BRASILEIRO, 7 CONGRESSO FLORESTAL PANAMERICANO, 1, Curitiba, 1993. **Anais...** Curitiba: SBS/SBEF, 1993, v.2, p. 559-565.
- CAMPOS, J.C.C.; LIMA, F.S.; PAULA NETO, F.; REGAZZI, A.J.; RIBEIRO, G.A. “**Taper**”, **volume e altura** *Pinus elliotti*. Viçosa, SIF, 1987. 84p. (Boletim Técnico, 1)
- CAMPOS, J.C.C.; RIBEIRO, J.C. Avaliação de dois modelos de taper em árvores de *Pinus patula*, **Revista Árvore**, Viçosa, v.6, n.2, p. 140-149, jul./dez.1982.
- CAMPOS, J.C.C.; ZUNCONI, J.M.; RIBEIRO, J.C. Teste de um novo modelo para expressar “taper”. In: SEMINÁRIO SOBRE ATUALIDADES E PERSPECTIVAS FLORESTAIS: o uso de funções de forma de tronco em estudos de volumetria de espécies florestais, 5, 1982. **Anais...** Curitiba: EMBRAPA/ URPFCS, 1982. p. 47-50.
- CLUTTER, J.L. Development of taper functions from variable-top merchantable volume equations. **Forest Science**, Washington , v. 26, n. 1, p.117-120, Mar. 1980.
- FIGUEIREDO FILHO, A.; BORDERS, B.E.; HITCH, K.L. Taper equations for *Pinus taeda* plantations in southern Brazil. **Forest Ecology and Management**, Amsterdam, v. 83, p.36-46, 1996.
- FIGUEIREDO FILHO, A.; OLIVEIRA, C.G.de; MOURA, J.B.de; CUNHA, U.S.da. Conversão de equações de volume em equações de forma compatíveis para *Pinus elliotti*. In: CONGRESSO FLORESTAL BRASILEIRO, 7 CONGRESSO FLORESTAL PANAMERICANO, 1, Curitiba, 1993. **Anais...** Curitiba: SBS/SBEF, 1993. v.2, p. 501-503.
- FRIEDL, R.A. **Dinâmica da forma dos fustes em povoamentos plantados de Araucária angustifolia (Bert) O. Ktze.** Curitiba: UFP, 1989. 166p. (Dissertação - Mestrado em Engenharia Florestal).

- GARCIA, S.R.L.; LEITE, H.G.; YARED, J.A.G. Análise do perfil do tronco de Morototó (*Didymopanax morototoni*) em função do espaçamento. In: CONGRESSO FLORESTAL BRASILEIRO, 7 CONGRESSO FLORESTAL PANAMERICANO, 1, Curitiba, 1993. **Anais...** Curitiba: SBS/SBEF, 1993. v.2, p. 504-509.
- GOLFARI, L.; CASER, R.L.; MOURA, V.P.G. **Zoneamento ecológico esquemático para florestamento no Brasil.** Belo Horizonte: Centro de Pesquisa Florestal da Região do Cerrado, 1978. 66p.
- GUIMARÃES, D.P. **Uso de curva de potência na determinação de séries relativas contínuas de forma para espécies florestais.** Brasília: EMBRAPA-CPAC, 1982. 24p. (Boletim de Pesquisa, 14).
- GUIMARÃES, D.P.; LEITE, H.G. Um novo modelo para descrever o perfil do tronco. **Revista Árvore**, Viçosa, v. 16, n.2, p.170-180, maio/ago. 1992.
- HOJER, A.G. **Tallers och granenes tillraxt.** Biran till Fr. Loven. Om vara barrskogar. Stocklan, 1903.
- HRADETZKY, J. **Analyse und interpretation statistisher abränger keiten. (Biometrische Beiträge zu aktuellen forschungs projekten).** Baden - Württemberg Mitteilungen der FVA, Helf 76, 1976. 146p. (Abt. Biometric und Informatik, 21).
- INSTITUTO AGRONÔMICO DO PARANÁ. **Cartas climáticas do estado do Paraná.** Londrina, 1994. 49p. (Documentos, 18).
- JORGE, L.A.B. **Utilização de curvas de forma em séries relativas transformadas nas estimativas de volume totais e parciais de árvores de *Pinus taeda* L.** Curitiba: UFP, 1982. 91p. (Dissertação - Mestrado em Engenharia Florestal).
- JORGE, L.A.B.; LARA, H.A. Programa de sortimento de madeira serrada de povoamentos de *Pinus elliotti* com alternativas de produtos padronizados. In: CONGRESSO FLORESTAL BRASILEIRO, 7 CONGRESSO FLORESTAL PANAMERICANO, 1, Curitiba, 1993. **Anais...** Curitiba: SBS/SBEF, 1993. v.2, p. 539-544.
- LIMA, F.S. **Análise de funções “taper” destinadas à avaliação de multiprodutos de árvores de *Pinus elliotti*.** Viçosa: UFV, 1986. 70p. (Tese-Mestrado em Ciências Florestais).
- MAACK, R. **Geografia física do estado do Paraná.** 2. ed. Rio de Janeiro: J. Olympo/ Curitiba: Secretaria da Cultura e do Esporte do Paraná, 1981. 450p.
- MACHADO, S.do A.; SCHOPFER, W. Estimativa volumétrica de madeira serrada cp,p instrumento de apoio às tomadas de decisões de investimento na utilização de plantações de Pinus. In: CONGRESSO FLORESTAL BRASILEIRO, 4, Belo Horizonte. **Anais...** Belo Horizonte: SBS/SBEF, 1982. p.657-660.

ROSOT, M.A.D. **Estudo comparativo de métodos para avaliação volumétrica por unidade de área em povoamento de *Pinus taeda* L.** Curitiba: UFP, 1989. 163p. (Dissertação - Mestrado em Engenharia Florestal).

SCHNEIDER, P.R. Forma de tronco e sortimentos para *Pinus elliottii* Engelm, da floresta nacional de Passo Fundo, Rio Grande do Sul. **Acta Forest Brasil**, Curitiba, 1, 1986 p. 43-64.

SCHOEPFER, W. **Automatisierung des Massen, Sorten und Wertberechnung stenender Waldbestände Schriftenreihe Bad.** [S.l.]: Wurtt-Forstl., 1966. n.p.

SCOLFORO, J.R.S. **Modelo de prognose com simulador de desbaste para *Pinus taeda* e *Pinus elliottii*.** Lavras: UFLA/FAEPE, 1997. 75p.

SILVA, J.A. Funções de forma dos troncos de (*Pinus taeda*, *Picea exelsa*, *Abies alba* e *Pinus silvestris*). In: SEMINÁRIO SOBRE ATUALIDADES E PERSPECTIVAS FLORESTAIS: o uso de funções de forma de tronco em estudo de volumetria de espécies florestais, 5, Curitiba, 1982. **Anais...** Curitiba: EMBRAPA, 1982. p.29-45. (Documento, 9).

SOARES, J.B. **Otimização do sortimento de produtos florestais a partir de funções de distribuição diamétrica e funções de forma.** Viçosa: UFV, 1993. 105p. (Tese - Mestrado em Engenharia Florestal).

APÊNDICES

APÊNDICE 2.1

- Estatísticas para as estimativas dos perfis da árvore de *Pinus taeda* por classe diamétrica e região.

TABELA 2.1. Estatísticas para as estimativas dos perfis da árvore de *Pinus taeda* na classe de 20 a 25 cm de diâmetro, para região de Ouro Verde, para os modelos testados com seus respectivos parâmetros: D = desvio; SD = desvio padrão das diferenças; SSRR = soma do quadrado das diferenças; RP = porcentagem dos resíduos.

Mod.	Est.	Alturas relativas (%)															Média	
		0	1	2	3	4	5	10	15	25	35	45	55	65	75	85	95	
1	D	0,7	-0,84	-1,76	-1,31	-0,97	-0,78	0,09	-0,07	-0,28	-0,69	-0,39	0,32	-0,04	-0,13	0,00	0,00	-0,44
	SD	1,02	0,75	0,16	0,11	0,14	0,16	0,07	0,10	0,11	0,06	0,17	0,50	0,79	0,16	0,00	0,00	0,31
	SSRR	0,012	0,016	0,029	0,017	0,011	0,009	0,001	0,002	0,004	0,01	0,01	0,03	0,08	0,02	0,00	0,00	0,02
	RP	2,23	-3,38	-7,31	-5,52	-4,22	-3,49	0,38	-0,37	-1,52	-4,18	-2,73	2,13	-1,97	-2,14	0,00	0,00	-2,29
2	D	-0,24	-0,78	-1,27	-0,81	-0,60	-0,57	-0,35	-0,62	-0,25	-0,31	-0,27	0,06	-0,2	0,18	0,00	0,00	-0,43
	SD	1,02	0,75	0,18	0,12	0,15	0,16	0,07	0,11	0,11	0,05	0,17	0,50	0,79	0,16	0,00	0,00	0,31
	SSRR	0,011	0,015	0,017	0,0077	0,006	0,006	0,003	0,007	0,003	0,003	0,008	0,029	0,09	0,018	0,00	0,00	0,016
	RP	-1,06	-3,18	-5,32	-3,45	-2,62	-2,57	-1,65	-3,09	-1,34	-1,86	-1,89	-0,005	-3,63	1,87	0,00	0,00	-2,13
3	D	6,26	3,81	2,07	1,79	1,50	1,12	0,22	-0,63	-0,92	-1,51	-2,11	-2,46	-3,21	-2,59	0,00	0,00	0,24
	SD	1,31	0,97	0,23	0,17	0,19	0,26	0,11	0,11	0,20	0,12	0,25	0,53	0,83	0,16	0,00	0,00	0,39
	SSRR	0,24	0,11	0,04	0,03	0,02	0,01	0,002	0,007	0,02	0,05	0,12	0,26	0,77	0,46	0,00	0,00	0,15
	RP	21,5	14,3	8,37	7,40	6,27	4,78	0,98	-3,14	-4,93	-9,16	-14,74	-20,75	-35,96	-32,76	0,00	0,00	-4,098
4	D	7,06	4,61	2,89	2,63	2,35	1,99	1,16	0,39	0,26	-0,20	-0,67	-0,93	-1,61	-0,98	0,00	0,00	1,35
	SD	1,08	0,79	0,23	0,15	0,16	0,17	0,07	0,11	0,14	0,07	0,22	0,52	0,80	0,15	0,00	0,00	0,33
	SSRR	0,30	0,16	0,07	0,06	0,05	0,04	0,015	0,004	0,004	0,003	0,02	0,07	0,28	0,09	0,00	0,00	0,08
	RP	24,3	17,4	11,76	10,91	9,9	8,57	5,39	1,98	1,44	-1,17	-4,70	-8,14	-18,51	-12,7	0,00	0,00	3,31

1 = Polinômio de quinto grau; 2 = Polinômio de potência fracionária; 3 = Modelo de Clutter : 4 = Modelo de Amateis e Burkhart

TABELA 2.2. Estatísticas para as estimativas dos perfis da árvore de *Pinus taeda* na classe de 25 a 30 cm de diâmetro, para região de Ouro Verde, para os modelos testados com seus respectivos parâmetros: D = desvio; SD = desvio padrão das diferenças; SSRR = soma do quadrado das diferenças; RP = porcentagem dos resíduos.

Mod.	Est.	Alturas relativas (%)															Média	
		0	1	2	3	4	5	10	15	25	35	45	55	65	75	85	95	
1	D	2,86	0,09	-1,08	-0,96	-0,86	-0,66	-0,11	-0,20	-1,09	-1,53	-0,98	-0,28	0,23	-0,43	0,11	0,00	-0,32
	SD	3,59	1,44	0,65	0,46	0,15	0,03	0,17	0,18	0,27	0,18	0,28	0,26	0,38	0,46	0,43	0,00	0,59
	SSRR	0,046	0,012	0,013	0,010	0,006	0,003	0,002	0,003	0,02	0,04	0,03	0,01	0,02	0,06	0,05	0,00	0,02
	RP	7,47	0,08	-3,71	-3,38	-3,07	-2,39	-0,47	-0,93	-5,45	-8,33	-6,12	-2,19	1,44	-5,30	0,20	0,00	-2,14
2	D	1,32	0,27	-0,35	-0,23	-0,29	-0,33	-0,71	-0,98	-1,07	-0,97	-0,76	-0,68	-0,12	0,08	-0,09	0,00	-0,33
	SD	3,65	1,43	0,66	0,45	0,15	0,03	0,16	0,17	0,27	0,19	0,29	0,26	0,38	0,47	0,43	0,00	0,60
	SSRR	0,025	0,012	0,007	0,005	0,002	0,001	0,006	0,012	0,02	0,02	0,02	0,02	0,02	0,04	0,06	0,00	0,02
	RP	3,26	0,61	-1,28	-0,85	-1,11	-1,21	-2,88	-4,26	-5,38	-5,37	-4,82	-4,93	-1,40	-0,20	-2,34	0,00	-2,14
3	D	8,83	4,90	2,69	1,89	1,18	0,67	-1,06	-2,04	-2,90	-3,25	-3,36	-3,56	-3,28	-3,13	-1,79	0,00	-0,28
	SD	3,93	1,77	0,90	0,64	0,28	0,08	0,09	0,09	0,32	0,22	0,31	0,27	0,40	0,35	0,36	0,00	0,67
	SSRR	0,30	0,12	0,04	0,025	0,011	0,003	0,01	0,04	0,11	0,16	0,22	0,33	0,39	0,59	0,35	0,00	0,18
	RP	23,7	14,8	8,75	6,35	4,08	2,40	-4,27	-8,76	-14,2	-17,5	-20,35	-24,84	-26,7	-32,4	-23,3	0,00	-7,48
4	D	9,82	5,91	3,72	2,94	2,25	1,76	0,12	-0,76	-1,45	-1,62	-1,59	-1,66	-1,30	-1,12	0,13	0,00	1,14
	SD	3,45	1,44	0,69	0,46	0,16	0,03	0,15	0,16	0,22	0,15	0,25	0,26	0,40	0,43	0,42	0,00	0,58
	SSRR	0,34	0,17	0,08	0,05	0,03	0,02	0,002	0,008	0,03	0,04	0,06	0,08	0,09	0,12	0,05	0,00	0,08
	RP	26,5	17,9	12,2	9,96	7,87	6,35	0,43	-3,29	-7,13	-8,82	-9,72	-11,7	-10,8	-12,2	0,40	0,00	1,20

1 = Polinômio de quinto grau: 2 = Polinômio de potência fracionária: 3 = Modelo de Clutter : 4 = Modelo de Amateis e Burkhart

TABELA 2.3. Estatísticas para as estimativas dos perfis da árvore de *Pinus taeda* na classe de 30 a 35 cm de diâmetro, para região de Ouro Verde, para os modelos testados com seus respectivos parâmetros: D = desvio; SD = desvio padrão das diferenças; SSRR = soma do quadrado das diferenças; RP = porcentagem dos resíduos.

Mod.	Est.	Alturas relativas (%)															Média	
		0	1	2	3	4	5	10	15	25	35	45	55	65	75	85	95	
1	D	4,36	-0,76	-1,77	-1,44	-1,26	-1,13	0,84	0,84	-0,14	-0,97	-1,09	-0,70	0,24	-0,67	-1,59	0,00	-0,35
	SD	8,98	0,61	0,29	0,24	0,06	0,15	0,35	0,21	0,46	0,96	0,55	0,72	1,79	0,25	0,11	0,00	1,05
	SSRR	0,07	0,006	0,015	0,012	0,008	0,008	0,007	0,007	0,03	0,006	0,03	0,03	0,06	0,03	0,24	0,00	0,037
	RP	9,5	-2,18	-5,25	-4,41	-3,94	-3,61	2,80	3,02	-0,72	-4,61	-5,56	-4,28	0,52	-6,02	-21,01	0,00	-3,05
2	D	1,12	0,52	-0,47	-0,40	-0,54	-0,74	-0,006	-0,32	-0,43	-0,28	-0,38	-0,77	-0,50	-1,06	-0,7	0,00	-0,33
	SD	8,83	0,60	0,28	0,24	0,06	0,15	0,36	0,21	0,46	0,95	0,54	0,72	1,81	0,259	0,11	0,00	1,04
	SSRR	0,031	0,004	0,003	0,003	0,002	0,004	0,003	0,003	0,008	0,02	0,01	0,03	0,07	0,06	0,06	0,00	0,02
	RP	1,89	1,37	-1,41	-1,24	-1,69	-2,38	-0,062	-1,22	-1,88	-1,53	-2,07	-4,61	-4,34	-9,47	-9,46	0,00	-2,54
3	D	10,22	3,82	1,66	0,96	0,22	-0,46	-1,27	-2,43	-3,32	-3,31	-3,22	-3,34	-2,99	-3,90	-3,97	0,00	-0,76
	SD	10,2	0,59	0,43	0,37	0,17	0,43	0,77	0,43	0,72	1,35	0,86	1,10	2,32	0,39	0,08	0,00	1,34
	SSRR	0,29	0,06	0,015	0,007	0,001	0,005	0,017	0,04	0,11	0,14	0,15	0,22	0,32	0,62	1,37	0,00	0,22
	RP	23,3	10,5	4,89	2,88	0,68	-1,49	-4,37	-8,95	-13,7	-15,06	-16,07	-19,15	-20,71	-34,22	-51,86	0,00	-9,55
4	D	11,6	5,20	3,06	2,38	1,66	1,00	0,29	-0,76	-1,45	-1,25	-1,01	-0,99	-0,57	-1,47	-1,66	0,00	1,07
	SD	9,27	0,59	0,28	0,24	0,06	0,16	0,40	0,21	0,46	0,99	0,58	0,76	1,87	0,29	0,11	0,00	1,08
	SSRR	0,37	0,10	0,04	0,03	0,01	0,006	0,004	0,006	0,02	0,04	0,03	0,04	0,08	0,10	0,26	0,00	0,08
	RP	26,5	14,3	9,02	7,19	5,18	3,21	0,98	-2,82	-6,05	-5,88	-5,15	-5,91	-4,77	-12,99	-21,95	0,00	0,06

1 = Polinômio de quinto grau: 2 = Polinômio de potência fracionária: 3 = Modelo de Clutter : 4 = Modelo de Amateis e Burkhart

TABELA 2.4. Estatísticas para as estimativas dos perfis da árvore de *Pinus taeda* na classe de 35 a 40 cm de diâmetro, para região de Ouro Verde, para os modelos testados com seus respectivos parâmetros: D = desvio; SD = desvio padrão das diferenças; SSRR = soma do quadrado das diferenças; RP = porcentagem dos resíduos.

Mod.	Est.	Alturas relativas (%)															Média	
		0	1	2	3	4	5	10	15	25	35	45	55	65	75	85	95	
1	D	1,17	-0,21	-0,80	-1,44	-0,66	-0,17	0,77	1,21	0,96	-0,35	-0,68	-0,38	0,29	0,06	-1,73	0,00	-0,13
	SD	1,67	1,35	0,38	0,45	0,26	0,25	0,38	0,55	0,78	2,13	2,72	2,01	1,72	1,63	0,65	0,00	1,13
	SSRR	0,009	0,006	0,004	0,009	0,003	0,001	0,005	0,01	0,01	0,03	0,04	0,04	0,04	0,07	0,04	0,00	0,04
	RP	2,33	-0,71	-2,04	-3,71	-1,69	-0,45	2,19	3,63	3,01	-1,83	-3,55	-2,69	0,77	-0,91	-23,39	0,00	-1,94
2	D	-1,36	0,91	0,338	-0,55	-0,09	0,06	-0,19	0,0008	0,80	0,53	0,12	-0,52	-0,59	-0,34	-0,77	0,00	-0,11
	SD	1,51	1,39	0,38	0,42	0,24	0,24	0,39	0,56	0,78	2,14	2,72	2,01	1,71	1,63	0,65	0,00	1,12
	SSRR	0,012	0,008	0,002	0,003	0,001	0,001	0,003	0,004	0,01	0,03	0,04	0,05	0,06	0,08	0,15	0,00	0,03
	RP	-3,26	1,93	0,77	-1,4	-0,21	0,16	-0,58	-0,062	2,50	1,42	-0,23	-3,35	-4,37	-3,92	-11,28	0,00	-1,46
3	D	7,39	4,63	2,82	1,07	0,88	0,49	-1,50	-2,30	-2,44	-2,95	-3,28	-3,81	-4,12	-4,64	-5,62	0,00	-0,89
	SD	1,51	1,30	0,52	0,63	0,50	0,60	0,65	0,89	1,05	2,41	3,10	2,12	1,62	1,60	0,59	0,00	1,27
	SSRR	0,13	0,06	0,03	0,007	0,005	0,004	0,014	0,03	0,05	0,10	0,15	0,24	0,37	0,78	2,81	0,00	0,32
	RP	16,04	10,72	6,91	2,81	2,34	1,32	-4,36	-7,09	-8,27	-11,43	-14,30	-19,21	-24,61	-36,43	-72,21	0,00	-10,52
4	D	8,54	5,82	4,03	2,31	2,15	1,79	-0,06	-0,72	-0,61	-0,88	-0,98	-1,33	-1,51	-1,97	-3,05	0,00	0,90
	SD	1,95	1,49	0,39	0,44	0,27	0,27	0,43	0,62	0,78	2,11	2,76	1,96	1,70	1,63	0,65	0,00	1,16
	SSRR	0,176	0,095	0,05	0,02	0,018	0,013	0,003	0,008	0,01	0,03	0,05	0,07	0,1	0,22	0,95	0,00	0,12
	RP	18,56	13,49	9,90	6,02	5,66	4,77	-0,19	-2,27	-2,18	-3,76	-4,78	-7,24	-9,56	-16,25	-39,97	0,00	-1,85

1 = Polinômio de quinto grau: 2 = Polinômio de potência fracionária: 3 = Modelo de Clutter : 4 = Modelo de Amateis e Burkhart

TABELA 2.5. Estatísticas para as estimativas dos perfis da árvore de *Pinus taeda* na classe de 20 a 25 cm de diâmetro, para região de Jaguariaíva, para os modelos testados com seus respectivos parâmetros: D = desvio; SD = desvio padrão das diferenças; SSRR = soma do quadrado das diferenças; RP = porcentagem dos resíduos.

Mod.	Est.	Alturas relativas (%)															Média	
		0	1	2	3	4	5	10	15	25	35	45	55	65	75	85	95	
1	D	0,41	-0,13	-0,38	-0,30	-0,50	-0,40	0,014	0,20	-0,34	-0,58	-0,52	-0,08	-1,17	-0,92	0,00	0,00	-0,34
	SD	0,71	0,40	0,49	0,47	0,08	0,30	0,10	0,18	1,92	1,29	1,79	1,95	2,29	0,33	0,00	0,00	0,88
	SSRR	0,007	0,005	0,008	0,007	0,003	0,006	0,002	0,003	0,05	0,05	0,09	0,12	0,42	0,12	0,00	0,00	0,064
	RP	1,16	-0,67	-1,66	-1,37	-2,06	-1,77	0,05	0,87	-2,58	-3,91	-4,67	-2,62	-17,7	-13,52	0,00	0,00	-3,60
2	D	-0,32	1,42	1,41	1,49	1,20	1,18	1,12	1,28	1,29	1,24	0,88	0,99	0,42	-0,24	0,00	0,00	0,95
	SD	0,68	0,46	0,56	0,51	0,09	0,31	0,09	0,18	1,88	1,24	1,76	1,94	2,30	0,35	0,00	0,00	0,88
	SSRR	0,008	0,017	0,018	0,02	0,012	0,015	0,014	0,021	0,061	0,055	0,076	0,12	0,19	0,04	0,00	0,00	0,05
	RP	-1,33	4,89	5,08	5,58	4,80	4,77	5,08	6,04	6,00	6,57	4,66	6,03	0,66	-4,34	0,00	0,00	3,89
3	D	8,31	6,76	5,62	4,91	4,02	3,49	1,87	1,18	0,36	-0,22	-1,34	-2,49	-4,69	-4,43	0,00	0,00	1,67
	SD	1,42	1,09	1,07	0,83	0,24	0,42	0,09	0,23	1,80	1,16	1,70	1,92	2,29	0,33	0,00	0,00	1,04
	SSRR	0,40	0,29	0,23	0,18	0,13	0,11	0,04	0,02	0,04	0,04	0,13	0,40	2,18	1,59	0,00	0,00	0,41
	RP	27,9	24,0	20,8	18,8	16,1	14,3	8,4	5,53	1,09	-1,86	-10,14	-21,9	-58,4	-61,2	0,00	0,00	-1,17
4	D	4,90	3,41	2,34	1,69	0,86	0,39	-0,92	-1,29	-1,48	-1,43	-1,91	-2,41	-3,98	-3,09	0,00	0,00	-0,21
	SD	1,09	0,72	0,79	0,65	0,14	0,38	0,11	0,20	1,86	1,22	1,77	1,96	2,29	0,33	0,00	0,00	0,96
	SSRR	0,14	0,08	0,04	0,03	0,007	0,006	0,01	0,023	0,09	0,08	0,19	0,39	1,69	0,82	0,00	0,00	0,26
	RP	16,4	12,0	8,55	6,3	3,4	1,5	-4,19	-6,26	-8,61	-8,82	-13,93	-21,34	-50,17	-43,14	0,00	0,00	-7,73

1 = Polinômio de quinto grau: 2 = Polinômio de potência fracionária: 3 = Modelo de Clutter : 4 = Modelo de Amateis e Burkhart

TABELA 2.6. Estatísticas para as estimativas dos perfis da árvore de *Pinus taeda* na classe de 25 a 30 cm de diâmetro, para região de Jaguariaíva, para os modelos testados com seus respectivos parâmetros: D = desvio; SD = desvio padrão das diferenças; SSRR = soma do quadrado das diferenças; RP = porcentagem dos resíduos.

Mod.	Est.	Alturas relativas (%)															Média	
		0	1	2	3	4	5	10	15	25	35	45	55	65	75	85	95	
1	D	1,79	-0,016	-0,41	-0,45	-0,68	-0,40	0,63	0,74	0,42	-0,22	0,44	1,35	1,90	0,04	0,62	0,00	0,38
	SD	1,00	0,97	0,51	0,33	0,11	0,07	0,16	0,52	0,75	0,29	0,37	0,53	0,85	1,70	0,14	0,00	0,55
	SSRR	0,018	0,007	0,005	0,004	0,004	0,002	0,005	0,01	0,01	0,007	0,01	0,04	0,11	0,17	0,04	0,00	0,03
	RP	4,95	-0,26	-1,47	-1,60	-2,41	-1,46	2,46	2,93	1,70	-1,12	2,29	7,77	12,57	-2,22	8,18	0,00	2,15
2	D	0,29	-0,003	0,32	0,32	-0,07	-0,01	0,096	-0,029	0,339	0,269	0,717	1,01	1,46	0,61	0,38	0,00	0,38
	SD	0,96	0,95	0,51	0,33	0,11	0,07	0,17	0,54	0,75	0,28	0,36	0,54	0,87	1,67	0,14	0,00	0,55
	SSRR	0,007	0,007	0,004	0,003	0,001	0,0007	0,002	0,007	0,001	0,006	0,01	0,03	0,07	0,16	0,02	0,00	0,02
	RP	0,63	-0,21	0,93	1,01	-0,24	-0,06	0,39	-0,19	1,34	1,28	3,71	5,76	9,56	3,67	4,92	0,00	2,17
3	D	11,2	8,32	6,98	6,06	5,08	4,66	3,37	2,40	1,65	0,80	0,56	0,05	-0,67	-3,28	-3,37	0,00	2,92
	SD	1,71	1,45	0,72	0,40	0,12	0,13	0,03	0,36	0,57	0,16	0,23	0,39	0,76	1,68	0,14	0,00	0,59
	SSRR	0,52	0,34	0,26	0,21	0,16	0,14	0,08	0,05	0,03	0,01	0,009	0,01	0,04	0,92	0,88	0,00	0,25
	RP	32	25,92	22,82	20,53	17,89	16,72	12,96	9,72	7,16	3,86	2,89	0,16	-5,02	-35,9	-46,3	0,00	5,69
4	D	6,80	3,97	2,70	1,86	0,95	0,60	-0,32	-0,92	-0,92	-1,02	-0,50	-0,24	-0,20	-2,06	-1,46	0,00	0,61
	SD	1,32	1,28	0,65	0,39	0,12	0,09	0,10	0,51	0,74	0,25	0,32	0,50	0,83	1,68	0,15	0,00	0,60
	SSRR	0,19	0,08	0,04	0,02	0,007	0,003	0,002	0,01	0,02	0,02	0,01	0,01	0,03	0,51	0,19	0,00	0,08
	RP	19,3	12,2	8,76	6,24	3,32	2,14	-1,23	-3,85	-4,25	-5,01	-2,70	-1,59	-1,81	-23,49	-20,28	0,00	-0,81

1 = Polinômio de quinto grau: 2 = Polinômio de potência fracionária: 3 = Modelo de Clutter : 4 = Modelo de Amateis e Burkhart

TABELA 2.7. Estatísticas para as estimativas dos perfis da árvore de *Pinus taeda* na classe de 30 a 35 cm de diâmetro, para região de Jaguariaíva, para os modelos testados com seus respectivos parâmetros: D = desvio; SD = desvio padrão das diferenças; SSRR = soma do quadrado das diferenças; RP = porcentagem dos resíduos.

Mod.	Est.	Alturas relativas (%)															Média	
		0	1	2	3	4	5	10	15	25	35	45	55	65	75	85	95	
1	D	1,24	0,58	-0,31	0,58	-0,11	-0,36	1,14	1,11	0,57	-0,12	0,24	0,49	0,47	-2,03	-0,78	0,00	0,10
	SD	2,01	1,40	0,99	0,52	0,23	0,13	0,12	0,15	0,38	0,70	0,75	0,41	0,91	0,73	0,18	0,00	0,64
	SSRR	0,01	0,007	0,006	0,005	0,001	0,001	0,007	0,008	0,005	0,008	0,009	0,01	0,026	0,26	0,09	0,00	0,03
	RP	2,73	1,26	-1,03	-1,71	-0,34	-1,12	3,54	3,63	1,85	-0,76	0,71	2,17	2,11	-19,29	-10,8	0,00	-1,14
2	D	-0,31	0,36	0,50	0,34	0,64	0,12	0,44	0,16	0,58	0,56	0,49	-0,02	0,04	-1,37	-0,99	0,00	0,10
	SD	1,96	1,38	1,02	0,53	0,23	0,13	0,12	0,14	0,38	0,72	0,76	0,40	0,90	0,73	0,18	0,00	0,64
	SSRR	0,009	0,007	0,006	0,003	0,003	0,0009	0,002	0,001	0,005	0,009	0,01	0,008	0,02	0,15	0,13	0,00	0,03
	RP	-0,98	0,72	1,14	0,87	1,81	0,30	1,33	0,46	1,90	1,85	1,77	-0,35	-0,46	-13,28	-13,58	0,00	-1,10
3	D	14,81	12,64	10,43	8,99	8,44	7,28	5,90	4,81	4,32	3,58	2,65	0,96	-0,62	-4,05	-4,82	0,00	5,02
	SD	3,39	2,53	2,09	1,06	0,51	0,59	0,47	0,53	0,83	1,27	1,16	0,64	1,10	0,75	0,19	0,00	1,14
	SSRR	0,62	0,51	0,39	0,32	0,29	0,23	0,17	0,13	0,12	0,09	0,07	0,02	0,04	0,80	2,16	0,00	0,39
	RP	35,2	31,7	27,8	25,0	24,0	21,4	18,4	15,8	15,0	13,3	10,8	4,34	-4,53	-37,5	-64,7	0,00	9,08
4	D	8,94	6,86	4,74	3,38	2,92	1,85	0,92	0,27	0,69	0,87	0,87	0,12	-0,51	-2,99	-2,89	0,00	1,74
	SD	2,78	2,01	1,55	0,75	0,31	0,30	0,23	0,26	0,55	0,97	0,95	0,52	0,99	0,72	0,18	0,00	0,87
	SSRR	0,23	0,15	0,08	0,05	0,04	0,02	0,005	0,003	0,008	0,01	0,02	0,009	0,04	0,47	0,81	0,00	0,13
	RP	21,1	17,2	12,5	9,35	8,28	5,39	2,80	0,79	2,25	2,98	3,30	0,27	-3,81	-27,98	-38,91	0,00	1,03

1 = Polinômio de quinto grau: 2 = Polinômio de potência fracionária: 3 = Modelo de Clutter : 4 = Modelo de Amateis e Burkhart

TABELA 2.8. Estatísticas para as estimativas dos perfis da árvore de *Pinus taeda* na classe de 35 a 40 cm de diâmetro, para região de Jaguariaíva, para os modelos testados com seus respectivos parâmetros: D = desvio; SD = desvio padrão das diferenças; SSRR = soma do quadrado das diferenças; RP = porcentagem dos resíduos.

Mod.	Est.	Alturas relativas (%)															Média	
		0	1	2	3	4	5	10	15	25	35	45	55	65	75	85	95	
1	D	2,92	0,27	-1,19	-1,25	-1,86	-1,38	0,20	1,00	0,99	0,22	-1,22	-1,25	1,44	2,35	-1,86	0,00	-0,04
	SD	0,76	0,55	0,55	0,48	0,29	0,15	0,43	0,24	0,27	0,30	0,67	0,63	0,52	0,06	0,34	0,00	0,42
	SSRR	0,02	0,002	0,007	0,007	0,01	0,007	0,003	0,006	0,007	0,003	0,02	0,03	0,04	0,13	0,24	0,00	0,036
	RP	6,06	0,57	-2,91	-3,12	-4,86	-3,63	0,54	2,98	3,19	0,75	-4,90	-5,75	7,25	15,87	-20,06	0,00	-0,53
2	D	0,40	-0,17	-0,30	0,021	-0,58	-0,25	0,0001	-0,59	-0,27	0,33	0,04	-0,26	0,62	0,21	0,39	0,00	-0,0002
	SD	0,72	0,54	0,53	0,45	0,26	0,14	0,43	0,26	0,29	0,30	0,69	0,61	0,52	0,06	0,36	0,00	0,41
	SSRR	0,003	0,002	0,003	0,002	0,003	0,001	0,003	0,002	0,003	0,003	0,009	0,01	0,01	0,003	0,03	0,00	0,006
	RP	0,76	-0,42	-0,74	0,05	-1,51	-0,64	-0,03	-0,57	-0,87	1,12	-0,06	-1,31	3,05	1,36	3,35	0,00	0,24
3	D	17,85	14,02	11,48	10,41	8,87	8,48	6,74	5,61	4,58	4,33	2,77	0,81	-0,031	-2,06	-3,95	0,00	5,99
	SD	1,34	0,63	0,24	0,13	0,05	0,008	0,35	0,09	0,19	0,16	0,84	0,52	0,50	0,06	0,37	0,00	0,36
	SSRR	0,698	0,512	0,39	0,34	0,27	0,25	0,18	0,14	0,11	0,11	0,06	0,014	0,01	0,10	0,94	0,00	0,28
	RP	37,3	31,98	27,9	26,1	23,2	22,5	19,04	16,7	14,7	14,7	10,4	3,49	-0,37	-13,98	-41,82	0,00	12,79
4	D	10,6	6,91	4,48	3,51	2,07	1,78	0,56	-0,052	-0,037	0,77	0,30	-0,56	-0,29	-1,21	-2,04	0,00	1,79
	SD	1,08	0,58	0,34	0,26	0,13	0,05	0,38	0,18	0,24	0,23	0,75	0,56	0,50	0,06	0,35	0,00	0,38
	SSRR	0,25	0,13	0,06	0,04	0,01	0,01	0,003	0,001	0,002	0,005	0,01	0,01	0,01	0,037	0,29	0,00	0,058
	RP	22,2	15,7	10,9	8,79	5,42	4,74	1,55	-0,15	-0,14	2,61	0,93	-2,66	-1,71	-8,24	-21,98	0,00	2,53

1 = Polinômio de quinto grau: 2 = Polinômio de potência fracionária: 3 = Modelo de Clutter : 4 = Modelo de Amateis e Burkhart

TABELA 2.9. Estatísticas para as estimativas dos perfis da árvore de *Pinus taeda* na classe de 20 a 25 cm de diâmetro, para região de Pouso Alto, para os modelos testados com seus respectivos parâmetros: D = desvio; SD = desvio padrão das diferenças; SSRR = soma do quadrado das diferenças; RP = porcentagem dos resíduos.

Mod.	Est.	Alturas relativas (%)															Média	
		0	1	2	3	4	5	10	15	25	35	45	55	65	75	85	95	
1	D	1,03	-0,28	-0,35	-0,43	-0,70	-0,26	0,50	0,54	-0,41	-0,93	-0,42	0,098	-0,09	-0,63	0,16	0,00	-0,14
	SD	1,05	0,58	0,33	0,34	0,30	0,20	0,18	0,32	0,47	0,33	0,29	0,35	0,12	0,05	0,02	0,00	0,33
	SSRR	0,01	0,008	0,005	0,006	0,008	0,003	0,005	0,009	0,01	0,02	0,01	0,01	0,008	0,03	0,004	0,00	0,01
	RP	3,23	-1,38	-1,47	-1,88	-2,88	-1,04	2,24	2,53	-2,38	-5,69	-2,93	0,49	-0,84	-7,27	2,31	0,00	-1,13
2	D	-0,16	0,47	0,33	0,005	-0,54	-0,36	-0,35	-0,23	-0,14	-0,16	-0,14	-0,33	-0,45	-0,15	-0,26	0,00	-0,16
	SD	1,02	0,64	0,35	0,36	0,30	0,21	0,18	0,32	0,47	0,33	0,29	0,36	0,12	0,05	0,03	0,00	0,33
	SSRR	0,009	0,008	0,005	0,004	0,007	0,004	0,005	0,007	0,011	0,009	0,010	0,020	0,017	0,007	0,007	0,00	0,009
	RP	-0,76	1,37	1,10	-0,18	-2,21	-1,45	-1,63	-1,24	-0,94	-1,11	-1,07	-2,71	-4,09	-1,82	-3,84	0,00	-1,37
3	D	5,82	3,41	2,37	1,42	0,41	0,19	-1,08	-1,71	-2,39	-2,67	-2,69	-2,93	-3,24	-3,15	-2,58	0,00	-0,59
	SD	1,93	1,29	0,79	0,79	0,68	0,51	0,45	0,72	0,93	0,65	0,59	0,51	0,22	0,08	0,01	0,00	0,68
	SSRR	0,192	0,081	0,046	0,023	0,011	0,008	0,021	0,052	0,111	0,150	0,186	0,279	0,447	0,652	0,424	0,00	0,179
	RP	19,08	11,99	8,79	5,37	1,64	0,83	-5,00	-8,48	-13,10	-16,08	-17,96	-22,39	-29,43	-35,79	-37,57	0,00	-9,21
4	D	7,25	4,86	3,84	2,91	1,92	1,73	0,55	0,01	-0,47	-0,58	-0,45	-0,56	-0,79	-0,69	-0,20	0,00	1,29
	SD	1,38	1,09	0,53	0,54	0,24	0,15	0,18	0,33	0,47	0,33	0,29	0,36	0,12	0,05	0,03	0,00	0,41
	SSRR	0,290	0,154	0,106	0,067	0,035	0,028	0,006	0,006	0,015	0,016	0,015	0,027	0,034	0,038	0,005	0,00	0,056
	RP	23,86	17,27	14,37	11,27	7,91	7,25	2,44	-0,06	-2,73	-3,63	-3,17	-4,50	-7,20	-7,95	-2,92	0,00	3,48

1 = Polinômio de quinto grau: 2 = Polinômio de potência fracionária: 3 = Modelo de Clutter : 4 = Modelo de Amateis e Burkhart

TABELA 2.10. Estatísticas para as estimativas dos perfis da árvore de *Pinus taeda* na classe de 25 a 30 cm de diâmetro, para região de Pouso Alto, para os modelos testados com seus respectivos parâmetros: D = desvio; SD = desvio padrão das diferenças; SSRR = soma do quadrado das diferenças; RP = porcentagem dos resíduos.

Mod.	Est.	Alturas relativas (%)															Média	
		0	1	2	3	4	5	10	15	25	35	45	55	65	75	85	95	
1	D	1,69	-0,32	-0,80	-0,97	-0,99	-0,60	1,07	0,89	0,22	-0,43	-0,15	0,13	0,16	-1,25	-0,15	0,00	-0,099
	SD	0,95	0,20	0,08	0,20	0,22	0,02	0,61	0,74	0,42	0,31	0,43	0,50	0,46	0,99	0,11	0,00	0,42
	SSRR	0,02	0,002	0,004	0,006	0,008	0,002	0,01	0,01	0,007	0,009	0,01	0,01	0,02	0,23	0,02	0,00	0,024
	RP	4,61	-1,13	-2,58	-3,19	-3,44	-2,12	3,75	3,32	0,64	-2,40	-1,32	0,40	0,72	-15,03	-1,63	0,00	-1,29
2	D	-0,04	0,35	0,02	-0,33	-0,61	-0,50	0,26	0,08	0,50	0,39	0,08	-0,47	-0,30	-0,57	-0,39	0,00	-0,10
	SD	1,05	0,23	0,08	0,17	0,21	0,025	0,57	0,71	0,44	0,35	0,45	0,48	0,44	0,98	0,13	0,00	0,42
	SSRR	0,006	0,002	0,0006	0,0019	0,004	0,002	0,007	0,009	0,008	0,007	0,0098	0,019	0,021	0,133	0,03	0,00	0,017
	RP	-0,11	0,91	0,03	-1,05	-2,14	-1,77	0,71	0,02	1,87	1,55	-0,08	-3,39	-2,84	-7,75	-4,35	0,00	-1,23
3	D	7,71	4,36	2,70	1,47	0,54	0,13	-0,74	-1,79	-2,15	-2,43	-2,72	-3,39	-3,73	-4,75	-4,11	0,00	-0,59
	SD	0,87	0,98	0,43	0,39	0,57	0,24	1,05	1,13	0,65	0,57	0,48	0,51	0,51	0,89	1,94	0,00	0,75
	SSRR	0,22	0,09	0,04	0,01	0,007	0,002	0,02	0,05	0,06	0,09	0,14	0,26	0,46	1,54	1,42	0,00	0,29
	RP	21,03	12,95	8,54	4,91	1,79	0,40	-3,17	-7,67	-9,91	-12,21	-15,33	-21,99	-29,18	-52,32	-47,2	0,00	-9,96
4	D	9,30	5,98	4,35	3,15	2,24	1,86	1,10	0,17	0,04	-0,03	-0,12	-0,64	-0,88	-1,86	-1,28	0,00	1,55
	SD	0,77	0,70	0,21	0,10	0,20	0,05	0,65	0,74	0,46	0,36	0,47	0,49	0,44	0,99	0,30	0,00	0,46
	SSRR	0,33	0,16	0,10	0,06	0,03	0,02	0,01	0,009	0,007	0,007	0,01	0,02	0,05	0,36	0,16	0,00	0,09
	RP	25,4	17,9	13,8	10,5	7,73	6,54	3,86	0,36	-0,18	-0,49	-1,22	-4,50	-7,28	-21,6	-14,7	0,00	2,42

1 = Polinômio de quinto grau: 2 = Polinômio de potência fracionária: 3 = Modelo de Clutter : 4 = Modelo de Amateis e Burkhart

TABELA 2.11. Estatísticas para as estimativas dos perfis da árvore de *Pinus taeda* na classe de 30 a 35 cm de diâmetro, para região de Pouso Alto, para os modelos testados com seus respectivos parâmetros: D = desvio; SD = desvio padrão das diferenças; SSRR = soma do quadrado das diferenças; RP = porcentagem dos resíduos.

Mod.	Est,	Alturas relativas (%)															Média	
		0	1	2	3	4	5	10	15	25	35	45	55	65	75	85	95	
1	D	1,44	-1,26	-1,41	-1,42	-0,80	-0,29	1,34	1,77	0,43	-0,25	-0,22	-0,54	-0,15	-1,08	-0,49	0,00	-0,19
	SD	8,37	0,68	0,57	0,50	0,13	0,17	0,44	0,65	1,00	1,14	2,39	0,31	0,09	0,28	0,19	0,00	1,13
	SSRR	0,04	0,009	0,01	0,01	0,004	0,002	0,01	0,02	0,01	0,01	0,04	0,01	0,004	0,07	0,05	0,00	0,02
	RP	2,87	-3,33	-3,95	-4,13	-2,34	-0,93	4,11	5,65	1,27	-1,33	-1,75	-3,11	-1,07	-9,96	-7,25	0,00	-1,69
2	D	-0,68	-1,07	-0,37	-0,38	-0,02	0,14	0,45	0,66	0,54	0,57	0,03	-1,13	-0,59	-0,40	-0,71	0,00	-0,20
	SD	8,70	0,69	0,60	0,53	0,14	0,18	0,42	0,62	1,01	1,16	2,40	0,31	0,09	0,29	0,19	0,00	1,16
	SSRR	0,04	0,008	0,004	0,004	0,001	0,001	0,004	0,007	0,01	0,01	0,03	0,03	0,01	0,02	0,08	0,00	0,02
	RP	-2,02	-2,86	-1,15	-1,20	-0,11	0,35	1,29	2,03	1,63	1,88	-0,59	-6,35	-3,96	-3,97	-10,38	0,00	-1,69
3	D	9,32	4,89	3,23	1,89	1,34	0,84	-0,59	-1,08	-1,69	-1,87	-2,79	-4,61	-4,94	-5,50	-5,80	0,00	-0,49
	SD	4,79	1,50	1,64	1,41	0,79	0,85	1,14	1,35	1,73	1,75	2,76	0,42	0,15	0,37	0,14	0,00	1,39
	SSRR	0,24	0,08	0,04	0,02	0,01	0,009	0,01	0,02	0,04	0,05	0,14	0,35	0,55	1,26	3,37	0,00	0,41
	RP	21,1	12,4	8,47	5,07	3,71	2,30	-2,10	-3,85	-6,53	-7,84	-13,4	-25,7	-32,9	-49,2	-81,4	0,00	-11,3
4	D	10,7	6,32	4,69	3,38	2,87	2,40	1,12	0,79	0,49	0,59	-0,06	-1,66	-1,81	-2,29	-2,70	0,00	1,66
	SD	6,87	0,83	0,80	0,68	0,21	0,26	0,46	0,65	1,04	1,19	2,40	0,31	0,096	0,27	0,21	0,00	1,09
	SSRR	0,31	0,13	0,08	0,05	0,03	0,02	0,009	0,008	0,01	0,01	0,04	0,05	0,08	0,24	0,77	0,00	0,12
	RP	24,27	16,13	12,50	9,35	8,17	6,95	3,41	2,44	1,46	1,96	-1,02	-9,29	-12,07	-20,7	-38,1	0,00	0,37

1 = Polinômio de quinto grau: 2 = Polinômio de potência fracionária: 3 = Modelo de Clutter : 4 = Modelo de Amateis e Burkhart

TABELA 2.12. Estatísticas para as estimativas dos perfis da árvore de *Pinus taeda* na classe de 35 a 40 cm de diâmetro, para região de Pouso Alto, para os modelos testados com seus respectivos parâmetros: D = desvio; SD = desvio padrão das diferenças; SSRR = soma do quadrado das diferenças; RP = porcentagem dos resíduos.

Mod.	Est.	Alturas relativas (%)															Média	
		0	1	2	3	4	5	10	15	25	35	45	55	65	75	85	95	
1	D	3,37	1,49	0,18	-0,33	-0,40	-0,49	0,62	0,54	-0,16	-0,98	-0,99	-0,73	-0,58	-1,28	-1,38	0,00	-0,07
	SD	2,78	1,37	0,69	0,36	0,14	0,006	0,21	0,47	0,72	1,71	1,88	0,20	1,04	2,59	2,02	0,00	1,08
	SSRR	0,03	0,01	0,003	0,002	0,001	0,0009	0,003	0,005	0,007	0,03	0,04	0,01	0,04	0,20	0,46	0,00	0,06
	RP	6,83	3,26	0,34	-0,86	-1,09	-1,32	1,75	1,57	-0,77	-4,15	-4,67	-3,52	-3,78	-12,4	-20,9	0,00	-2,65
2	D	1,14	1,53	1,11	0,74	0,54	0,20	0,0	-0,59	-0,56	-0,37	-0,35	-0,845	-1,24	-1,45	-0,77	0,00	-0,06
	SD	2,81	1,41	0,70	0,35	0,15	0,006	0,19	0,44	0,70	1,74	1,92	0,20	1,06	2,60	1,99	0,00	1,08
	SSRR	0,01	0,01	0,007	0,003	0,002	0,0002	0,001	0,006	0,009	0,02	0,03	0,01	0,06	0,22	0,30	0,00	0,047
	RP	2,20	3,33	2,58	1,85	1,36	0,53	-0,06	-2,024	-2,16	-1,92	-2,09	-4,01	-7,52	-13,8	-13,2	0,00	-2,33
3	D	10,11	6,73	4,06	2,34	1,19	0,15	-1,90	-3,22	-3,54	-3,21	-3,04	-3,69	-4,83	-6,28	-6,17	0,00	-0,75
	SD	2,41	1,20	0,85	0,29	0,29	0,07	0,35	0,64	0,89	2,02	2,16	0,32	1,02	2,55	2,01	0,00	1,14
	SSRR	0,22	0,12	0,05	0,02	0,006	0,0005	0,02	0,06	0,09	0,11	0,12	0,16	0,44	1,63	3,77	0,00	0,45
	RP	20,87	15,00	9,64	5,84	3,05	0,40	-5,66	-10,34	-12,39	-12,44	-12,99	-17,27	-28,18	-53,17	-80,72	0,00	-11,89
4	D	12,04	8,68	6,05	4,36	3,26	2,25	0,36	-0,80	-0,80	-0,18	0,25	-0,18	-1,16	-2,55	-2,61	0,00	1,93
	SD	2,71	1,34	0,79	0,33	0,20	0,01	0,22	0,47	0,73	1,80	2,00	0,22	1,04	2,63	2,06	0,00	1,10
	SSRR	0,31	0,19	0,11	0,06	0,04	0,02	0,002	0,008	0,01	0,02	0,02	0,004	0,05	0,41	0,97	0,00	0,15
	RP	24,9	19,4	14,4	10,9	8,43	6,04	0,99	-2,67	-2,98	-1,23	0,33	-0,97	-7,07	-22,87	-36,26	0,00	0,76

1 = Polinômio de quinto grau: 2 = Polinômio de potência fracionária: 3 = Modelo de Clutter : 4 = Modelo de Amateis e Burkhart

TABELA 2.13. Estatísticas para as estimativas dos perfis da árvore de *Pinus taeda* na classe de 20 a 25 cm de diâmetro, para região de Moquém, para os modelos testados com seus respectivos parâmetros: D = desvio; SD = desvio padrão das diferenças; SSRR = soma do quadrado das diferenças; RP = porcentagem dos resíduos.

Mod.	Est.	Alturas relativas (%)															Média	
		0	1	2	3	4	5	10	15	25	35	45	55	65	75	85	95	
1	D	0,52	-0,42	-0,64	-0,88	-0,99	-0,90	0,42	0,64	0,56	-0,28	0,22	0,62	0,51	-0,049	0,04	0,00	-0,043
	SD	3,59	0,90	0,39	0,47	0,30	0,47	0,02	0,33	0,47	0,21	0,16	0,31	1,11	0,67	0,21	0,00	0,64
	SSRR	0,03	0,01	0,009	0,02	0,01	0,02	0,002	0,01	0,01	0,007	0,005	0,02	0,07	0,07	0,007	0,00	0,02
	RP	0,85	-1,85	-2,71	-3,87	-4,32	-4,11	1,87	2,90	2,62	-1,76	1,28	4,37	3,51	-1,48	0,19	0,00	-0,17
2	D	-0,44	-0,71	-0,16	-0,23	-0,40	-0,46	-0,01	-0,11	0,36	0,12	0,53	0,48	0,25	0,18	-0,26	0,00	-0,057
	SD	3,51	0,87	0,42	0,51	0,31	0,48	0,02	0,31	0,46	0,21	0,16	0,31	1,12	0,66	0,20	0,00	0,64
	SSRR	0,04	0,01	0,006	0,01	0,007	0,01	0,0004	0,006	0,01	0,005	0,01	0,02	0,07	0,06	0,01	0,00	0,02
	RP	-2,39	-2,91	-0,87	-1,27	-1,86	-2,25	-0,09	-0,71	1,59	0,57	3,30	3,37	1,24	1,11	-3,88	0,00	-0,34
3	D	7,16	5,11	3,89	2,76	1,87	1,26	0,27	-0,49	-0,74	-1,49	-1,59	-2,17	-2,87	-3,09	-2,18	0,00	0,51
	SD	4,28	1,22	0,59	0,53	0,16	0,26	0,007	0,13	0,33	0,27	0,17	0,37	1,46	1,00	0,11	0,00	0,73
	SSRR	0,29	0,17	0,11	0,06	0,03	0,02	0,0009	0,006	0,01	0,05	0,06	0,15	0,49	0,79	0,18	0,00	0,16
	RP	23,2	18,1	14,5	10,6	7,58	5,17	1,25	-2,49	-4,02	-8,74	-10,14	-16,05	-26,99	-35,99	-29,52	0,00	-3,57
4	D	8,99	6,96	5,76	4,64	3,77	3,18	2,28	1,60	1,51	0,91	0,93	0,46	-0,17	-0,39	0,42	0,00	2,72
	SD	4,69	1,66	1,13	1,32	0,99	1,19	0,27	0,76	0,80	0,29	0,28	0,39	1,02	0,52	0,33	0,00	1,04
	SSRR	0,45	0,31	0,23	0,17	0,12	0,09	0,05	0,04	0,04	0,02	0,02	0,02	0,07	0,07	0,02	0,00	0,12
	RP	29,2	24,6	21,4	17,9	15,2	13,1	10,2	7,38	7,45	5,04	5,74	3,13	-2,57	-5,24	5,08	0,00	10,5

1 = Polinômio de quinto grau: 2 = Polinômio de potência fracionária: 3 = Modelo de Clutter : 4 = Modelo de Amateis e Burkhart

TABELA 2.14. Estatísticas para as estimativas dos perfis da árvore de *Pinus taeda* na classe de 25 a 30 cm de diâmetro, para região de Moquém, para os modelos testados com seus respectivos parâmetros: D = desvio; SD = desvio padrão das diferenças; SSRR = soma do quadrado das diferenças; RP = porcentagem dos resíduos.

Mod.	Est.	Alturas relativas (%)															Média	
		0	1	2	3	4	5	10	15	25	35	45	55	65	75	85	95	
1	D	1,44	0,48	-0,77	-1,15	-0,84	-0,43	0,69	0,98	-0,04	-0,59	-0,20	0,60	0,27	-0,43	0,17	0,00	0,01
	SD	2,23	1,19	2,21	1,06	0,81	0,80	0,19	0,19	0,39	0,62	0,79	1,85	1,14	2,67	1,98	0,00	1,21
	SSRR	0,02	0,009	0,02	0,02	0,01	0,009	0,006	0,01	0,007	0,02	0,02	0,06	0,06	0,33	0,13	0,00	0,05
	RP	3,56	1,17	-2,77	-3,90	-2,93	-1,55	2,67	3,99	-0,41	-3,34	-1,73	2,23	0,72	-9,11	-1,51	0,00	-0,86
2	D	-0,24	1,50	0,13	-0,59	-0,65	-0,61	-0,51	-0,08	0,49	0,82	0,62	0,24	-0,55	-0,66	0,29	0,00	0,013
	SD	2,19	1,21	2,22	1,05	0,81	0,81	0,23	0,22	0,40	0,69	0,83	1,76	1,12	2,65	1,98	0,00	1,21
	SSRR	0,01	0,02	0,02	0,01	0,01	0,01	0,004	0,003	0,008	0,02	0,02	0,06	0,08	0,37	0,13	0,00	0,05
	RP	-0,93	4,10	0,03	-2,04	-2,28	-2,15	-1,89	-0,26	1,99	3,56	2,75	-0,05	-5,37	-11,24	-0,02	0,00	-0,92
3	D	9,79	7,24	4,59	2,99	2,23	1,68	-0,22	-1,05	-1,97	-2,39	-2,82	-3,06	-3,50	-3,46	-3,80	0,00	0,42
	SD	2,23	1,20	1,81	0,55	0,39	0,33	0,07	0,15	0,69	0,94	1,04	2,10	1,44	2,96	2,25	0,00	1,21
	SSRR	0,34	0,22	0,11	0,05	0,03	0,02	0,001	0,01	0,06	0,11	0,18	0,34	0,50	1,26	1,51	0,00	0,31
	RP	25,8	20,5	13,9	9,75	7,48	5,79	-0,83	-4,22	-9,16	-12,34	-16,38	-21,07	-27,5	-38,1	-54,4	0,00	-6,71
4	D	11,23	8,71	6,09	4,52	3,78	3,26	1,48	0,78	0,10	-0,08	-0,30	-0,34	-0,63	-0,51	-1,02	0,00	2,47
	SD	3,30	1,91	3,16	1,69	1,33	1,38	0,53	0,48	0,14	0,33	0,47	1,24	0,76	2,16	1,86	0,00	1,38
	SSRR	0,45	0,32	0,19	0,12	0,09	0,07	0,02	0,01	0,002	0,007	0,01	0,05	0,06	0,28	0,28	0,00	0,13
	RP	29,6	24,8	18,6	14,7	12,7	11,2	5,69	3,22	0,35	-0,71	-2,16	-3,45	-5,71	-9,38	-17,2	0,00	5,50

1 = Polinômio de quinto grau: 2 = Polinômio de potência fracionária: 3 = Modelo de Clutter : 4 = Modelo de Amateis e Burkhart

TABELA 2.15. Estatísticas para as estimativas dos perfis da árvore de *Pinus taeda* na classe de 30 a 35 cm de diâmetro, para região de Moquém, para os modelos testados com seus respectivos parâmetros: D = desvio; SD = desvio padrão das diferenças; SSRR = soma do quadrado das diferenças; RP = porcentagem dos resíduos.

Mod.	Est.	Alturas relativas (%)															Média	
		0	1	2	3	4	5	10	15	25	35	45	55	65	75	85	95	
1	D	2,91	-0,59	-1,15	-1,07	-1,08	-1,12	1,69	1,17	0,32	-0,60	-0,07	1,10	1,51	-0,33	1,30	0,00	0,27
	SD	9,44	4,74	1,37	0,76	0,12	0,03	0,30	0,67	0,79	1,05	4,54	4,54	3,93	4,29	1,63	0,00	2,55
	SSRR	0,05	0,02	0,01	0,01	0,006	0,006	0,02	0,02	0,01	0,02	0,14	0,16	0,19	0,62	0,08	0,00	0,09
	RP	5,79	-1,82	-3,27	-3,13	-3,21	-3,50	5,59	4,20	1,08	-2,89	-2,67	3,12	6,15	-10,3	10,9	0,00	0,40
2	D	-0,16	0,94	0,26	-0,10	-0,63	-1,18	0,14	-0,32	0,72	0,69	0,21	-0,20	-0,15	-0,72	0,84	0,00	0,02
	SD	9,59	4,61	1,33	0,75	0,12	0,03	0,35	0,73	0,79	1,04	4,54	4,48	3,85	4,27	1,60	0,00	2,54
	SSRR	0,04	0,02	0,008	0,005	0,003	0,007	0,003	0,008	0,01	0,02	0,13	0,19	0,23	0,69	0,07	0,00	0,69
	RP	-1,08	2,08	0,59	-0,37	-1,88	-3,68	0,46	-1,17	2,61	2,64	-1,31	-4,16	-4,43	-13,62	6,06	0,00	-1,15
3	D	12,85	7,30	4,91	3,40	1,99	0,73	-0,25	-2,03	-2,36	-2,89	-3,42	-3,69	-3,55	-4,33	-3,43	0,00	0,35
	SD	10,27	4,57	1,75	1,21	0,30	0,07	0,08	0,41	1,09	1,42	5,33	5,15	4,42	4,72	1,49	0,00	2,82
	SSRR	0,41	0,18	0,09	0,05	0,02	0,003	0,001	0,03	0,06	0,11	0,40	0,59	0,72	2,11	0,57	0,00	0,36
	RP	27,98	18,26	13,19	9,55	5,91	2,24	-0,82	-7,32	-9,42	-12,80	-19,34	-23,93	-26,52	-45,19	-38,37	0,00	-7,11
4	D	14,27	8,75	6,39	4,91	3,53	2,30	1,47	-0,15	-0,18	-0,43	-0,69	-0,73	-0,39	-1,05	-0,33	0,00	2,51
	SD	7,88	3,87	0,82	0,42	0,11	0,25	0,89	1,41	0,67	0,78	3,58	3,63	3,15	3,56	1,41	0,00	2,16
	SSRR	0,50	0,26	0,15	0,10	0,06	0,03	0,02	0,01	0,008	0,01	0,12	0,18	0,20	0,66	0,08	0,00	0,16
	RP	31,3	22,0	17,3	14,0	10,6	7,20	4,87	-0,57	-0,80	-2,04	-5,42	-6,72	-5,56	-15,79	-5,95	0,00	4,30

1 = Polinômio de quinto grau: 2 = Polinômio de potência fracionária: 3 = Modelo de Clutter : 4 = Modelo de Amateis e Burkhart

TABELA 2.16. Estatísticas para as estimativas dos perfis da árvore de *Pinus taeda* na classe de 35 a 40 cm de diâmetro, para região de Moquém, para os modelos testados com seus respectivos parâmetros: D = desvio; SD = desvio padrão das diferenças; SSRR = soma do quadrado das diferenças; RP = porcentagem dos resíduos.

Mod.	Est.	Alturas relativas (%)															Média	
		0	1	2	3	4	5	10	15	25	35	45	55	65	75	85	95	
1	D	2,89	0,29	-0,45	-0,57	-0,86	-0,66	0,55	0,99	0,51	-0,40	-1,13	0,24	0,83	-0,60	-0,22	0,00	0,09
	SD	3,71	0,55	1,24	0,60	0,52	0,63	0,56	0,66	1,26	1,72	3,88	4,97	5,68	3,45	5,97	0,00	2,36
	SSRR	0,003	0,007	0,004	0,006	0,005	0,005	0,01	0,01	0,02	0,07	0,08	0,11	0,14	0,42	0,02	0,00	0,06
	RP	0,43	-1,37	-1,51	-2,46	-1,86	0,39	3,31	1,47	-0,66	-4,60	-1,10	3,42	-4,30	-14,5	6,24	0,00	-1,14
2	D	-0,06	0,59	0,89	-0,02	-0,18	0,32	-0,08	0,10	0,40	0,20	-0,11	0,38	-0,77	-0,22	0,54	0,00	0,13
	SD	2,75	1,32	1,14	0,72	0,61	0,59	0,74	0,85	1,55	1,61	5,62	5,94	3,64	5,31	5,83	0,00	2,55
	SSRR	0,01	0,006	0,007	0,004	0,004	0,004	0,005	0,007	0,016	0,018	0,08	0,11	0,12	0,29	0,03	0,00	0,05
	RP	-0,28	1,15	1,95	-0,24	-0,64	0,75	-0,21	0,40	1,35	0,73	-1,08	1,31	-4,97	-5,81	-2,45	0,00	-0,54
3	D	8,99	5,93	4,92	3,04	2,13	1,39	-0,78	-1,67	-1,93	-2,10	-2,51	-2,91	-6,03	-6,88	3,75	0,00	0,36
	SD	3,89	2,21	1,49	1,05	0,84	1,06	0,49	0,54	2,06	2,20	5,61	4,36	2,01	6,42	19,87	0,00	3,61
	SSRR	0,19	0,09	0,07	0,03	0,02	0,01	0,006	0,02	0,04	0,05	0,15	0,19	0,93	3,02	1,10	0,00	0,40
	RP	19,3	13,6	11,6	7,51	5,38	3,49	-2,29	-5,16	-6,51	-7,68	-10,89	-14,01	-40,5	-69,4	-16,04	0,00	-7,43
4	D	10,8	7,75	6,77	4,93	4,06	3,41	1,41	0,77	0,83	0,98	0,85	0,70	-2,24	-3,04	5,59	0,00	2,90
	SD	5,66	4,09	3,12	2,25	1,90	2,37	0,76	0,49	1,32	1,53	4,82	3,30	1,34	5,31	-22,4	0,00	1,06
	SSRR	0,28	0,17	0,14	0,08	0,06	0,05	0,01	0,007	0,02	0,02	0,07	0,06	0,18	0,91	0,46	0,00	0,17
	RP	23,08	17,81	16,03	12,23	10,33	8,83	4,07	2,42	2,81	3,57	2,86	2,85	-15,44	-32,55	4,55	0,00	4,23

1 = Polinômio de quinto grau: 2 = Polinômio de potência fracionária: 3 = Modelo de Clutter : 4 = Modelo de Amateis e Burkhart

APÊNDICE 2.2

- Estatísticas para as estimativas dos perfis da árvore de *Pinus taeda* por classe diamétrica e classe de sítio.

TABELA 2.1. Estatísticas para as estimativas dos perfis da árvore de *Pinus taeda* na classe de 20 a 25 cm de diâmetro, para o sítio III, para os modelos testados com seus respectivos parâmetros: D = desvio; SD = desvio padrão das diferenças; SSRR = soma do quadrado das diferenças; RP = porcentagem dos resíduos.

Mod.	Est.	Alturas relativas (%)															Média	
		0	1	2	3	4	5	10	15	25	35	45	55	65	75	85	95	
1	D	-0,26	0,27	-0,20	-0,64	-0,64	-0,95	-1,00	0,35	0,19	-0,40	-0,65	0,06	0,16	0,09	0,00	0,00	-0,26
	SD	2,50	0,82	0,63	0,71	0,74	1,18	0,55	0,18	0,22	0,53	0,74	0,95	1,11	0,02	0,00	0,00	0,78
	SSRR	0,19	0,008	0,006	0,01	0,01	0,02	0,01	0,004	0,004	0,01	0,02	0,03	0,07	0,002	0,00	0,00	0,03
	RP	-9,64	0,96	-0,59	-2,22	-2,30	-3,64	-3,88	1,61	0,92	-2,42	-3,87	0,41	1,14	0,87	0,00	0,00	-1,62
2	D	-0,41	-0,63	-0,20	-0,11	-0,03	-0,45	-0,79	-0,15	-0,37	-0,35	-0,23	0,16	-0,17	-0,04	0,00	0,00	-0,27
	SD	1,77	1,32	0,86	0,72	0,66	1,03	0,26	0,17	0,30	0,52	0,69	0,80	1,15	0,07	0,00	0,00	0,74
	SSRR	0,17	0,01	0,009	0,008	0,008	0,01	0,008	0,003	0,007	0,01	0,02	0,03	0,07	0,006	0,00	0,00	0,03
	RP	9,71	-1,89	-0,57	-0,27	-0,03	-1,70	-3,11	-0,60	-1,65	-2,02	-1,46	0,99	-1,36	0,02	0,00	0,00	-1,67
3	D	0,55	9,02	7,42	6,00	5,11	4,03	2,96	2,20	1,20	0,47	0,09	-0,02	-1,004	-1,61	0,00	0,00	2,60
	SD	20,9	0,85	0,81	0,79	0,76	1,15	0,30	0,54	0,68	1,06	1,18	1,33	1,08	0,47	0,00	0,00	2,28
	SSRR	0,65	0,43	0,33	0,24	0,19	0,14	0,08	0,055	0,03	0,02	0,03	0,04	0,09	0,10	0,00	0,00	0,17
	RP	-15,1	29,2	25,4	21,7	19,2	15,8	12,3	9,69	5,76	2,28	0,40	-0,33	-7,83	-15,4	0,00	0,00	7,36
4	D	9,31	7,65	6,05	5,14	4,00	3,51	2,42	1,53	1,07	0,69	0,70	-0,03	-0,59	-0,85	0,00	0,00	2,90
	SD	1,01	0,71	0,53	0,54	0,77	0,91	0,23	0,38	0,67	0,75	0,77	0,94	1,32	0,54	0,00	0,00	0,72
	SSRR	0,45	0,34	0,24	0,19	0,13	0,11	0,06	0,03	0,03	0,02	0,03	0,05	0,14	0,14	0,00	0,00	0,14
	RP	29,6	25,8	21,7	19,2	15,7	14,1	10,5	7,17	5,42	3,73	4,17	-0,71	-6,83	-11,8	0,00	0,00	9,85

1 = Polinômio de quinto grau: 2 = Polinômio de potência fracionária: 3 = Modelo de Clutter : 4 = Modelo de Amateis e Burkhart

TABELA 2.2. Estatísticas para as estimativas dos perfis da árvore de *Pinus taeda* na classe de 25 a 30 cm de diâmetro, para o sítio III, para os modelos testados com seus respectivos parâmetros: D = desvio; SD = desvio padrão das diferenças; SSRR = soma do quadrado das diferenças; RP = porcentagem dos resíduos.

Mod.	Est.	Alturas relativas (%)															Média	
		0	1	2	3	4	5	10	15	25	35	45	55	65	75	85	95	
1	D	2,91	0,80	0,09	0,24	-0,35	0,06	0,59	0,57	-0,23	-0,82	-0,47	0,01	0,19	-0,89	-0,18	0,00	0,14
	SD	4,64	2,56	1,69	1,37	1,23	1,13	0,50	0,73	1,50	0,96	0,66	0,37	0,57	0,82	0,68	0,00	1,29
	SSRR	0,05	0,02	0,01	0,01	0,01	0,01	0,009	0,01	0,03	0,04	0,02	0,02	0,04	0,17	0,07	0,00	0,04
	RP	7,56	2,05	0,05	-0,92	-1,36	0,08	2,24	2,28	-1,71	-4,92	-3,37	-0,29	0,72	-12,32	-3,91	0,00	-0,92
2	D	1,60	0,90	0,69	0,38	0,13	0,35	0,12	-0,06	-0,19	-0,33	-0,30	-0,38	-0,13	-0,41	-0,43	0,00	0,13
	SD	4,66	2,56	1,69	1,34	1,20	1,12	0,51	0,75	1,50	0,97	0,66	0,36	0,56	0,82	0,71	0,00	1,30
	SSRR	0,03	0,02	0,02	0,01	0,01	0,01	0,007	0,01	0,03	0,02	0,02	0,02	0,04	0,11	0,09	0,00	0,03
	RP	3,93	2,37	1,98	1,17	0,34	1,15	0,38	-0,38	-1,55	-2,35	-2,38	-3,00	-2,00	-6,61	-7,34	0,00	-0,95
3	D	10,71	7,47	5,77	4,55	3,63	3,34	1,52	0,48	-0,53	-1,09	-1,41	-2,03	-2,56	3,37	-1,99	0,00	1,63
	SD	5,72	4,19	3,23	2,80	2,75	2,61	1,48	1,88	2,30	1,35	0,71	0,36	0,22	0,57	1,24	0,00	2,09
	SSRR	0,45	0,28	0,19	0,14	0,10	0,09	0,03	0,03	0,05	0,05	0,06	0,12	0,28	0,94	0,34	0,00	0,21
	RP	29,3	22,4	18,4	15,2	12,6	11,7	5,87	1,88	-3,11	-6,26	-8,85	-14,3	-22,4	-41,1	-28,4	0,00	-0,46
4	D	10,76	7,55	5,87	4,68	3,78	3,51	1,81	0,88	0,11	-0,23	-0,35	-0,78	-1,15	-1,85	-0,25	0,00	2,29
	SD	4,75	2,82	1,88	1,51	1,41	1,33	0,65	0,96	1,57	0,96	0,57	0,33	0,46	0,78	0,72	0,00	1,38
	SSRR	0,45	0,27	0,19	0,13	0,09	0,09	0,03	0,02	0,03	0,02	0,02	0,03	0,09	0,38	0,08	0,00	0,13
	RP	29,42	22,74	18,79	15,72	13,17	12,41	7,02	3,64	-0,05	-1,75	-2,60	-5,72	-10,61	-23,61	-4,97	0,00	4,90

1 = Polinômio de quinto grau: 2 = Polinômio de potência fracionária: 3 = Modelo de Clutter : 4 = Modelo de Amateis e Burkhart

TABELA 2.3. Estatísticas para as estimativas dos perfis da árvore de *Pinus taeda* na classe de 30 a 35 cm de diâmetro, para o sítio III, para os modelos testados com seus respectivos parâmetros: D = desvio; SD = desvio padrão das diferenças; SSRR = soma do quadrado das diferenças; RP = porcentagem dos resíduos.

Mod.	Est.	Alturas relativas (%)															Média	
		0	1	2	3	4	5	10	15	25	35	45	55	65	75	85	95	
1	D	3,23	-1,24	-1,95	-1,53	-1,20	-0,74	1,49	1,17	-0,72	-1,22	-1,20	-0,35	0,11	-2,10	-0,77	0,00	-0,47
	SD	10,2	0,63	0,32	0,24	0,12	0,09	0,39	0,30	0,48	1,12	2,81	2,86	3,28	2,01	0,06	0,00	1,66
	SSRR	0,05	0,01	0,02	0,01	0,008	0,004	0,02	0,01	0,01	0,04	0,12	0,13	0,16	0,68	0,05	0,00	0,09
	RP	6,82	-3,51	-5,82	-4,73	-3,76	-2,37	4,97	4,16	-3,13	-5,92	-7,86	-4,11	-2,06	-24,5	-10,3	0,00	-4,14
2	D	-0,02	0,57	-0,53	-0,61	-0,75	-0,73	0,30	0,03	-0,39	-0,16	-0,83	-1,07	-0,62	-1,19	-1,05	0,00	-0,47
	SD	9,92	0,61	0,31	0,24	0,12	0,09	0,41	0,29	0,48	1,12	2,81	2,85	3,27	2,01	0,06	0,00	1,64
	SSRR	0,04	0,005	0,003	0,004	0,004	0,003	0,004	0,003	0,008	0,02	0,11	0,16	0,20	0,45	0,09	0,00	0,07
	RP	-0,98	1,55	-1,59	-1,91	-2,37	-2,32	0,96	0,05	-1,77	-1,07	-5,87	-8,46	-7,10	-15,7	-14,2	0,00	-4,05
3	D	11,3	5,35	3,30	2,53	1,84	1,41	0,84	-0,43	-1,99	-2,22	-2,90	-2,90	-2,37	-3,71	-3,57	0,00	0,43
	SD	10,09	1,13	0,91	0,65	0,79	0,77	1,45	1,14	0,77	1,30	1,93	2,03	2,61	1,35	0,07	0,00	1,80
	SSRR	0,36	0,12	0,05	0,03	0,02	0,02	0,02	0,01	0,05	0,08	0,21	0,29	0,34	1,13	0,92	0,00	0,24
	RP	26,3	14,9	9,80	7,74	5,79	4,53	2,76	-1,62	-8,32	-10,4	-16,5	-19,1	-18,7	-39,3	-47,7	0,00	-5,99
4	D	11,7	5,80	3,77	3,03	2,37	1,97	1,53	0,39	-0,92	-0,91	-1,37	-1,18	-0,49	-1,73	-1,51	0,00	1,50
	SD	10,5	0,64	0,36	0,26	0,19	0,17	0,56	0,40	0,48	1,12	2,59	2,66	3,14	1,88	0,06	0,00	1,67
	SSRR	0,39	0,13	0,06	0,04	0,03	0,02	0,02	0,005	0,01	0,03	0,12	0,16	0,18	0,55	0,17	0,00	0,13
	RP	27,3	16,1	11,2	9,25	7,45	6,31	5,08	1,35	-3,94	-4,49	-8,68	-9,01	-6,12	-20,78	-20,25	0,00	0,72

1 = Polinômio de quinto grau: 2 = Polinômio de potência fracionária: 3 = Modelo de Clutter : 4 = Modelo de Amateis e Burkhart

TABELA 2.4. Estatísticas para as estimativas dos perfis da árvore de *Pinus taeda* na classe de 35 a 40 cm de diâmetro, para o sítio III, para os modelos testados com seus respectivos parâmetros: D = desvio; SD = desvio padrão das diferenças; SSRR = soma do quadrado das diferenças; RP = porcentagem dos resíduos.

Mod.	Est.	Alturas relativas (%)															Média	
		0	1	2	3	4	5	10	15	25	35	45	55	65	75	85	95	
1	D	1,63	0,14	-1,03	-1,07	-0,80	-0,44	0,88	0,81	-0,10	-1,69	-2,49	-1,66	-0,19	-0,41	-1,17	0,00	-0,51
	SD	0,49	0,99	0,29	0,18	0,27	0,11	0,73	0,68	0,51	1,22	0,48	0,69	0,57	0,25	1,25	0,00	0,58
	SSRR	0,008	0,004	0,005	0,005	0,004	0,001	0,008	0,008	0,005	0,04	0,07	0,06	0,02	0,02	0,25	0,00	0,03
	RP	3,56	0,22	-2,67	-2,81	-2,16	-1,20	2,49	2,45	-0,51	-7,01	-11,2	-8,74	-1,45	-3,38	-15,5	0,00	-3,20
2	D	-0,70	0,84	-0,03	-0,18	-0,16	-0,09	0,06	-0,31	-0,28	-0,89	-1,77	-1,82	-0,97	-0,63	-0,41	0,00	-0,49
	SD	0,47	0,99	0,30	0,17	0,26	0,10	0,73	0,67	0,51	1,23	0,47	0,69	0,58	0,25	1,23	0,00	0,58
	SSRR	0,003	0,006	0,001	0,001	0,002	0,0007	0,005	0,006	0,006	0,02	0,04	0,06	0,03	0,02	0,13	0,00	0,02
	RP	-1,61	1,89	-0,13	-0,47	-0,43	-0,24	0,07	-1,12	-1,15	-3,87	-8,03	-9,54	-6,05	-5,09	-6,74	0,00	-2,83
3	D	8,47	5,59	3,17	2,01	1,30	0,76	-0,88	-2,16	-2,78	-3,33	-3,94	-3,94	-3,62	-4,34	-4,20	0,00	-0,53
	SD	0,62	1,25	0,44	0,29	0,41	0,22	0,66	0,54	0,34	1,02	0,44	0,68	0,56	0,29	1,31	0,00	0,60
	SSRR	0,18	0,09	0,03	0,02	0,008	0,004	0,008	0,03	0,05	0,11	0,16	0,23	0,26	0,60	1,50	0,00	0,22
	RP	18,7	13,2	8,01	5,30	3,49	2,11	-2,72	-6,99	-9,91	-13,4	-17,7	-20,2	-21,7	-34,05	-50,7	0,00	-8,44
4	D	9,42	6,57	4,18	3,05	2,36	1,86	0,35	-0,78	-1,14	-1,43	-1,82	-1,62	-1,15	-1,80	-1,75	0,00	1,09
	SD	0,56	1,10	0,32	0,19	0,29	0,14	0,71	0,63	0,41	1,14	0,49	0,70	0,58	0,28	1,29	0,00	0,59
	SSRR	0,22	0,12	0,06	0,03	0,02	0,01	0,005	0,009	0,01	0,03	0,04	0,06	0,04	0,12	0,39	0,00	0,08
	RP	20,8	15,5	10,6	8,04	6,37	5,12	0,95	-2,61	-4,14	-5,97	-8,21	-8,51	-7,11	-14,2	22,3	0,00	-0,37

1 = Polinômio de quinto grau: 2 = Polinômio de potência fracionária: 3 = Modelo de Clutter : 4 = Modelo de Amateis e Burkhart

TABELA 2.5. Estatísticas para as estimativas dos perfis da árvore de *Pinus taeda* na classe de 20 a 25 cm de diâmetro, para o sítio V, para os modelos testados com seus respectivos parâmetros: D = desvio; SD = desvio padrão das diferenças; SSRR = soma o quadrado das diferenças; RP = porcentagem dos resíduos.

Mod.	Est.	Alturas relativas (%)																Média
		0	1	2	3	4	5	10	15	25	35	45	55	65	75	85	95	
1	D	1,99	0,46	0,15	-0,24	-0,27	-0,24	0,63	0,45	-0,12	-0,99	-0,64	-0,44	-0,25	-1,18	-0,72	0,00	-0,09
	SD	2,69	0,96	0,32	0,20	0,12	0,18	0,06	0,06	0,04	0,23	0,40	0,68	0,72	0,82	0,08	0,00	0,50
	SSRR	0,04	0,01	0,003	0,003	0,002	0,003	0,005	0,004	0,001	0,023	0,03	0,05	0,05	0,22	0,03	0,00	0,03
	RP	6,09	1,29	0,48	-1,02	-1,07	-0,98	2,93	2,26	-0,61	-5,89	-4,46	-3,93	-3,03	-15,4	-10,5	0,00	-2,25
2	D	0,90	1,23	0,82	0,17	-0,13	-0,37	-0,26	-0,35	0,17	-0,18	-0,35	-0,91	-0,65	-0,65	-0,98	0,00	-0,10
	SD	2,70	0,99	0,32	0,20	0,12	0,18	0,07	0,08	0,03	0,22	0,39	0,70	0,73	0,81	0,14	0,00	0,51
	SSRR	0,02	0,02	0,008	0,003	0,002	0,004	0,002	0,003	0,001	0,006	0,02	0,07	0,07	0,13	0,06	0,00	0,03
	RP	2,53	4,07	3,01	0,61	-0,53	-1,53	-1,13	-1,66	0,94	-1,07	-2,52	-7,57	-6,73	-9,18	-14,25	0,00	-2,33
3	D	7,28	4,65	3,37	2,12	1,35	0,74	-0,41	-1,24	-1,49	-2,12	-2,38	-3,02	-2,97	-3,12	-2,37	0,00	0,02
	SD	2,73	1,13	0,32	0,22	0,12	0,20	0,09	0,13	0,07	0,29	0,48	0,84	0,83	0,89	0,73	0,00	0,60
	SSRR	0,28	0,14	0,08	0,04	0,02	0,008	0,003	0,02	0,03	0,09	0,15	0,35	0,47	0,88	0,36	0,00	0,19
	RP	23,4	16,3	12,6	8,34	5,59	3,15	-1,84	-6,03	-7,85	-12,6	-16,0	-24,2	-28,2	-38,4	-34,4	0,00	-6,68
4	D	7,65	5,05	3,80	2,57	1,83	1,24	0,23	-0,46	-0,44	-0,82	-0,84	-1,26	-1,03	-1,05	-0,25	0,00	1,08
	SD	2,77	1,26	0,37	0,24	0,09	0,12	0,06	0,07	0,03	0,22	0,39	0,70	0,73	0,80	0,03	0,00	0,53
	SSRR	0,31	0,16	0,10	0,05	0,03	0,01	0,002	0,004	0,003	0,02	0,03	0,09	0,11	0,20	0,006	0,00	0,07
	RP	24,6	17,7	14,2	10,1	7,54	5,29	1,09	-2,22	-2,32	-4,91	-5,76	-10,3	-10,3	-13,9	-3,62	0,00	1,81

1 = Polinômio de quinto grau: 2 = Polinômio de potência fracionária: 3 = Modelo de Clutter : 4 = Modelo de Amateis e Burkhart

TABELA 2.6. Estatísticas para as estimativas dos perfis da árvore de *Pinus taeda* na classe de 25 a 30 cm de diâmetro, para o sítio V, para os modelos testados com seus respectivos parâmetros: D = desvio; SD = desvio padrão das diferenças; SSRR = soma do quadrado das diferenças; RP = porcentagem dos resíduos.

Mod.	Est.	Alturas relativas (%)															Média	
		0	1	2	3	4	5	10	15	25	35	45	55	65	75	85	95	
1	D	2,03	-0,16	-0,68	-0,91	-0,52	-0,14	1,31	1,13	0,04	-0,63	-0,15	0,45	0,44	-1,68	-0,65	0,00	-0,008
	SD	0,24	0,87	0,72	0,14	0,16	0,03	0,17	0,23	0,33	0,18	0,23	0,55	0,81	1,21	0,10	0,00	0,40
	SSRR	0,02	0,007	0,008	0,006	0,003	0,0005	0,01	0,01	0,005	0,008	0,005	0,02	0,03	0,34	0,04	0,00	0,03
	RP	5,51	-0,62	-2,26	-3,05	-1,80	-0,50	4,83	4,38	0,002	-3,07	-0,91	2,25	2,49	-19,1	-9,02	0,00	-1,39
2	D	0,33	-0,35	0,24	0,12	0,31	0,37	0,50	0,01	-0,04	0,09	0,27	0,12	-0,004	-1,40	-0,67	0,00	-0,007
	SD	0,28	0,86	0,71	0,14	0,17	0,03	0,17	0,22	0,33	0,18	0,23	0,55	0,81	1,21	0,10	0,00	0,40
	SSRR	0,002	0,007	0,006	0,001	0,002	0,001	0,003	0,003	0,005	0,003	0,005	0,015	0,032	0,29	0,047	0,00	0,028
	RP	0,91	-1,21	0,68	0,37	1,01	1,28	1,81	-0,02	-0,35	0,32	1,23	0,32	-0,65	-16,29	-9,31	0,00	-1,32
3	D	8,27	4,70	2,96	1,69	1,15	0,72	-0,31	-1,23	-1,72	-1,85	-1,91	-2,28	-2,66	-4,34	-3,86	0,00	-0,04
	SD	0,15	1,00	0,75	0,17	0,20	0,05	0,19	0,25	0,33	0,19	0,21	0,48	0,80	1,22	0,16	0,00	0,41
	SSRR	0,25	0,10	0,05	0,02	0,009	0,004	0,003	0,02	0,03	0,04	0,06	0,12	0,23	1,31	1,16	0,00	0,23
	RP	22,3	13,9	9,33	5,60	3,89	2,50	-1,16	-4,96	-7,58	-8,80	-9,99	-13,88	-19,28	-46,23	-53,29	0,00	-7,17
4	D	8,87	5,33	3,63	2,38	1,88	1,49	0,62	-0,14	-0,31	-0,15	0,08	-0,04	-0,20	-1,74	-1,25	0,00	1,36
	SD	0,12	0,89	0,63	0,11	0,15	0,03	0,16	0,19	0,30	0,17	0,22	0,55	0,84	1,24	0,12	0,00	0,38
	SSRR	0,29	0,13	0,07	0,03	0,02	0,01	0,004	0,003	0,006	0,003	0,005	0,015	0,04	0,36	0,14	0,00	0,07
	RP	23,9	15,8	11,4	7,92	6,39	5,16	2,27	-0,64	-1,51	-0,78	0,28	-0,62	-2,05	-19,8	-17,4	0,00	2,02

1 = Polinômio de quinto grau: 2 = Polinômio de potência fracionária: 3 = Modelo de Clutter : 4 = Modelo de Amateis e Burkhart

TABELA 2.7. Estatísticas para as estimativas dos perfis da árvore de *Pinus taeda* na classe de 30 a 35 cm de diâmetro, para o sítio V, para os modelos testados com seus respectivos parâmetros: D = desvio; SD = desvio padrão das diferenças; SSRR = soma do quadrado das diferenças; RP = porcentagem dos resíduos.

Mod.	Est.	Alturas relativas (%)															Média	
		0	1	2	3	4	5	10	15	25	35	45	55	65	75	85	95	
1	D	2,83	0,39	-0,73	-1,00	-1,01	-0,74	1,15	1,09	-0,02	-0,80	-0,72	0,13	0,24	-1,02	-0,60	0,00	-0,05
	SD	11,6	4,85	1,47	1,28	0,40	0,21	0,47	0,19	0,80	1,53	2,18	2,09	1,14	1,07	0,05	0,00	1,96
	SSRR	0,05	0,02	0,01	0,01	0,008	0,004	0,01	0,008	0,009	0,03	0,05	0,05	0,04	0,10	0,04	0,00	0,03
	RP	5,90	0,72	-2,05	-2,95	-3,05	-2,34	3,62	3,63	-0,29	-3,69	-3,88	-0,09	0,98	-8,58	-7,80	0,00	-1,33
2	D	0,88	0,28	0,27	0,09	-0,15	-0,21	0,29	-0,04	0,03	-0,02	-0,47	-0,45	-0,18	-0,33	-0,82	0,00	-0,06
	SD	11,96	4,82	1,43	1,24	0,39	0,22	0,46	0,17	0,81	1,55	2,17	2,11	1,16	1,03	0,05	0,00	1,97
	SSRR	0,04	0,02	0,009	0,008	0,003	0,002	0,004	0,001	0,009	0,02	0,04	0,06	0,04	0,06	0,06	0,00	0,03
	RP	1,38	0,44	0,68	0,17	-0,49	-0,75	0,82	-0,19	-0,09	-0,55	-2,76	-3,07	-1,55	-3,23	-10,49	0,00	-1,31
3	D	9,54	5,53	3,02	1,54	0,49	-0,16	-0,96	-1,70	-1,91	-2,08	-2,70	-2,96	-3,13	-3,93	-5,21	0,00	-0,31
	SD	10,7	4,47	1,28	1,24	0,42	0,22	0,46	0,15	0,82	1,54	2,27	2,25	1,33	1,24	0,10	0,00	1,90
	SSRR	0,26	0,11	0,04	0,02	0,004	0,002	0,009	0,02	0,04	0,06	0,13	0,19	0,24	0,57	2,22	0,00	0,26
	RP	21,5	13,8	8,22	4,31	1,39	-0,57	-3,15	-5,85	-7,18	-8,77	-12,8	-15,9	-19,1	-31,1	-66,4	0,00	-8,11
4	D	10,5	6,57	4,09	2,64	1,63	1,03	0,91	-0,16	-0,008	0,16	-0,16	-0,14	-0,09	-0,75	-2,07	0,00	1,58
	SD	10,3	4,22	1,18	1,15	0,37	0,25	0,46	0,17	0,77	1,51	2,13	2,08	1,15	1,06	0,06	0,00	1,79
	SSRR	0,31	0,15	0,07	0,03	0,01	0,006	0,004	0,001	0,008	0,02	0,04	0,05	0,04	0,08	0,36	0,00	0,08
	RP	23,8	16,5	11,2	7,50	4,80	3,03	1,23	-0,60	-0,23	0,15	-1,34	-1,47	-0,99	-6,47	-26,48	0,00	2,04

1 = Polinômio de quinto grau: 2 = Polinômio de potência fracionária: 3 = Modelo de Clutter : 4 = Modelo de Amateis e Burkhart

TABELA 2.8. Estatísticas para as estimativas dos perfis da árvore de *Pinus taeda* na classe de 35 a 40 cm de diâmetro, para o sítio V, para os modelos testados com seus respectivos parâmetros: D = desvio; SD = desvio padrão das diferenças; SSRR = soma do quadrado das diferenças; RP = porcentagem dos resíduos.

Mod.	Est.	Alturas relativas (%)															Média	
		0	1	2	3	4	5	10	15	25	35	45	55	65	75	85	95	
1	D	1,38	-0,51	-0,77	-0,67	-0,78	-0,59	1,01	1,11	0,33	-0,03	-0,24	0,79	0,52	-1,08	-1,08	0,00	-0,04
	SD	2,73	1,31	0,37	0,50	0,05	0,11	0,31	0,39	0,71	0,38	1,47	2,98	2,71	3,48	0,31	0,00	1,19
	SSRR	0,01	0,008	0,004	0,004	0,002	0,002	0,006	0,008	0,006	0,003	0,02	0,04	0,05	0,22	0,17	0,00	0,037
	RP	2,80	-1,35	-1,96	-1,76	-2,09	-1,60	2,88	3,33	0,97	-0,15	-1,24	2,57	1,66	-10,81	-14,79	0,00	-1,44
2	D	-0,24	0,005	0,09	0,06	-0,31	-0,42	0,10	0,09	0,41	0,77	0,17	0,44	0,11	-0,71	-1,16	0,00	-0,04
	SD	2,71	1,30	0,38	0,49	0,05	0,11	0,32	0,41	0,71	0,37	1,47	2,98	2,72	3,48	0,31	0,00	1,19
	SSRR	0,01	0,006	0,002	0,003	0,0007	0,001	0,002	0,003	0,006	0,007	0,02	0,04	0,05	0,18	0,19	0,00	0,03
	RP	-0,78	-0,13	0,17	0,11	-0,85	-1,16	0,27	0,26	1,25	2,56	0,29	1,07	-0,45	-8,06	-15,9	0,00	-1,42
3	D	7,38	4,07	2,54	1,54	0,47	-0,17	-1,14	-1,78	-1,74	-1,26	-1,82	-1,88	-3,06	-5,18	-6,95	0,00	-0,60
	SD	2,77	1,38	0,39	0,50	0,05	0,11	0,33	0,47	0,72	0,38	1,46	2,98	2,74	3,45	0,39	0,00	1,21
	SSRR	0,14	0,05	0,02	0,01	0,001	0,0008	0,008	0,02	0,02	0,01	0,05	0,09	0,22	1,11	4,32	0,00	0,40
	RP	16,0	9,57	6,27	3,91	1,23	-0,48	-3,28	-5,35	-5,67	-4,34	-7,25	-8,82	-16,9	-41,3	-91,2	0,00	-9,84
4	D	8,66	5,39	3,91	2,94	1,92	1,31	0,54	0,10	0,52	1,37	1,15	1,39	0,45	-1,54	-3,38	0,00	1,65
	SD	2,90	1,39	0,41	0,45	0,08	0,12	0,32	0,41	0,73	0,39	1,48	3,00	2,74	3,52	0,34	0,00	1,22
	SSRR	0,19	0,09	0,05	0,03	0,01	0,007	0,003	0,003	0,007	0,01	0,03	0,05	0,05	0,27	1,09	0,00	0,13
	RP	18,8	12,7	9,66	7,51	5,05	3,54	1,54	0,30	1,60	4,61	4,03	5,12	1,28	-14,2	-44,7	0,00	1,12

1 = Polinômio de quinto grau: 2 = Polinômio de potência fracionária: 3 = Modelo de Clutter : 4 = Modelo de Amateis e Burkhart

TABELA 2.9. Estatísticas para as estimativas dos perfis da árvore de *Pinus taeda* na classe de 20 a 25 cm de diâmetro, para o sítio VI, para os modelos testados com seus respectivos parâmetros: D = desvio; SD = desvio padrão das diferenças; SSRR = soma do quadrado das diferenças; RP = porcentagem dos resíduos.

Mod.	Est.	Alturas relativas (%)															Média	
		0	1	2	3	4	5	10	15	25	35	45	55	65	75	85	95	
1	D	1,59	0,40	0,12	0,13	-0,40	-0,36	0,59	0,67	0,43	-0,44	-0,13	0,38	-0,40	-1,15	-0,21	0,00	0,08
	SD	0,89	0,32	0,31	0,32	0,04	0,13	0,05	0,21	0,31	0,27	0,51	0,36	1,57	0,56	0,04	0,00	0,39
	SSRR	0,02	0,005	0,004	0,004	0,002	0,003	0,004	0,008	0,007	0,012	0,02	0,02	0,19	0,23	0,008	0,00	0,03
	RP	4,86	1,22	0,25	0,31	-1,62	-1,53	2,62	3,04	2,01	-2,83	-1,40	2,28	-6,38	-15,3	-2,98	0,00	-1,03
2	D	0,38	1,11	0,79	0,58	-0,19	-0,39	-0,15	-0,05	0,63	0,22	0,11	-0,03	-0,75	-0,68	-0,48	0,00	0,07
	SD	0,79	0,36	0,34	0,34	0,04	0,13	0,05	0,20	0,31	0,29	0,52	0,35	1,56	0,57	0,07	0,00	0,39
	SSRR	0,008	0,01	0,007	0,006	0,0008	0,003	0,001	0,003	0,01	0,007	0,02	0,01	0,23	0,15	0,02	0,00	0,03
	RP	0,87	3,73	2,71	2,04	-0,79	-1,66	-0,70	-0,35	3,03	0,97	0,10	-0,68	-9,67	-9,68	-6,79	0,00	-1,12
3	D	5,85	3,64	2,47	1,67	0,44	-0,13	-1,10	-1,70	-1,70	-2,31	-2,44	-2,64	-3,61	-3,82	-2,76	0,00	-0,54
	SD	1,50	0,61	0,55	0,48	0,06	0,15	0,05	0,21	0,32	0,27	0,48	0,32	1,53	0,54	1,19	0,00	0,55
	SSRR	0,18	0,08	0,04	0,02	0,002	0,002	0,01	0,04	0,05	0,10	0,16	0,21	0,95	1,29	0,47	0,00	0,24
	RP	18,8	12,6	8,91	6,20	1,75	-0,60	-5,00	-8,20	-8,84	-13,5	-16,1	-19,6	-36,5	-47,2	-39,2	0,00	-9,76
4	D	4,81	2,63	1,49	0,73	-0,47	-1,01	-1,83	-2,26	-1,94	-2,23	-2,05	-1,95	-2,64	-2,60	-1,01	0,00	-0,69
	SD	10,2	7,99	8,23	7,71	5,36	5,51	4,34	4,82	4,61	4,59	4,33	3,02	2,62	0,96	0,26	0,00	4,97
	SSRR	0,19	0,12	0,11	0,10	0,08	0,10	0,12	0,17	0,17	0,25	0,30	0,28	0,67	0,72	0,08	0,00	0,23
	RP	14,6	8,34	4,45	1,74	-2,56	-4,92	-8,80	-11,6	-10,8	-14,1	-14,9	-15,6	-27,7	-32,8	-14,2	0,00	-8,59

1 = Polinômio de quinto grau: 2 = Polinômio de potência fracionária: 3 = Modelo de Clutter : 4 = Modelo de Amateis e Burkhart

TABELA 2.10. Estatísticas para as estimativas dos perfis da árvore de *Pinus taeda* na classe de 25 a 30 cm de diâmetro, para sítio VI, para os modelos testados com seus respectivos parâmetros: D = desvio; SD = desvio padrão das diferenças; SSRR = soma do quadrado das diferenças; RP = porcentagem dos resíduos.

Mod.	Est.	Alturas relativas (%)															Média	
		0	1	2	3	4	5	10	15	25	35	45	55	65	75	85	95	
1	D	1,59	0,40	0,12	0,13	-0,40	-0,36	0,59	0,67	0,43	-0,44	-0,13	0,38	-0,40	-1,15	-0,21	0,00	0,08
	SD	1,91	1,03	0,69	0,48	0,34	0,24	0,14	0,72	0,85	0,50	0,40	0,86	1,95	2,20	0,20	0,00	0,83
	SSRR	0,02	0,005	0,004	0,004	0,002	0,003	0,004	0,008	0,007	0,012	0,02	0,02	0,19	0,23	0,008	0,00	0,03
	RP	4,86	1,22	0,25	0,31	-1,62	-1,53	2,62	3,04	2,01	-2,83	-1,40	2,28	-6,38	-15,3	-2,98	0,00	-1,03
2	D	0,38	1,11	0,79	0,58	-0,19	-0,39	-0,15	-0,05	0,63	0,22	0,11	-0,03	-0,75	-0,68	-0,48	0,00	0,07
	SD	1,84	1,04	0,69	0,46	0,34	0,24	0,15	0,74	0,84	0,50	0,39	0,88	1,99	2,19	0,20	0,00	0,83
	SSRR	0,008	0,01	0,007	0,006	0,0008	0,003	0,001	0,003	0,01	0,007	0,02	0,01	0,23	0,15	0,02	0,00	0,03
	RP	0,87	3,73	2,71	2,05	-0,79	-1,66	-0,70	-0,35	3,03	0,97	0,10	-0,68	-9,66	-9,68	-6,79	0,00	-1,12
3	D	5,85	3,64	2,47	1,67	0,44	-0,13	-1,10	-1,70	-1,70	-2,31	-2,44	-2,64	-3,61	-3,82	-2,76	0,00	-0,54
	SD	2,23	1,15	0,77	0,50	0,39	0,27	0,18	0,85	1,00	0,56	0,49	1,02	2,18	2,23	0,26	0,00	0,94
	SSRR	0,18	0,08	0,04	0,02	0,002	0,002	0,01	0,04	0,05	0,10	0,16	0,21	0,95	1,29	0,47	0,00	0,24
	RP	18,8	12,6	8,91	6,20	1,75	-0,60	-5,00	-8,20	-8,84	-13,5	-16,1	-19,6	-36,5	-47,2	-39,2	0,00	-9,76
4	D	4,81	2,63	1,49	0,73	-0,47	-1,01	-1,83	-2,26	-1,94	-2,23	-2,05	-1,95	-2,64	-2,60	-1,01	0,00	-0,69
	SD	7,79	8,25	8,12	7,88	7,61	7,14	5,71	8,07	7,93	5,44	4,67	4,78	4,72	2,22	0,89	0,00	6,08
	SSRR	0,19	0,12	0,11	0,10	0,08	0,10	0,12	0,17	0,17	0,25	0,30	0,28	0,67	0,72	0,08	0,00	0,23
	RP	14,6	8,34	4,45	1,74	-2,56	-4,92	-8,80	-11,6	-10,8	-14,1	-14,9	-15,6	-27,7	-32,8	-14,2	0,00	-8,59

1 = Polinômio de quinto grau: 2 = Polinômio de potência fracionária: 3 = Modelo de Clutter : 4 = Modelo de Amateis e Burkhart

TABELA 2.11. Estatísticas para as estimativas dos perfis da árvore de *Pinus taeda* na classe de 30 a 35 cm de diâmetro, para o sítio VI, para os modelos testados com seus respectivos parâmetros: D = desvio; SD = desvio padrão das diferenças; SSRR = soma do quadrado das diferenças; RP = porcentagem dos resíduos.

Mod.	Est.	Alturas relativas (%)															Média	
		0	1	2	3	4	5	10	15	25	35	45	55	65	75	85	95	
1	D	1,57	-0,04	-1,26	-1,90	-1,40	-1,01	0,93	1,03	0,60	-0,35	-0,48	-0,20	0,37	0,30	-0,94	0,00	-0,19
	SD	11,9	4,72	0,66	0,31	0,21	0,13	0,44	0,95	0,86	1,08	1,51	1,91	2,11	1,83	3,44	0,00	2,14
	SSRR	0,05	0,02	0,01	0,02	0,01	0,006	0,007	0,01	0,01	0,02	0,04	0,05	0,08	0,48	0,00	0,55	
	RP	2,71	-0,58	-3,49	-5,43	-4,07	-3,00	2,81	3,19	1,92	-1,65	-2,47	-1,57	1,31	0,84	-17,69	0,00	-1,81
2	D	-0,30	0,47	-0,45	-1,18	-0,90	-0,77	-0,17	0,09	0,67	0,58	0,18	-0,53	-0,52	0,14	-0,11	0,00	-0,16
	SD	11,9	4,72	0,67	0,32	0,22	0,13	0,45	0,94	0,86	1,09	1,51	1,92	2,15	1,83	3,39	0,00	2,14
	SSRR	0,05	0,02	0,005	0,008	0,005	0,004	0,003	0,008	0,01	0,01	0,02	0,04	0,06	0,08	0,29	0,00	0,04
	RP	-1,67	0,69	-1,33	-3,40	-2,63	-2,29	0,48	0,11	2,18	1,93	0,34	-3,26	-4,15	-0,38	-7,20	0,00	-1,37
3	D	7,55	4,59	2,17	0,46	-0,0003	-0,46	-1,33	-2,34	-2,54	-2,72	-3,01	-3,83	-4,52	-5,03	-5,33	0,00	-1,09
	SD	12,1	4,97	0,82	0,41	0,27	0,20	0,42	0,95	0,85	1,08	1,49	1,93	2,20	1,92	3,58	0,00	2,21
	SSRR	0,17	0,08	0,02	0,003	0,002	0,002	0,01	0,04	0,05	0,07	0,11	0,25	0,49	1,03	3,36	0,00	0,38
	RP	16,7	11,0	5,69	1,20	-0,06	-1,39	-4,15	-7,93	-9,23	-10,8	-13,4	-19,9	-28,6	-41,8	-73,2	0,00	-11,7
4	D	9,17	6,24	3,84	2,15	1,73	1,30	0,56	-0,33	-0,27	-0,21	-0,28	-0,92	-1,48	-1,94	-2,35	0,00	1,15
	SD	24,6	16,4	9,76	7,91	7,04	7,49	4,62	6,80	5,92	5,24	3,63	1,04	0,26	0,57	1,37	0,00	6,84
	SSRR	0,28	0,18	0,11	0,07	0,06	0,06	0,04	0,06	0,06	0,05	0,03	0,05	0,18	0,78	0,00	0,14	
	RP	20,1	14,7	9,82	5,72	4,65	3,44	1,58	-1,54	-1,43	-1,35	-1,68	-4,82	-9,26	-16,2	-33,3	0,00	-0,64

1 = Polinômio de quinto grau: 2 = Polinômio de potência fracionária: 3 = Modelo de Clutter : 4 = Modelo de Amateis e Burkhart

TABELA 2.12. Estatísticas para as estimativas dos perfis da árvore de *Pinus taeda* na classe de 35 a 40 cm de diâmetro, para o sítio VI, para os modelos testados com seus respectivos parâmetros: D = desvio; SD = desvio padrão das diferenças; SSRR = soma do quadrado das diferenças; RP = porcentagem dos resíduos.

Mod.	Est.	Alturas relativas (%)															Média	
		0	1	2	3	4	5	10	15	25	35	45	55	65	75	85	95	
1	D	1,64	0,56	0,13	-0,43	-0,37	-0,09	0,35	0,47	-0,12	-0,60	-1,21	-0,06	-0,18	-1,18	-0,25	0,00	-0,09
	SD	3,67	1,99	0,90	0,42	0,36	0,43	0,47	0,25	1,01	1,43	1,92	2,21	3,74	4,67	1,47	0,00	1,66
	SSRR	0,02	0,008	0,004	0,003	0,002	0,002	0,004	0,003	0,009	0,02	0,05	0,04	0,10	0,35	0,16	0,00	0,05
	RP	3,15	1,13	0,25	-1,09	-0,96	-0,27	1,01	1,44	-0,49	-2,33	-5,34	-0,89	-2,39	-12,0	-5,90	0,00	-1,65
2	D	-0,38	1,68	1,23	0,36	0,07	-0,01	-0,73	-0,69	-0,08	0,20	-0,80	-0,43	-0,63	-0,82	-0,31	0,00	-0,09
	SD	3,66	1,96	0,89	0,43	0,35	0,43	0,51	0,27	1,01	1,41	1,90	2,22	3,78	4,64	1,47	0,00	1,66
	SSRR	0,01	0,01	0,008	0,002	0,002	0,002	0,005	0,004	0,009	0,01	0,04	0,05	0,11	0,31	0,17	0,00	0,05
	RP	-1,05	3,61	2,78	0,83	0,15	-0,06	-2,03	-2,05	-0,36	0,52	-3,69	-2,57	-4,74	-9,48	-6,60	0,00	-1,65
3	D	8,53	5,90	4,11	2,30	1,30	0,62	-2,03	-3,08	-3,54	-3,53	-4,43	-3,88	-4,18	-5,18	-6,57	0,00	-0,91
	SD	3,81	1,96	0,91	0,47	0,35	0,44	0,52	0,31	1,09	1,49	1,98	2,30	3,98	4,92	1,47	0,00	1,73
	SSRR	0,16	0,09	0,05	0,02	0,007	0,003	0,02	0,04	0,08	0,10	0,21	0,22	0,41	1,27	3,73	0,00	0,43
	RP	17,6	12,9	9,47	5,53	3,22	1,56	-5,70	-9,25	-11,69	-12,74	-18,4	-18,00	-23,7	-40,7	-81,4	0,00	-11,4
4	D	12,4	9,80	8,03	6,24	5,25	4,60	2,03	1,05	0,73	0,86	0,05	0,63	0,29	-0,85	-2,60	0,00	3,24
	SD	5,44	3,33	1,93	1,11	1,11	1,25	1,04	0,71	1,29	1,81	2,00	2,06	3,73	4,74	1,25	0,00	2,19
	SSRR	0,34	0,24	0,18	0,12	0,09	0,07	0,02	0,01	0,01	0,02	0,03	0,04	0,09	0,32	0,78	0,00	0,16
	RP	25,7	21,6	18,6	15,1	13,1	11,7	5,79	3,21	2,35	2,89	-0,19	2,26	0,20	-9,70	-33,7	0,00	5,27

1 = Polinômio de quinto grau: 2 = Polinômio de potência fracionária: 3 = Modelo de Clutter : 4 = Modelo de Amateis e Burkhart

REFERÊNCIAS BIBLIOGRÁFICAS

- AHRENS, S.; HOLBERT, D. **Uma função para forma de tronco e volume de *Pinus taeda* L.** Curitiba: EMBRAPA, 1981. p.37-68. (Boletim de Pesquisa Florestal, 3)
- AMATEIS, R.L.; BURKHART, H.E. Cubic-foot volume equations for loblolly pine trees in cutover site-prepared plantations. **Southern Journal of Applied Forestry**, Bethesda, v. 11, n. 4, p.190-192, Nov.1987.
- BAILEY, R.L. A compatible volume taper model on the Schumacher and Hall generalized constant form factor volume equations. **Forest Science**, Washington, v.40, n.2, p. 303-313, May 1994.
- BROAD, L.R.; WAKE, G.C. Derivate based methods for constructing volume-ratio and taper equations. **Forest Science**, Washington, v.41, n.1, p. 157-167, Feb.1995.
- CAMPOS, J.C.C.; RIBEIRO, J.C. Avaliação de dois modelos de taper em árvores de *Pinus patula*, **Revista Árvore**, Viçosa, v.6, n.2, p. 140-149. jul./dez.1982.
- CAO, Q.V.; BURKHART, H.E.; MAX, T.A. Evaluation of two methods for cubic-volume prediction of lobolly Pine to any merchantable limit. **Forest Science**, Washington, v.26, n.1, p. 71-80, Mar. 1980.
- CLARK III, A.; SOUTER R.A.; SCHLAEGEL, B.E. **Stem profile equations for southern tree species.** Washington: Southeastern Forest Experiment Station, 1991.113p. (Research Paper SE-282)
- CLUTTER, J.L. Development of taper functions from variable-top merchantable volume equations. **Forest Science**, Washington , v. 26, n. 1, p.117-120, Mar. 1980.
- DEMAERSHALK, J.P. Converting volume equations to compatible taper equations. **Forest Science**, Washington, v.18, n.3, p.241-245, Sept. 1972.
- DEMAERSHALK, J.P. Integrated systems for the estimation of tree taper and volume. **Canadian Forestry Research**, Ottawa, v.3, n.1, p.90-94, 1973.
- FIGUEIREDO FILHO, A.; BORDERS, B.E.; HITCH, K.L. Taper equations for *Pinus taeda* plantations in southern Brazil. **Forest Ecology and Management**, Amsterdam, v. 83, p.36-46, 1996a.
- FIGUEIREDO FILHO, A.; BORDERS, B.E.; HITCH, K.L. Number of diameters required to represent stem profiles using interpolated cubic splines. **Canadian Journal of Forest Research**, Ottawa, v.26, n.6, p.1113-1121, July 1996b.

FIGUEIREDO FILHO, A.; MACHADO, S.A.; KIRCHNER, F.F. E KIKUTE, P. Use of cubic spline functions to describe the stem taper of tapped and untapped trees of *Pinus elliotti Engelm.* var. *elliotti*. In: IUFRO. Centennial Meeting Session. **Mensuration growth and yield**. Berlin, 1992. p. 237-247.

FINGER, C.A.G.; ZANON, M.L.B.; SCHINEIDER, P.R.; KLEIN, J.Z.M.; COELHO, M.C.B. Funções de forma para *Eucalyptus dunnii* Maiden, implantados na depressão central e encosta sudeste do Rio Grande do Sul. **Ciência Rural**, Santa Maria, v.25, n.3, p. 399-403, 1995.

FLEWELLING, J.W.; RAYNES, L.M. Variable-shape stem-profile predictions for western hemlock. Part I. Predictions from DBH and total height. **Canadian Journal of Forest Research**, Ottawa, v.23, n.3, p.520-536, Mar. 1993.

GÁL, J. ; BELLA, I.E. **New stem taper functions for 12 Saskatchewan timber species**. Edmonton: Canadian Forest Service, 1994. 25p. (Information Report NOR-X-338)

GOULDING, C.J.; MURRAY, J.C. Polinomial taper equations that are compatible with tree volume equations. **New Zealand Journal of Forestry Science**, Rotorua, v.5, n.3, p.313-322, Mar. 1975.

GOULDING, C.J. Cubic spline curves and calculation of volume of sectionally measured trees. **New Zealand Journal of Forestry Service**, Rotorua, v.9, n.1, p. 89-99, Sept.1977.

GORDON, A. Comparison of compatible polynomial taper equations. **New Zealand Journal of Forestry Science**, Rotorua, v.13,n.2, p.146-155, 1983.

GUIMARÃES, D.P. **Uso de curva de potência na determinação de séries relativas contínuas de forma para espécies florestais**. Brasília: EMBRAPA-CPAC, 1982. 24p. (Boletim de Pesquisa, 14).

GUIMARÃES. D.P.; LEITE, H.G. Um novo modelo para descrever o perfil do tronco. **Revista Árvore**, Viçosa, v. 16, n.2, p.170-180, maio/ago. 1992.

HRADETZKY, J. **Analyse und interpretation statistisher abränger keiten. (Biometrische Beiträge zu aktuellen forschungs projekten)**. Baden: Württemberg Mitteilungen der FVA, 1976. 146p. (Abt. Biometric und Informatik, 21).

HUSCH, B; MILLER, C.I.; BEERS, T.W. Forest mensuration. 3.ed. New York: J. Wiley, 1982. 402p.

KAHLER C.G. Determinacion de uma funcion de ahusamiento para renovales de roble y rauli. **Ciencia e Investigación Agraria**, Santiago, v. 7, n. 1, p.117-133, 1993.

KIRCHNER, F.F.; FIGUEIREDO FILHO, A.F.; SCOLFORO, J.R.S.; MACHADO, S.A.; MITISHITA, E.A. O uso de funções spline no cálculo de volumes de árvores. **Floresta**, Curitiba, v.19, n.1/2, p.116-122, 1989.

- KOZAK, A.; SMITH, J.H.G. Standards for evaluating tapes estimating systems. **The Forestry Chronicle**, Ottawa, v.69, n.4, p.438-444, Aug. 1993.
- LAHTINEN, A. On the construction of monotony preserving taper curves. **Acta Forestalia Fennica**, Helsinki, n.203, p. 5-31, May 1988.
- LAHTINEN, A. On the construction of shape preserving taper curves. **Silva Fennica**, Helsinki, n.1, p. 29-45, 1993.
- LARSON, P.R. Stem form development of forest tree. **Forest Science**, Washington, v.5, p.1-41, 1963.
- LEITE, H.G.; GUIMARÃES, D.P; CAMPOS, J.C.C. Descrição e emprego de um modelo para estimar múltiplos volumes de árvores. **Revista Árvore**, Viçosa, v.19, n.1, p.65-79, jan./mar. 1995.
- LIU, C.J. Log volume estimation with spline approximation. **Forest Science**, Washington, v.26,n.3, p.361-369, Sept. 1980.
- LOETSH, F.; ZOHER, F; HALLER, K.E. **Forest inventory**. Berlim: BLV, 1973. v.2 469p.
- MAGUIRE, D.A.; BATISTA J.L.F. Sapwood taper models and implied sapwood volume and foliage profiles for costal Douglas-fir. **Canadian Journal of Forest Research**, Ottawa, v.26, p.849-863, May 1996.
- MATNEY, T. Profile equations for several hardwood species to variable top diameter limits. **South African Forestry Journal**, Mississipi, v. 16, p. 75-78, 1992.
- MAX, T.A.; BURKHART, H.E. Segmented polinomial regression applied to taper equations. **Forest Science**, Washington, v.22, n.3, p.283-289, Sept. 1976.
- MCTAGUE, J.P.; BATISTA, J.L.F.; STEINER, L.H. Equações de volume total, volume comercial e forma do tronco para plantações de Eucalyptus nos estados de São Paulo e Rio de Janeiro. **IPEF**, Piracicaba, n.41/42, p.56-63, 1989.
- MORRIS, D.M.; FORSLUND R.R. The relative importance of competition, microsite, and climate in controlling the stem taper and profile shape in jack pine. **Canadian Journal of Forest Research**, Ontario, v.22, n. 10-12, p. 1999-2003, 1992.
- MUHAIRWE, C.K. Tree form and taper variaton over time for interior logdgepole pine. **Canadian Journal of Forest Research**, Ottawa, v.24, n.9, p. 1904-1913, Sept. 1994.
- MUNRO, D.D.; DEMAERSHALK, J.P. Taper based versus volume based compatible estimating systems. **The Forestry Chronicle**, Ottawa, v.50, n.3, p. 197-199, June 1974.

PELLICO NETO, S. As curvas relativas contínuas de forma de Preussner para o sortimento dos fustes de espécies florestais, **Cerne**, Lavras, v.1, n.1, p.17-27, 1994.

ROSOT, M.A.D. **Estudo comparativo de métodos para avaliação volumétrica por unidade de área em povoamento de *Pinus taeda* L.** Curitiba: UFP, 1989. 163p. (Dissertação - Mestrado em Engenharia Florestal).

SCHNEIDER, P.R. Forma de tronco e sortimentos para *Pinus elliotti* Engelm, da Floresta Nacional de Passo Fundo, Rio Grande do Sul. **Acta Forest Brasil**, Curitiba, n.1, 1986 p. 43-64.

SCHNEIDER, P.R.; FINGER, C.A.G.; KLEIN, J..E.M.; TOTTI, J.A.; BAZZO, J.L. Forma de tronco e sortimentos de madeira de *Eucalyptus grandis* Maiden para o estado do Rio Grande do Sul. **Ciência Florestal**, Santa Maria, v.6, n. 1, p.79-88, nov. 1996.

SILVA, J.A. Funções de forma dos troncos de (*Pinus taeda*, *Picea exelsa*, *Abies alba* e *Pinus silvestris*). In: SEMINÁRIO SOBRE ATUALIDADES E PERSPECTIVAS FLORESTAIS: o uso de funções de forma de tronco em estudo de volumetria de espécies florestais, 5, Curitiba, 1982. **Anais...** Curitiba: EMBRAPA, 1982. p.29-45. (Documento, 9).

THOMAS, C.E.; PARRESOL, B.R.; LÊ, K.H.N. Biomass and taper for trees in thinned and unthinned longleaf Pine plantations. **South African Forestry Journal**, Pretoria, v.19, n 1, p. 29-35, Feb. 1995.

TRINCADO, G.; GADOW, K.V.; TEWARI, V.P. Comparison of three stem profile equations for *Quercus robur* L. **South African Forestry Journal**, Pretoria, v.4, n.177, p. 23-29, Nov. 1996.